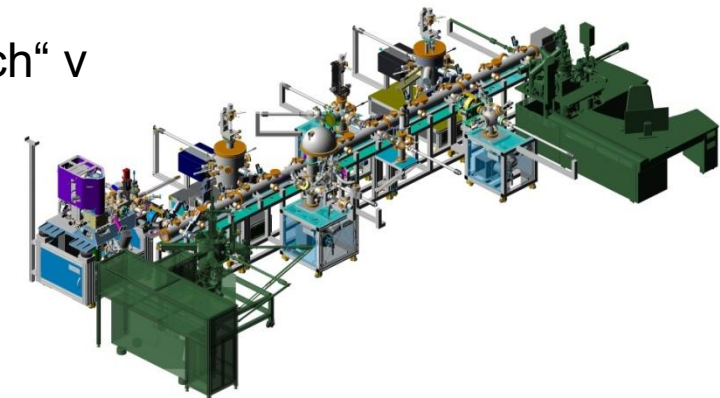


# Moderní experimentální metody

## A. Dubroka

Motivace:

- zmínka o často používaných „moderních metodách“ v současném výzkumu pevných látek
- přehled aparatur (ne zcela kompletní) a možností těchto metod v rámci CEITECu a UFKL

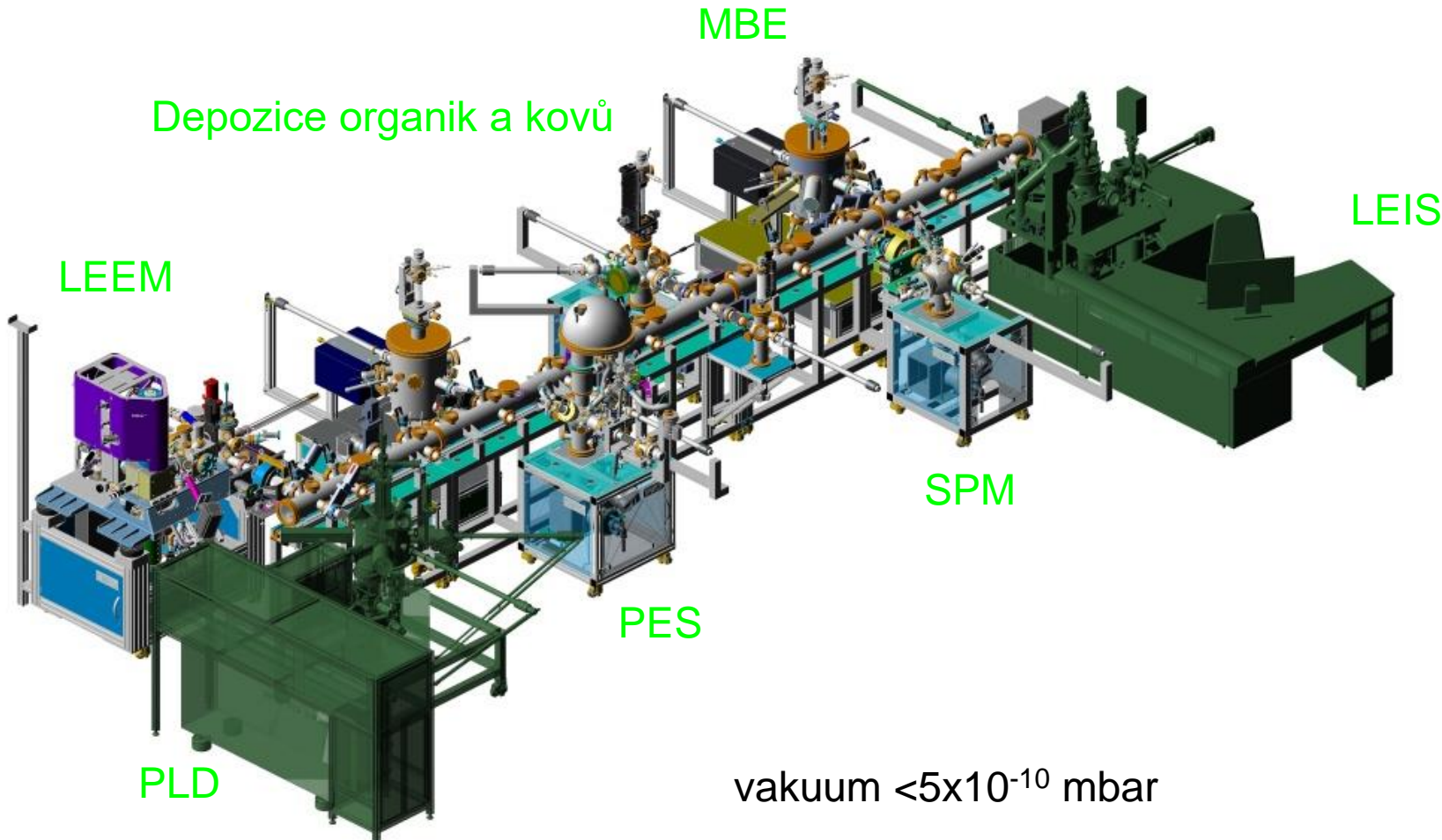


SPECS

Obsah:

- PLD – pulsed laser deposition - pulsní laserová depozice
- MBE – molekular beam epitaxy - depozice molekulárních svazků
- LEEM – low energy electron microscope - nízkoenergiový elektronový mikroskop
- LEIS – low energy ion scattering – rozptyl iontů na nízké energii
- LEED - low energy electron diffraction
- STM(S) – scanning tunneling microscopy (spectroscopy), skenovací tunelovací mikroskopie (spektroskopie)
- VSM a transport – vibrating sample magnetometry - magnetometrie a měření odporu, Halla
- elipsometrie
- Ramanská a luminiscenční spektroskopie
- SIMS - secondary ion mass spectroscopy

# UHV cluster v ceitecu



depoziční přístroje:

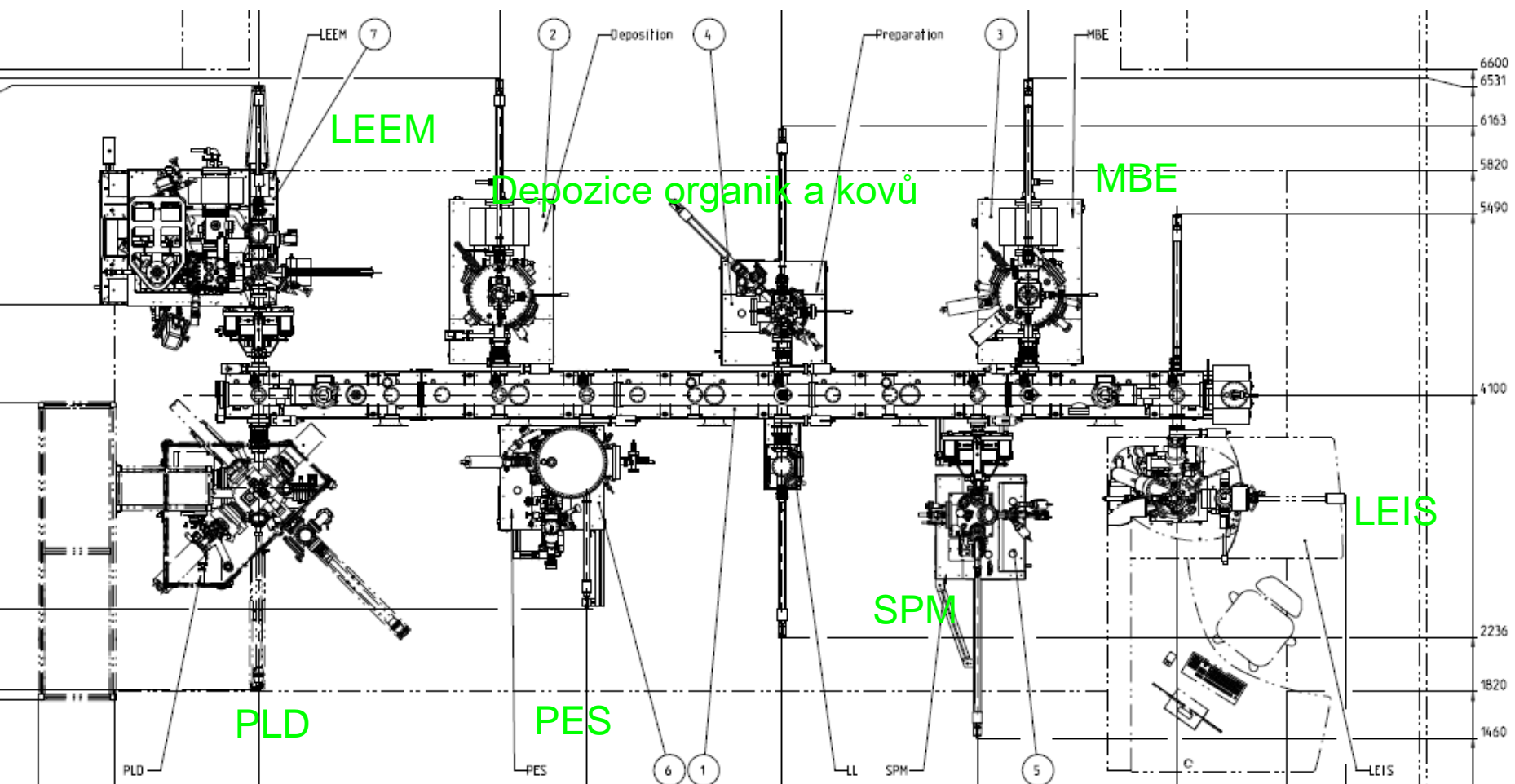
- pulsní laserová depozice (PLD)
- epitaxe molekulárních svazků (MBE)
- depozice organických a kovových materiálů

vakuum  $<5\times10^{-10}$  mbar

analytické přístroje:

- fotoemisní spektr. (PES), XPS, UPS
- skenovací mikroskop (SPM)
- elektronový mikroskop na nízkých energiích (LEEM)
- spektr. s ionty na nízkých energiích (LEIS)

# UHV cluster v ceitecu



depoziční přístroje:

- pulsní laserová depozice (PLD)
- epitaxe molekulárních svazků (MBE)
- depozice organických a kovových materiálů

analytické přístroje:

- fotoemisní spektr. (PES), XPS, UPS
- skenovací mikroskop (SPM)
- elektronový mikroskop na nízkých energiích (LEEM)
- spektr. s ionty na nízkých energiích (LEIS)

# UHV cluster v ceitecu

## Sample plate insertion

LEEM, PEEM,  
micro-LEED  
measurement  
up to 1500 K

Ion Source  
(prep chamber)



### LEEM

Hg Lamp  
UVS-300  
6x Evaporators (70°)  
1x Fast refil  
Gas inlet

Sample storage

e-beam heating  
1400 °C  
L-N2 cooling  
Pyrometer

## Sample plate insertion

Ion Source  
e-beam heating 1400 °C  
DC heating (clean Si only)  
No evaporation allowed (yet)

Ga - dual filament source  
In - dual filament source  
Al - cold lip source  
As cracker  
C - carbon effusion cell  
Si - high temperature cell  
Sb - Cold lip CLC

e-beam heating  
800 °C (1200 °C)  
Pyrometer

### CD

8x evaporator  
1x evaporator (70°)  
RF plasma source  
- N, H, (O)  
Quartz MB.  
quartz viewports

### PREP

Ion Source  
ErLEED

### MBE

Cells: Ga, As, In,  
Al, Sb, Si, C  
RHEED  
Beam flux mon.  
Quartz MB.  
quartz viewports

## Linear transfer system

### PLD

Laser: 248nm,  
700 mJ, 10Hz

ozone assisted  
growth  
masking option  
high pres. RHEED



### PES

2D CCD detector  
Mg/Al X-ray (XPS)  
UVS-300 (ARPES)

Flood gun

### L-L

### STM

SPM Aarhus 150  
(90 - 400 K)  
3x evaporator  
(in meas. pos.)

Gas inlet

Sample storage

### LEIS



Laser: 248nm, 700 mJ, 10Hz  
**laser heating 1100 °C**  
laser scanning

e-beam heating  
800 °C (1200 °C)  
L-N2 cooling

X-ray: 1254.6, 1486.6 eV  
UV: 21.2, 42.8 eV

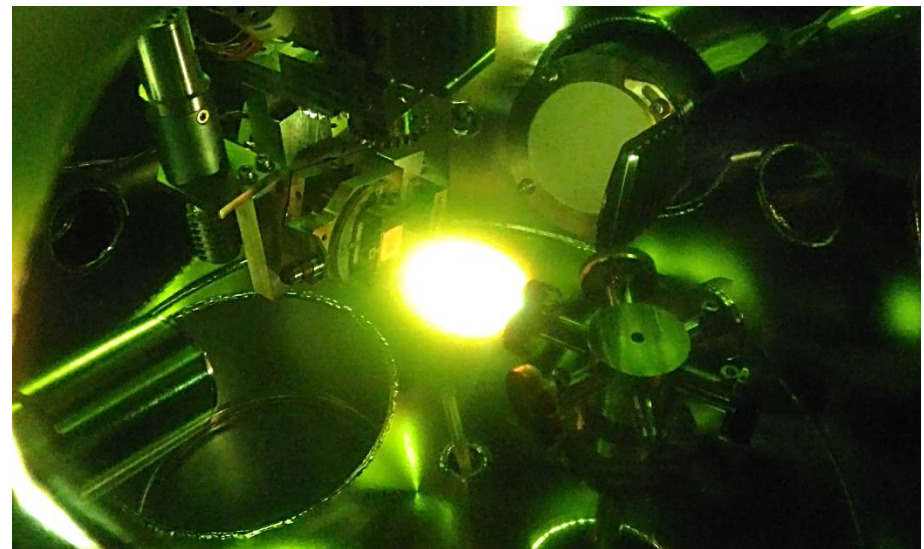
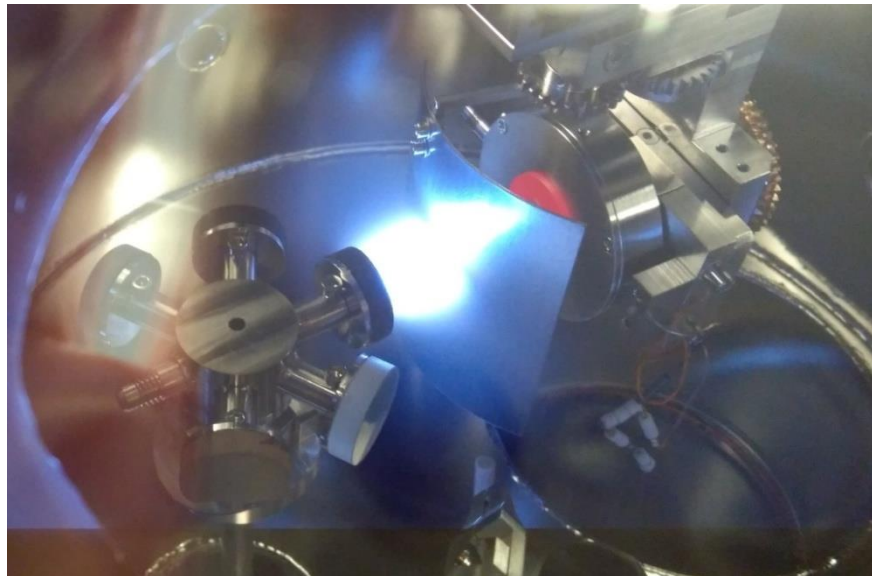
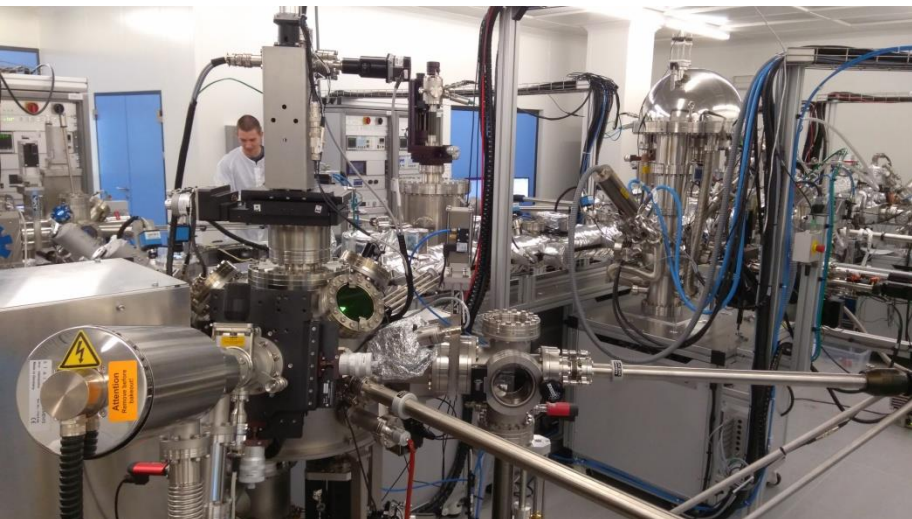
## Sample carrier insertion

Ion Source  
e-beam heating  
800 °C (1200 °C)  
DC heating (all samples)  
L-N2 cooling

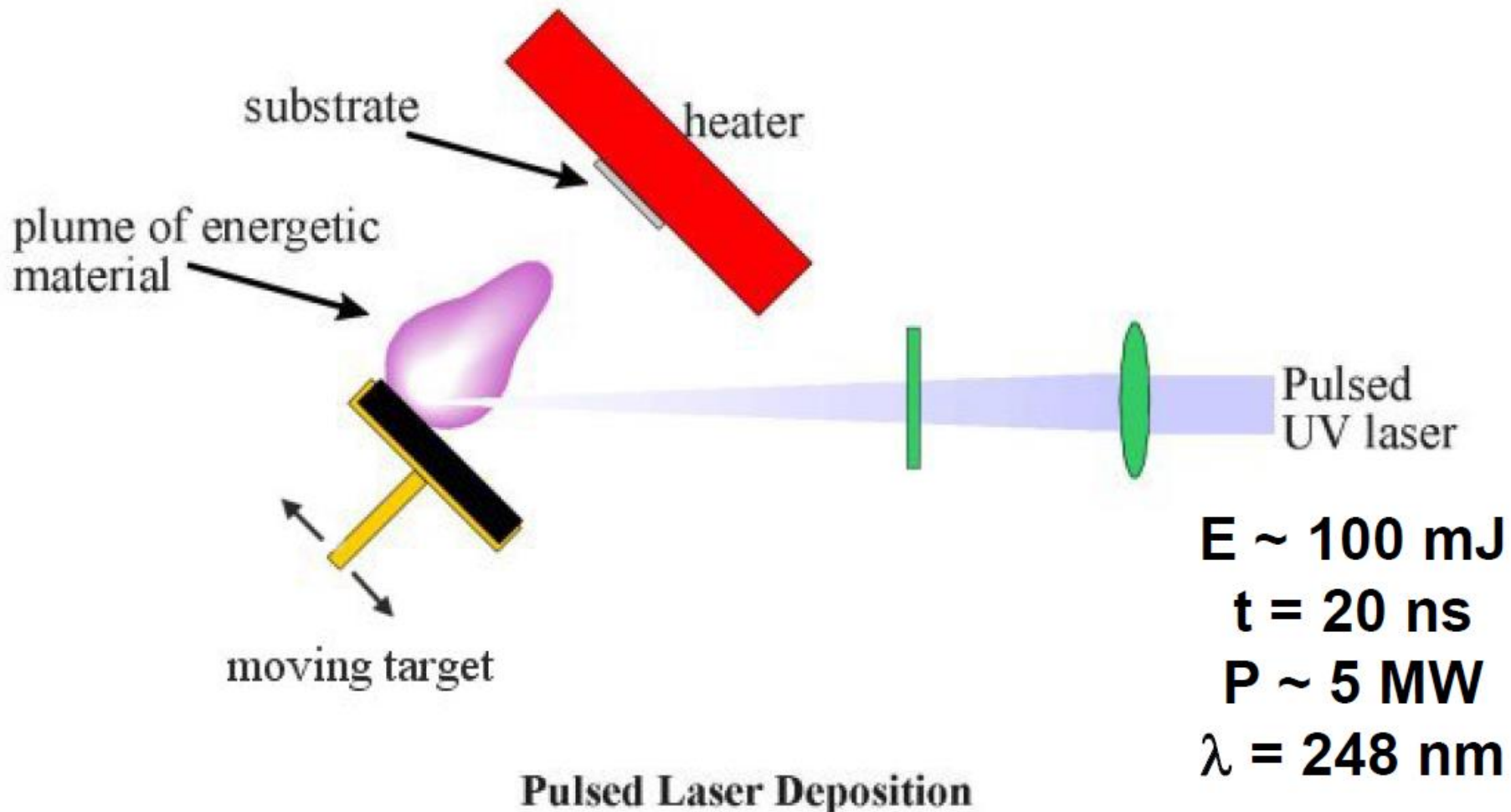
# Pulsní laserová depozice

# Pulsní laserová depozice (PLD) v rámci CEITECu

- PLD vybavené špičkovou technologií
- tlak  $5 \times 10^{-10}$  mbar
- kontrola růstu s RHEED
- in situ ozonová atmosféra
- ultra homogenní růst se skenováním laserového svazku
- připojené na UHV klastr s analytickými metodami (XPS, ARPES, LEEM, LEED, STM)



# Pulsní laserová depozice - princip

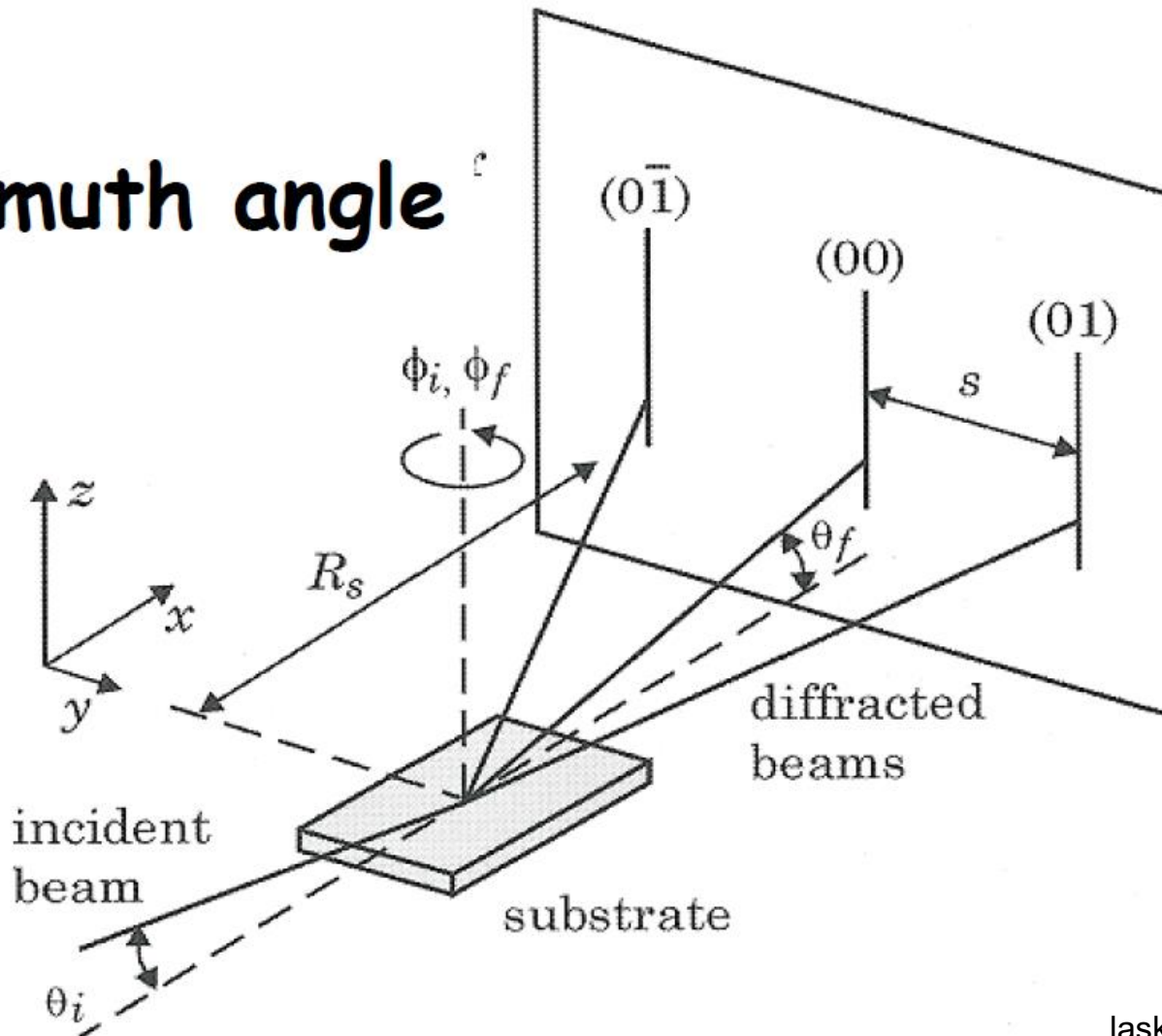


# Reflection High Energy Electron Diffraction (RHEED)

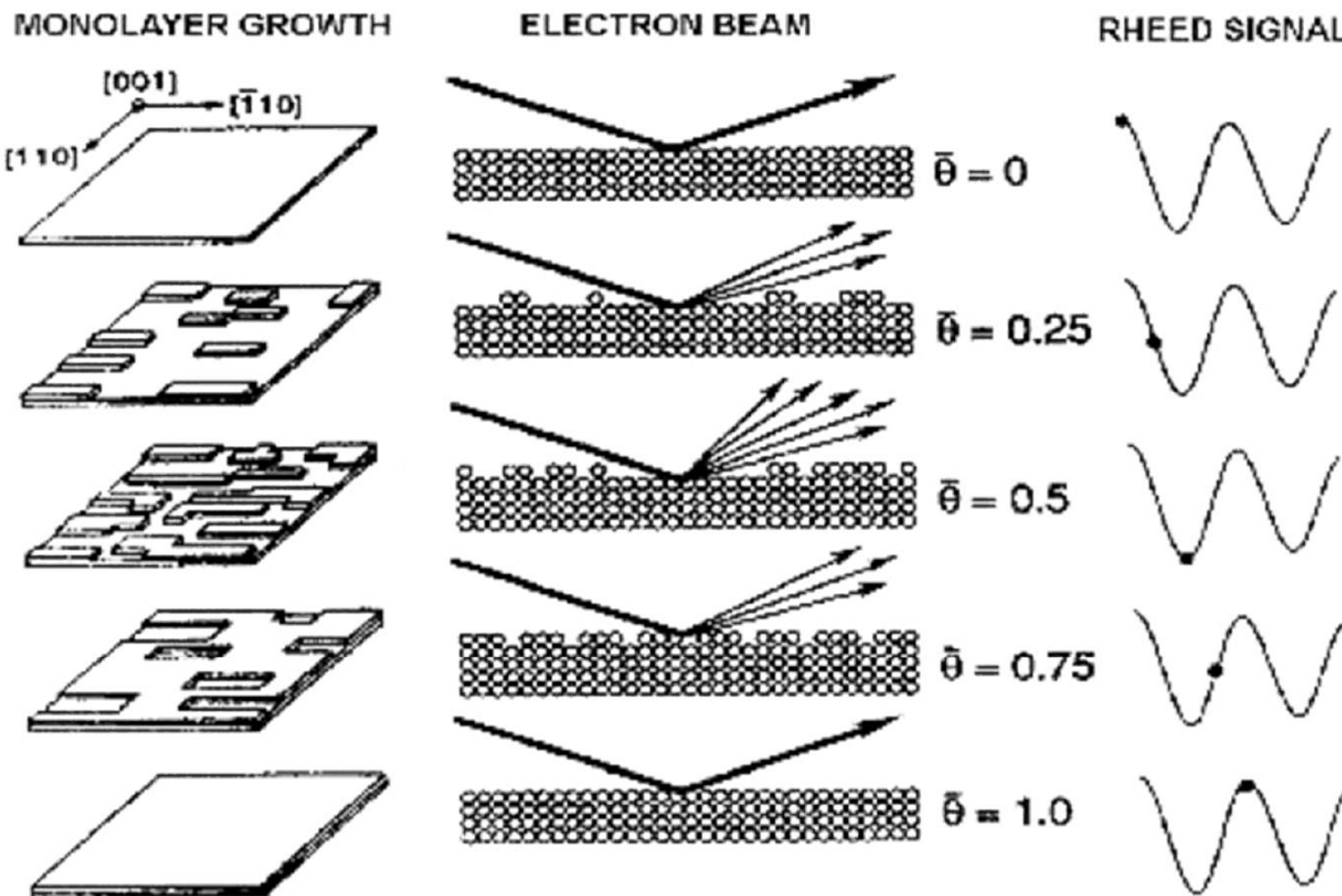
Diffraction of electron beam from film surface

High energy electrons required (~30 keV) for high gas pressure

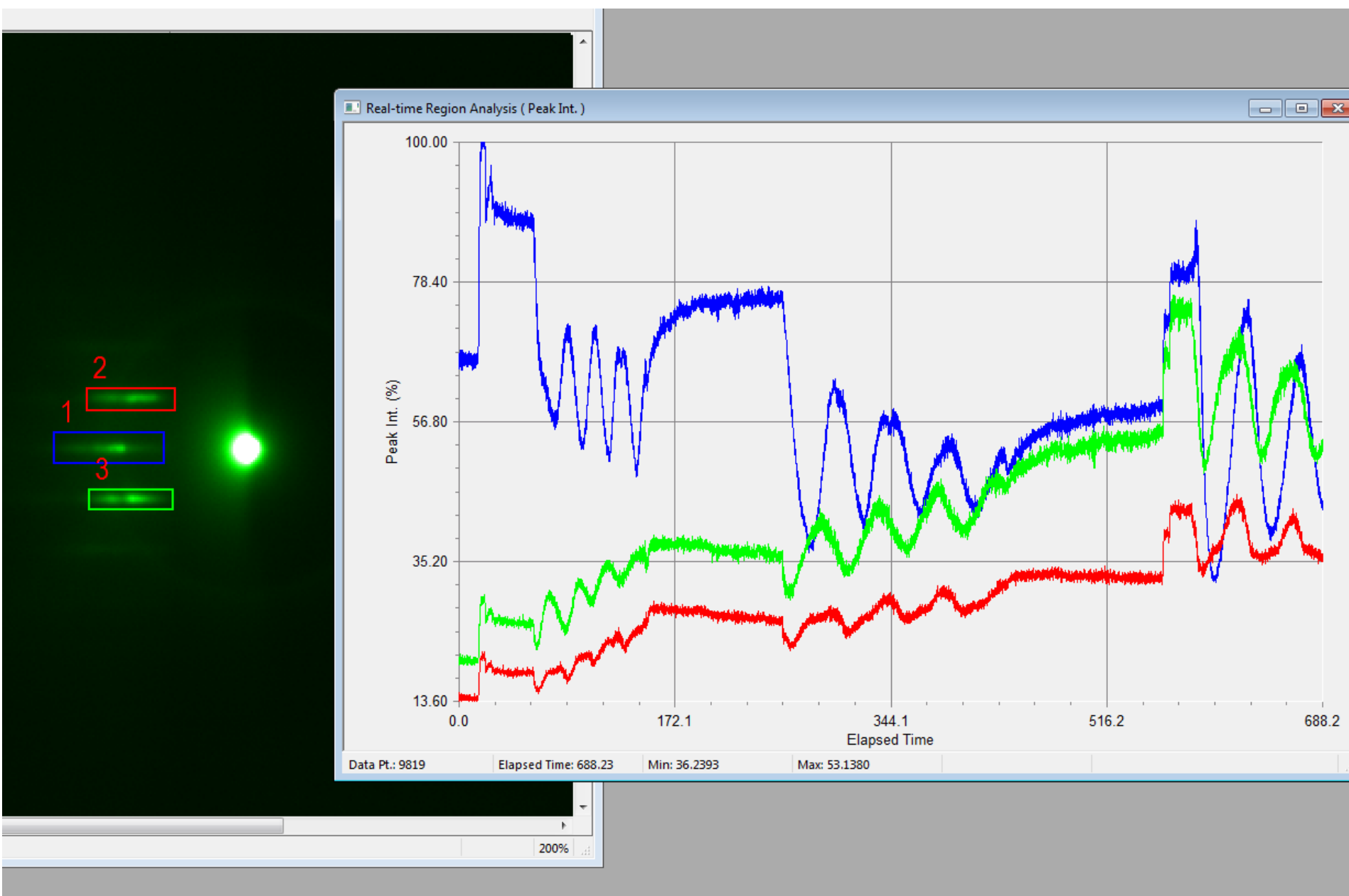
## Azimuth angle



# vývoj signálu RHEED při růstu jedné monovrstvy



# Ukázky z našich prvních růstů homoepitaxe SrTiO<sub>3</sub> na SrTiO<sub>3</sub>

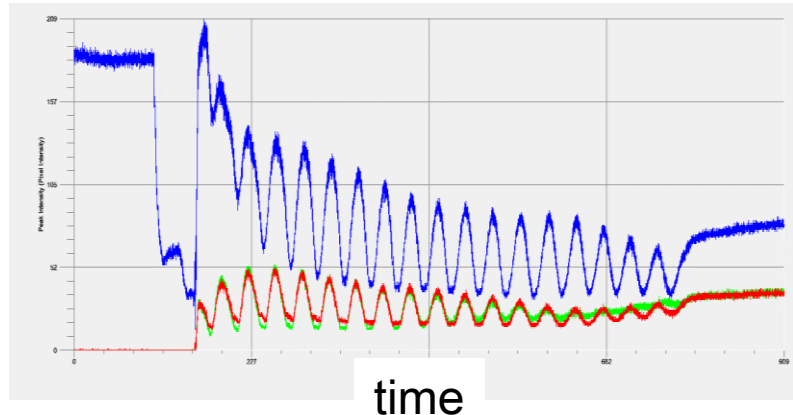


# Ukázka RHEEDových oscilací na LaFeO<sub>3</sub> (M. Kiaba)

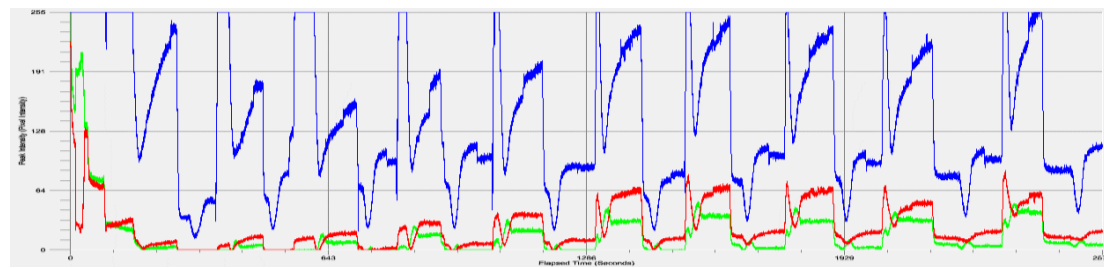
Motivation: tuning the magnetic properties by deposition of monolayer(s) of an antiferromagnetic (LaFeO<sub>3</sub>) and semiconducting material (SrTiO<sub>3</sub>)

RHEED pattern: 20 monolayers of LaFeO<sub>3</sub>

Method: Pulsed laser deposition enables *in-situ* monolayer control by Reflection high electron energy diffraction (RHEED)

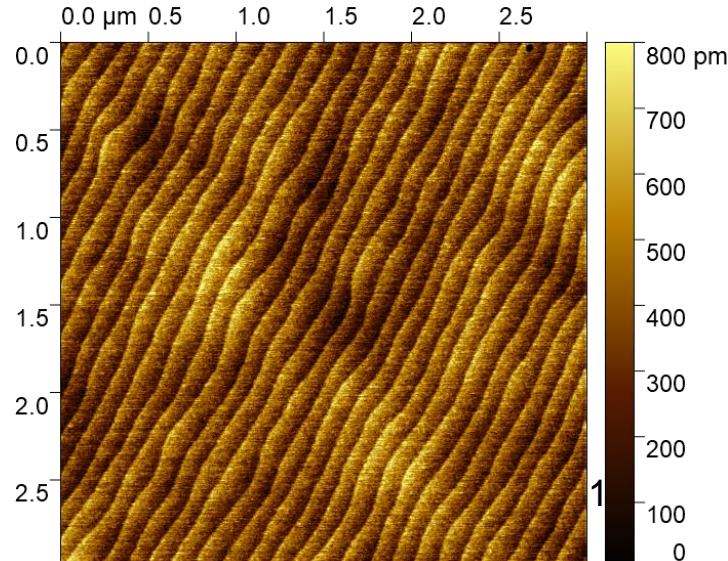


First results: growth of 10x(monolayer of LaFeO<sub>3</sub> - SrTiO<sub>3</sub>)



Collaboration:  
Prof. G. Koster,  
University of Twente,  
The Netherlands

Atomic flatness preserved!



# RHEED - evaldova konstrukce

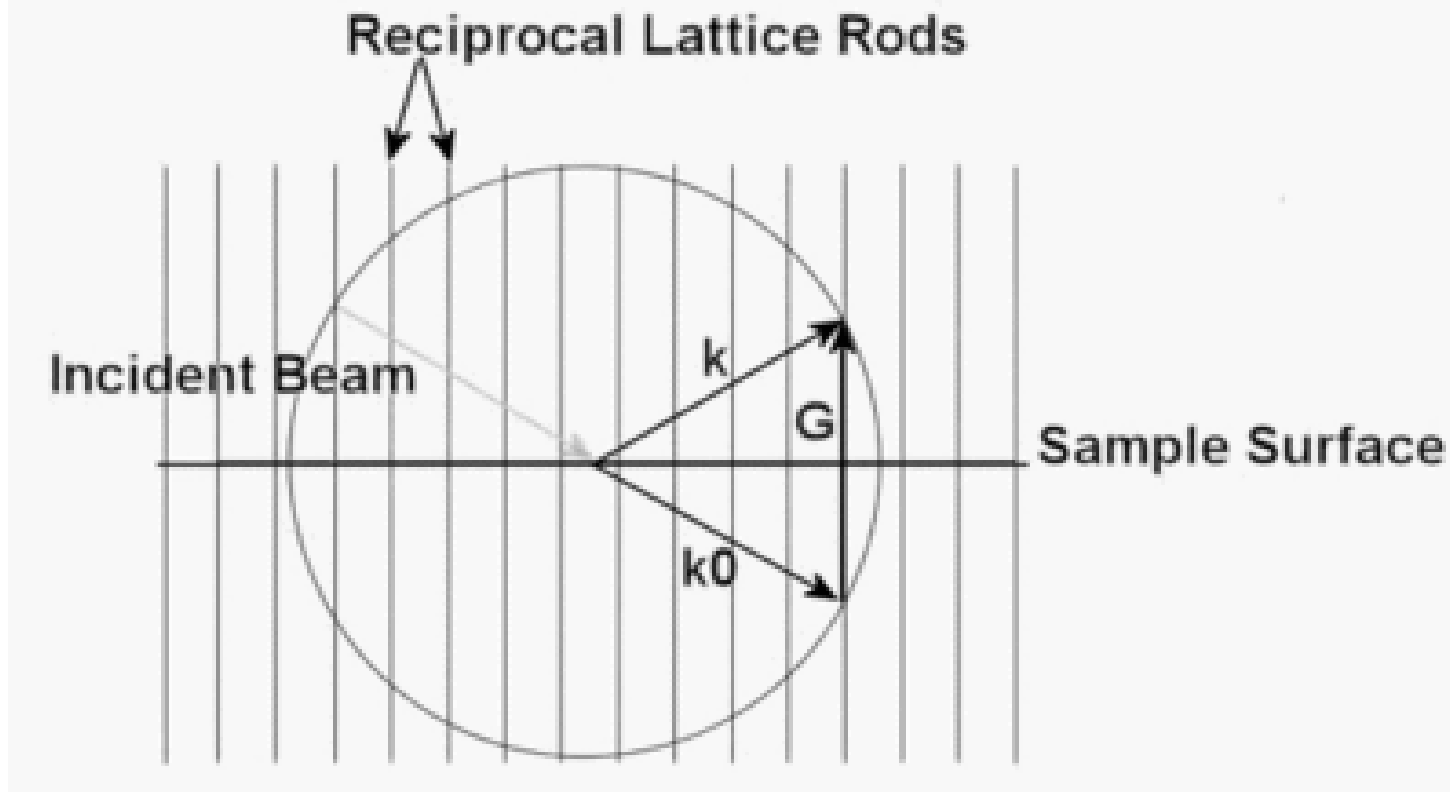
Evaldova konstrukce

-kružnice (sféra) představuje zákon zachování energie u elastickeho rozptylu

$$\text{abs}(\mathbf{k}) = \text{abs}(\mathbf{k}_0)$$

- reciprokou mříž povrchu  $\mathbf{G}$  tvoří systém přímek kolmo na povrch a představuje podmínu zákona zachování kvazi-hybnosti,  $\mathbf{k} - \mathbf{k}_0 = \mathbf{G}$

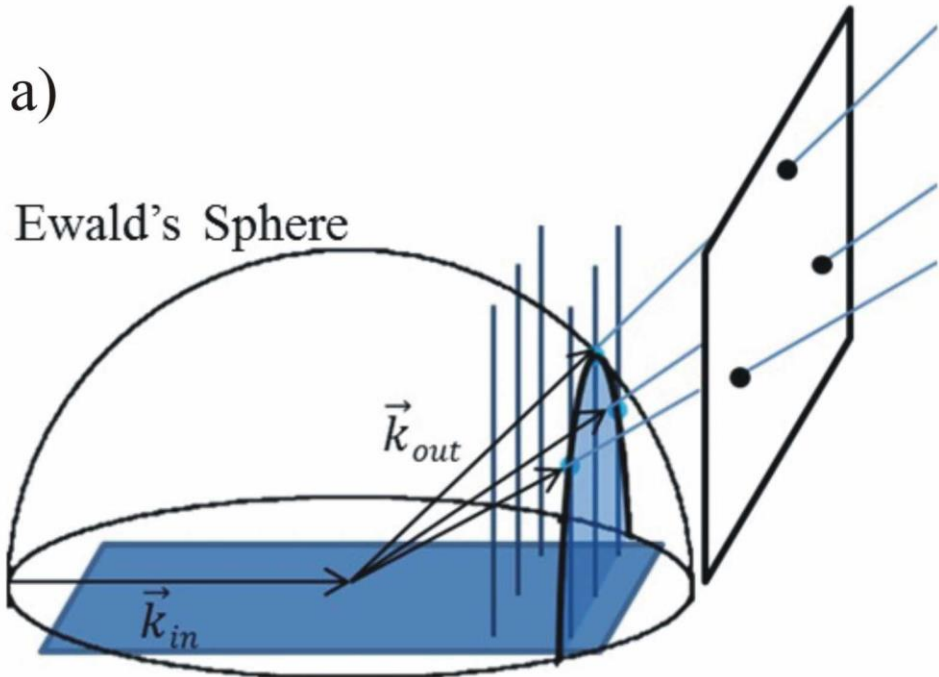
- v průniku sféry a reciproké mříže jsou splněny obě podmínky a dochází k difrakci



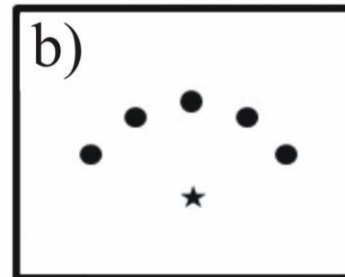
# RHEED - evaldova konstrukce

PLD group Paul Scherrer Institute

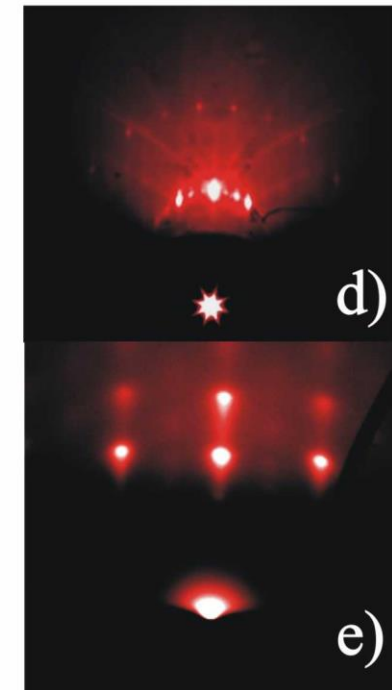
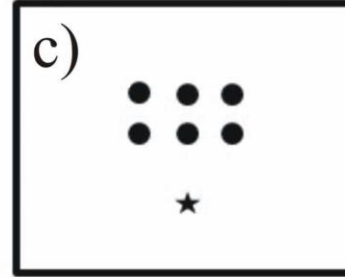
a)



b)



c)



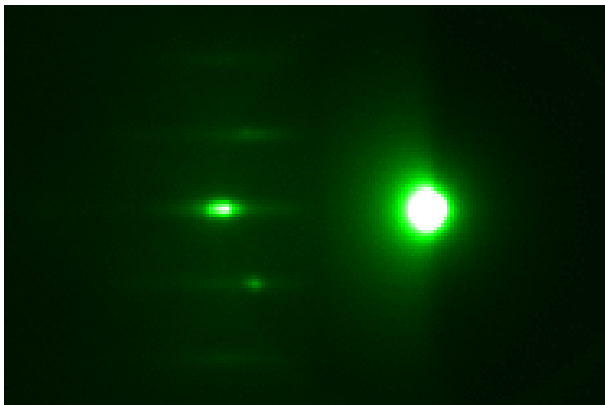
- Ve třech dimenzích se jedná o průnik Evaldovy sféry s přímkami reciprokového prostoru.
- (a)
  - difrakce na atomárně hladkém povrchu pak odpovídá difrakčním bodům na kružnici (b)
  - na drsném ale monokrystalickém povrchu elektrony difrakují při průchodu ostrůvky a vzniká pravidelný obraz (c)
  - na polykrystalické vrstvě (rozorientované monokrystaly) průměrování koncentrických obrazců vznikají koncentrické kružnice

# Ukázky RHEED obrazců

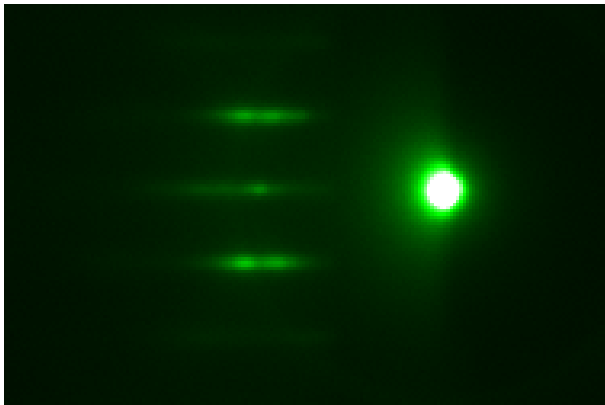
## homoepitaxe $\text{SrTiO}_3$ na $\text{SrTiO}_3$

Před růstem:

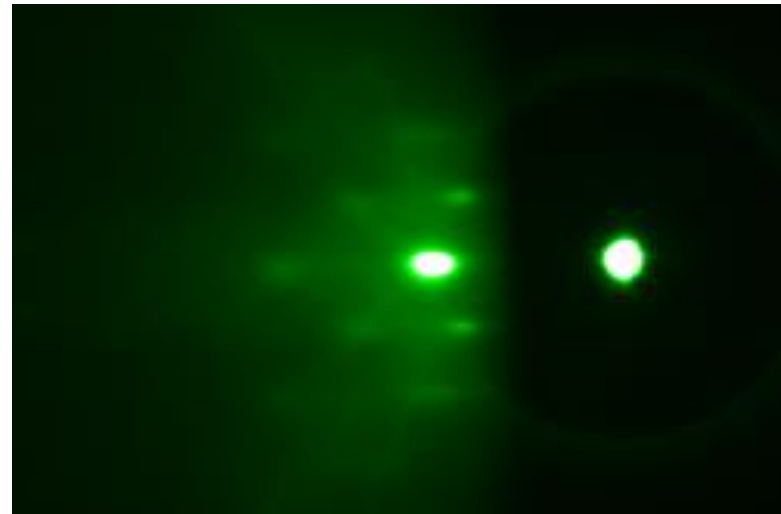
tři tečky na kružnici- atomární rovnost



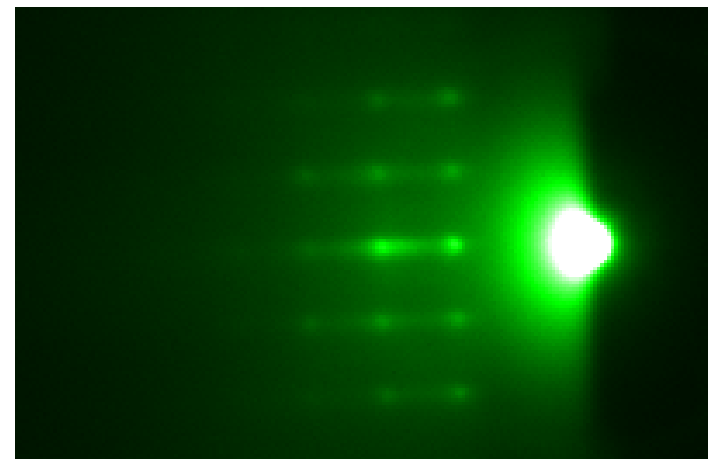
Po růstu: prodloužení teček naznačuje  
Přítomnost malé drsnosti (náhodně  
uspořádané terasy, a le pořád v podstatě  
atomární hladkost



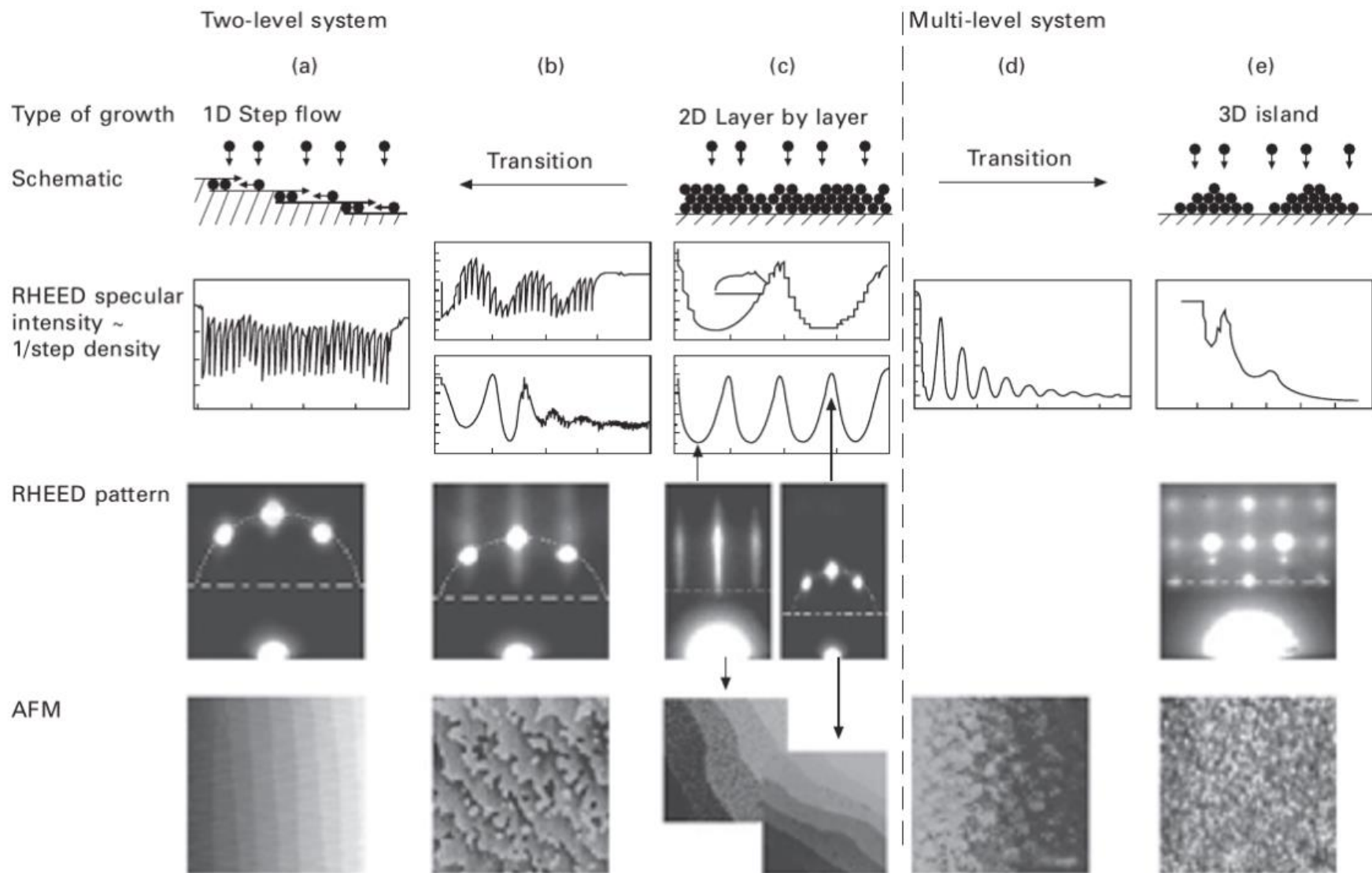
LSAT substrát: náznak 3D difrakční  
struktury díky malé drsnosti



Po růstu  $\text{YBaCuO}_7/\text{LSAT}$ :  
3d difrakční obrazec značí poměrně velkou  
drsnost v rádu několika monovrstev



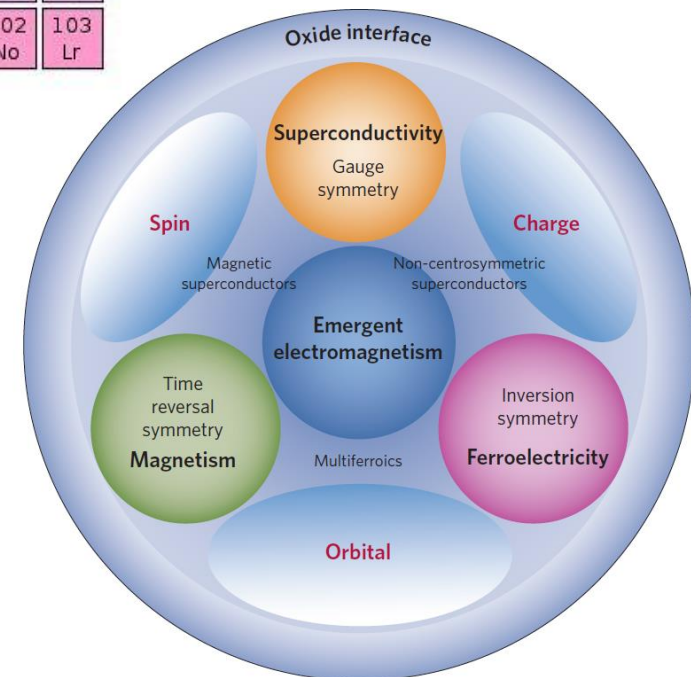
# Ukázky RHEED obrazců



# Oxidy přechodových kovů

Group →	1	2	3	4	5	6	7	8	9	10	11	12	13	14	15	16	17	18	
↓ Period																			
1	1 H															2 He			
2	3 Li	4 Be														9 F	10 Ne		
3	11 Na	12 Mg														17 Cl	18 Ar		
4	19 K	20 Ca	21 Sc	22 Ti	23 V	24 Cr	25 Mn	26 Fe	27 Co	28 Ni	29 Cu	30 Zn	31 Ga	32 Ge	33 As	34 Se	35 Br	36 Kr	
5	37 Rb	38 Sr	39 Y	40 Zr	41 Nb	42 Mo	43 Tc	44 Ru	45 Rh	46 Pd	47 Ag	48 Cd	49 In	50 Sn	51 Sb	52 Te	53 I	54 Xe	
6	55 Cs	56 Ba		72 Hf	73 Ta	74 W	75 Re	76 Os	77 Ir	78 Pt	79 Au	80 Hg	81 Tl	82 Pb	83 Bi	84 Po	85 At	86 Rn	
7	87 Fr	88 Ra		104 Rf	105 Db	106 Sg	107 Bh	108 Hs	109 Mt	110 Ds	111 Rg	112 Cn	113 Uut	114 Uuq	115 Uup	116 Uuh	117 Uus	118 Uuo	
Lanthanides																			
Actinides																			

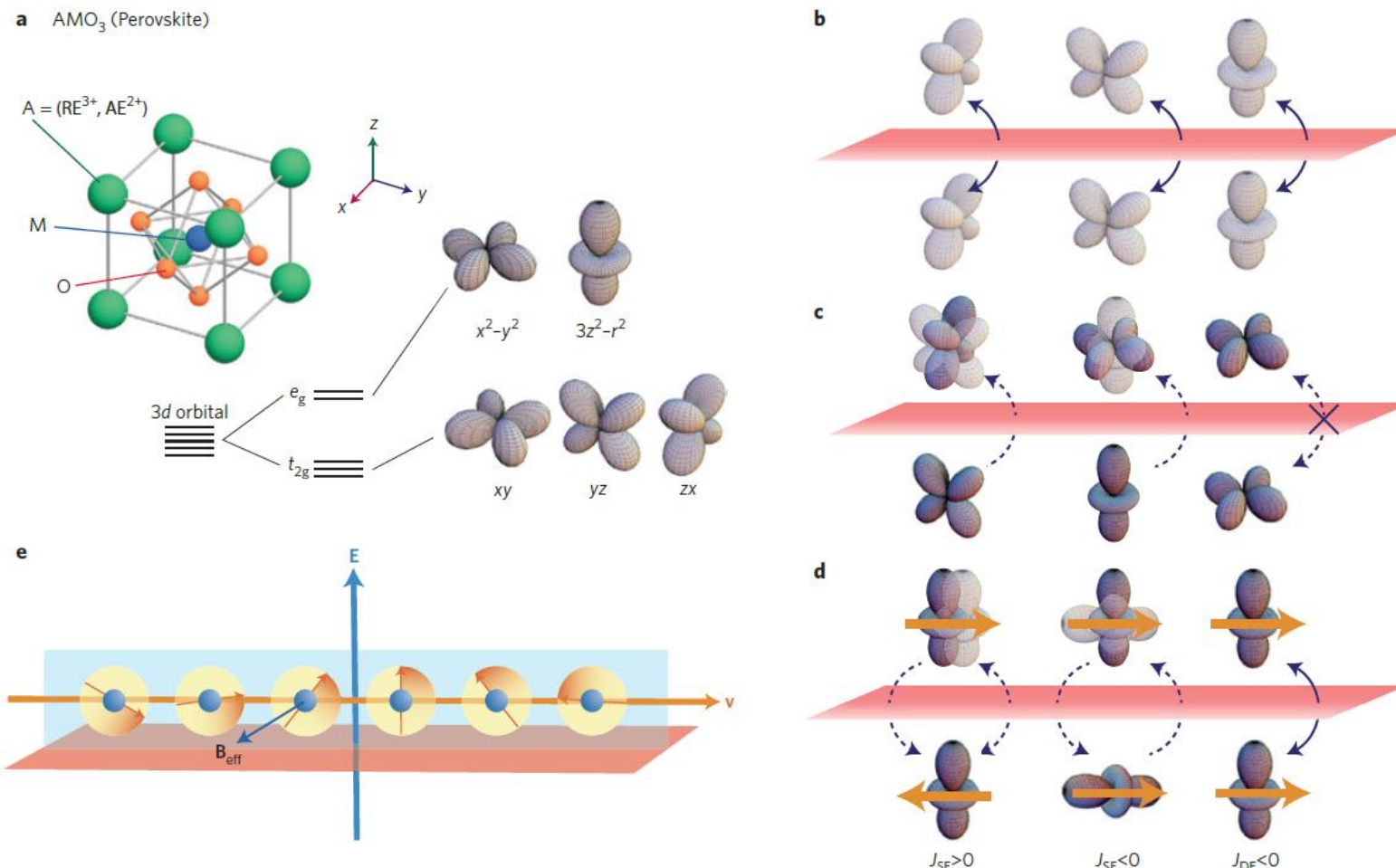
## Transition Metals (d-block)



## Veliká různost elektronových stavů, např.:

- supravodivost (oxid Cu –  $\text{YBa}_2\text{Cu}_3\text{O}_7$ ...)
- fero- a antifero -magnetismus (oxid Mn, Co, Cr, Ni..., např.  $\text{La}_{1-x}\text{Sr}_x\text{MnO}_3$ )
- feroelektrika (oxid Ti, např.  $\text{BaTiO}_3$ )
- multiferroika ( $\text{BiFeO}_3$ ...)
- přechod kov-izolátor (oxid Mn,  $\text{La}_{1-x}\text{Sr}_x\text{MnO}_3$ )
- polovodiče ( $\text{SrTiO}_3$ ...)
- izolanty ( $\text{LaAlO}_3$ )

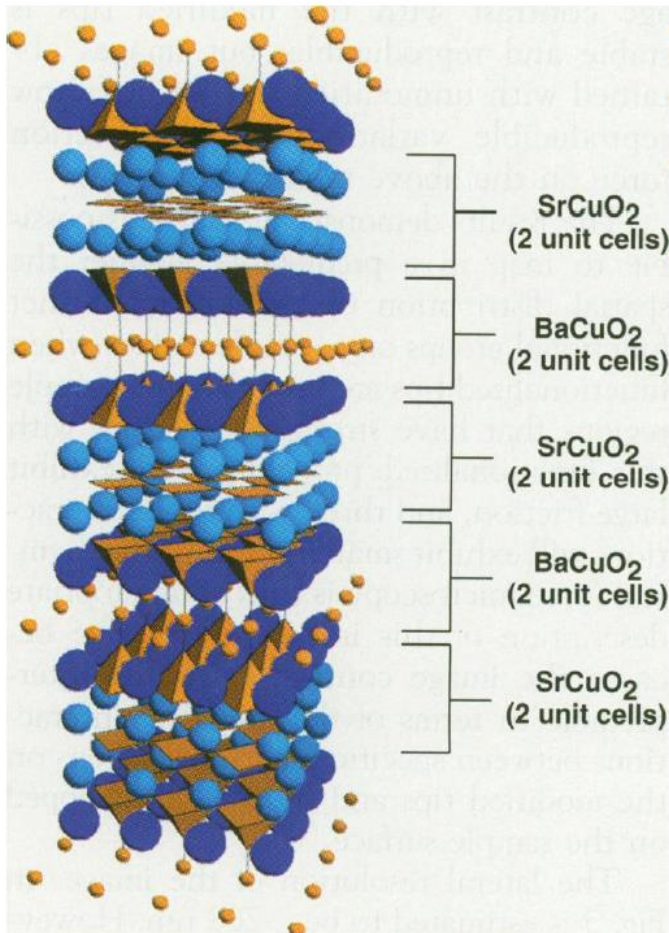
# 3d orbitaly a interakce mezi nimi na rozhraní



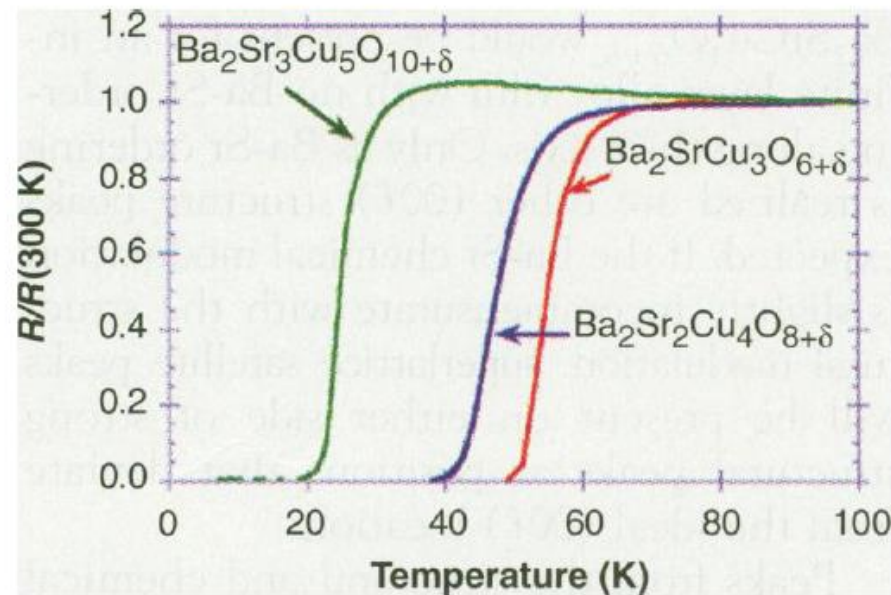
**Figure 2 | Orbital and spin configurations at interfaces.** **a**, Perovskite structure and orbital energy levels under the cubic crystal field due to oxygen ions. RE, rare earth elements; AE, alkaline earth elements. **b**, Allowed hopping matrix elements between orbitals across the interface (red). **c**, Allowed virtual hopping matrix elements across the interface. The lightly coloured orbitals are the destination of the virtual hopping process, while the electron is occupied in the darkly coloured orbital. **d**, Various exchange interactions across the interface ( $J > 0$ , antiferromagnetic;  $J < 0$ , ferromagnetic); left, antiferromagnetic super-exchange interaction ( $J_{SE}$ ) using the same orbital in the intermediate state; middle, ferromagnetic super-exchange interaction between different orbitals; right, double-exchange interaction ( $J_{DE}$ ) where the real hopping of the conduction electron between the two M ions mediates the ferromagnetic coupling. **e**, Rashba-type spin-orbit interaction (SOI); the internal or applied electric field can produce an effective magnetic field ( $B_{eff}$ ; dark-blue arrow) through the SOI to cause spin precession for the moving electron, or cycloidal spin modulation for localized spins.

# Příklad z PLD růstu: nové supravodiče z $\text{BaCuO}_2$ a $\text{SrCuO}_2$

Norton et al, Science (1994)



**Fig. 1.** Structural model of a  $2 \times 2$   $\text{SrCuO}_2$ - $\text{BaCuO}_2$  superlattice compound, also designated as  $\text{Ba}_2\text{Sr}_2\text{Cu}_4\text{O}_{8+\delta}$ . The Ba, Sr, and Cu atoms are represented by the large, medium, and small spheres, respectively. The CuO<sub>4</sub> and CuO<sub>5</sub> units are shown as shaded polyhedra.

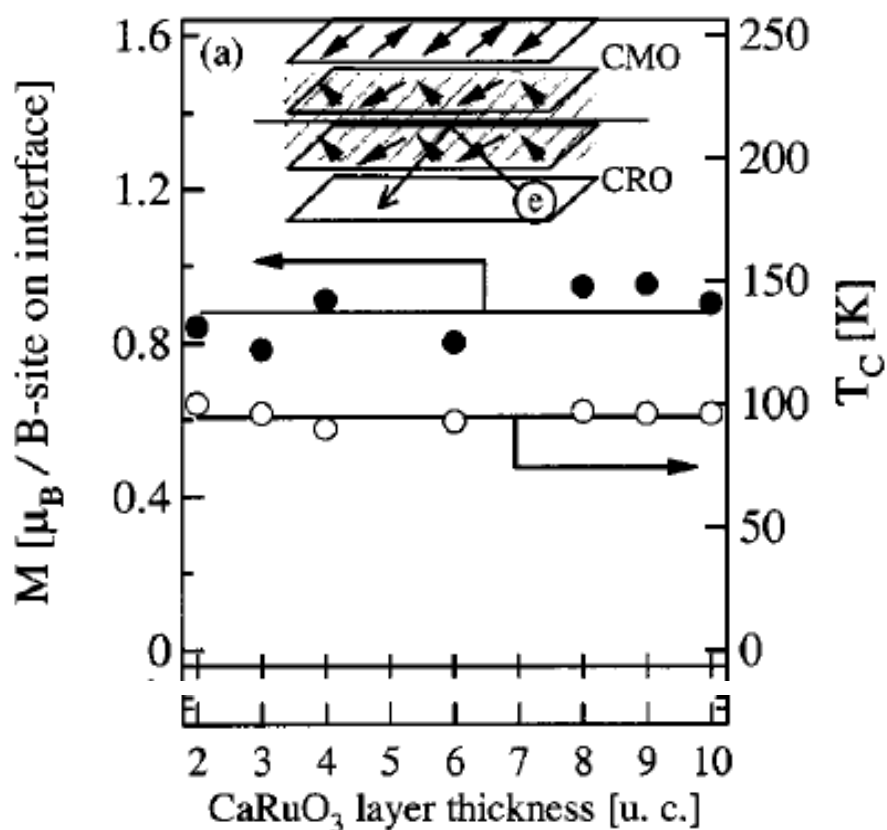


**Fig. 3.** Normalized resistance plotted as a function of temperature for the  $n = 2, 3$ , and  $4$  members of the  $\text{Ba}_2\text{Sr}_{n-1}\text{Cu}_{n+1}\text{O}_{2n+2+\delta}$  series.

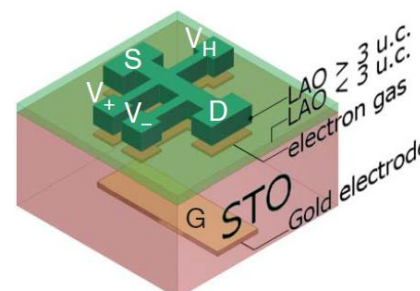
- materiály  $\text{BaCuO}_2$  a  $\text{SrCuO}_2$  samostatně nejsou supravodivé
- v supermřížce vykazují supravodivost až 50-60 K

# rozhraní mezi oxidy přechodových kovů získávají často jiné vlastnosti než objemové materiály:

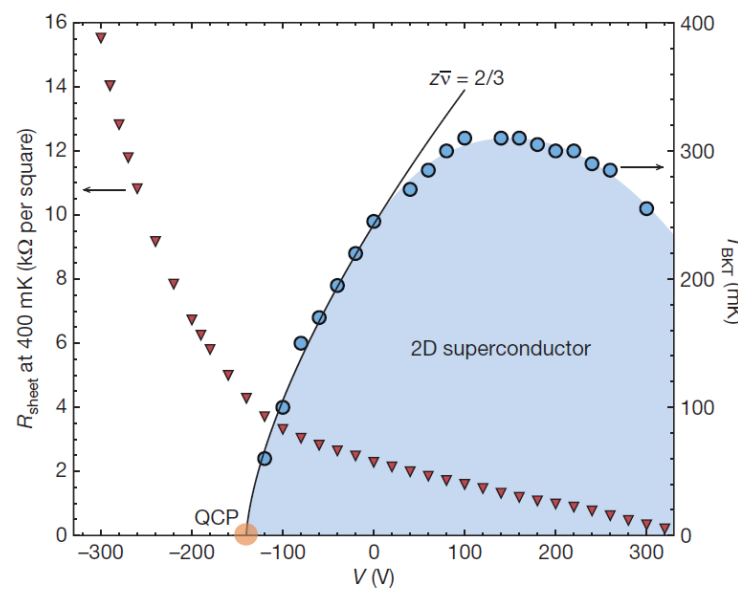
Ferromagnetické rozhraní mezi antiferomagnetem  $\text{CaMnO}_3$  a paramagnetickým kovem  $\text{CaRuO}_3$



2D supravodivost na rozhraní mezi izolátory  $\text{LaAlO}_3$  (LAO) a  $\text{SrTiO}_3$  (STO)



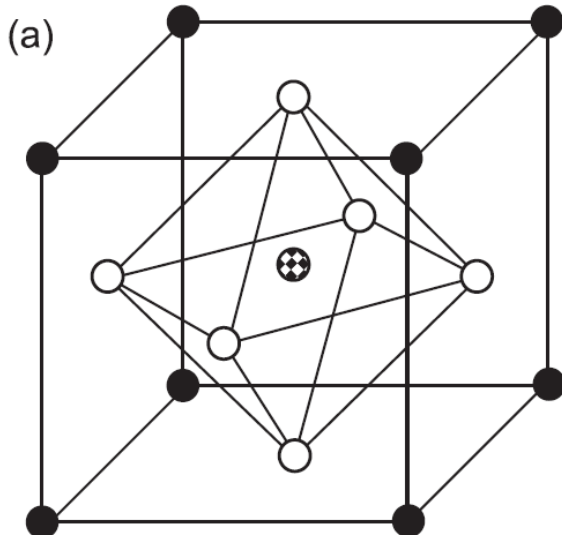
Caviglia et al,  
Nature (2008)



**Figure 3 | Electronic phase diagram of the  $\text{LaAlO}_3/\text{SrTiO}_3$  interface.**  
 Critical temperature  $T_{\text{BKT}}$  (right axis, blue dots) is plotted against gate voltage, revealing the superconducting region of the phase diagram. The solid line describes the approach to the quantum critical point (QCP) using the scaling relation  $T_{\text{BKT}} \propto (V - V_c)^{z\nu}$ , with  $z\nu = 2/3$ . Also plotted is normal-state sheet resistance, measured at 400 mK (left axis, red triangles) as a function of gate voltage.

# Perovskitová struktura oxidů přechodových kovů

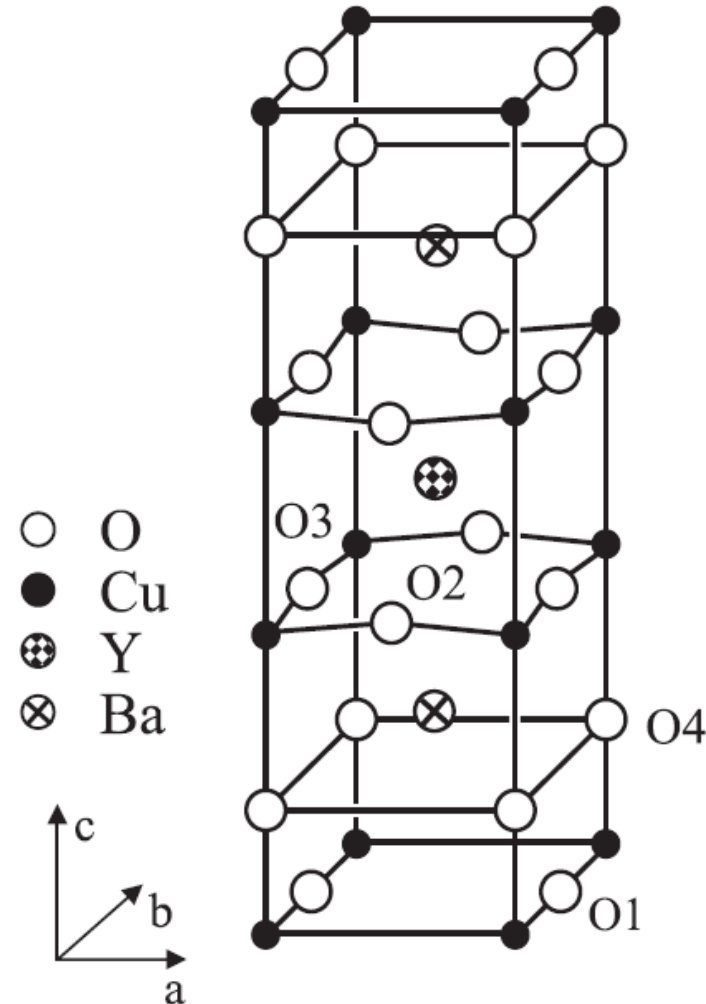
$\text{La}_{1-x}\text{Sr}_x\text{MnO}_3$ , ferromagnet,  $T_{\text{Curie}}=370 \text{ K}$



La,Ca,Sr,Ba ●  
Mn ◑  
○ ○

- perovskitová struktura společná většině oxidů přechodových kovů
- matriály lze možno kombinovat na atomární úrovni, tzv. epitaxní růst.
- Lze tak růst multivrstvy s atomárně hladkými rozhraními a de facto vytvářet nové materiály (supermrížky)

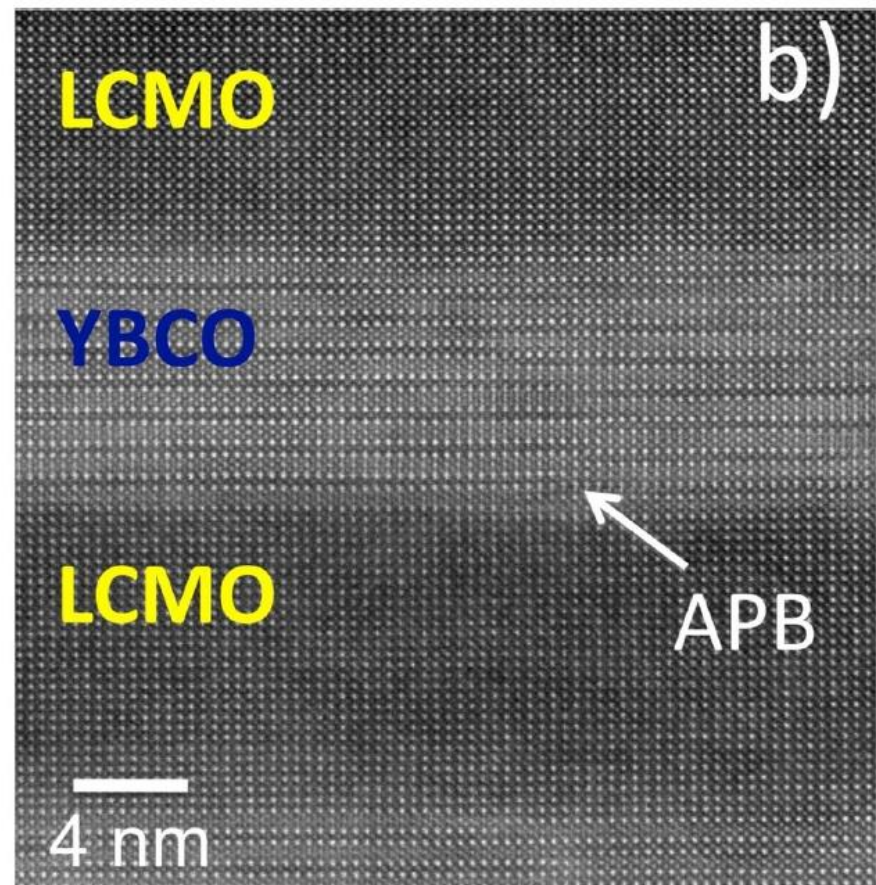
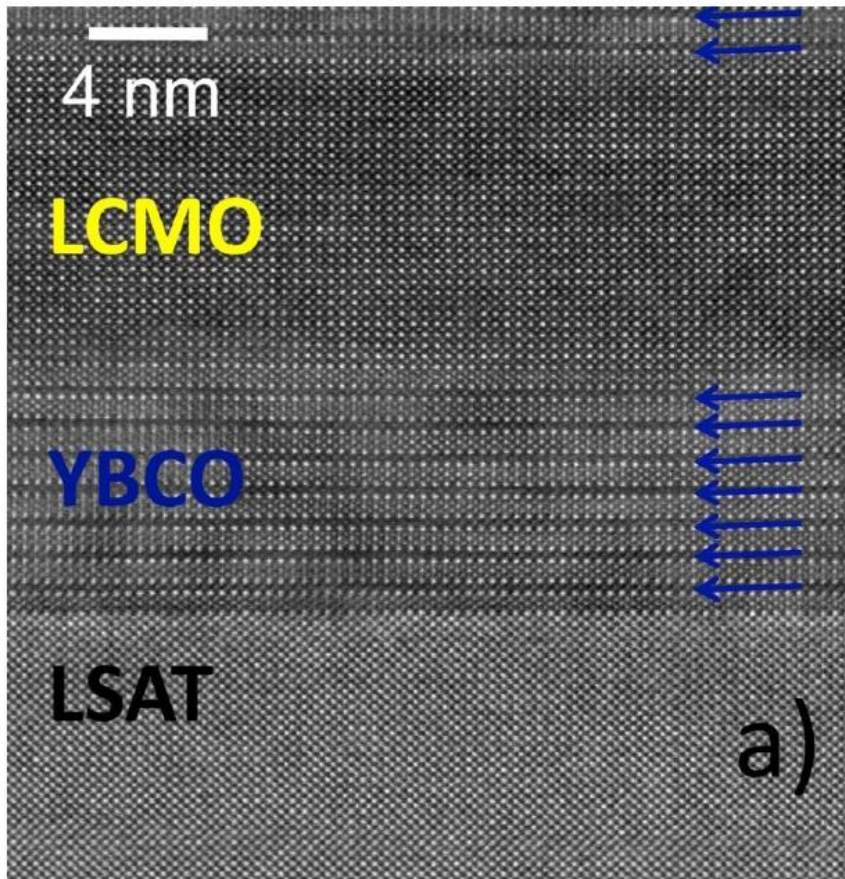
$\text{YBa}_2\text{Cu}_3\text{O}_7$   
supravodič,  $T_c= 92 \text{ K}$



# **multivrstvy $\text{YBa}_2\text{Cu}_3\text{O}_7(n)/\text{La}_{0.7}\text{Ca}_{0.3}\text{MnO}_3(m)$**

soupeření mezi magnetismem ( $\text{La}_{0.7}\text{Ca}_{0.3}\text{MnO}_3$ ) a supravodivostí ( $\text{YBa}_2\text{Cu}_3\text{O}_7$ )

snímek z transmisního elektronového mikroskopu – atomární rozlišení



# Příprava substrátu

leptání a žíhání substrátů tak, aby povrch byl atomárně hladký

atomární schodky díky (přirozené) rozorientaci povrchu  $\text{SrTiO}_3$

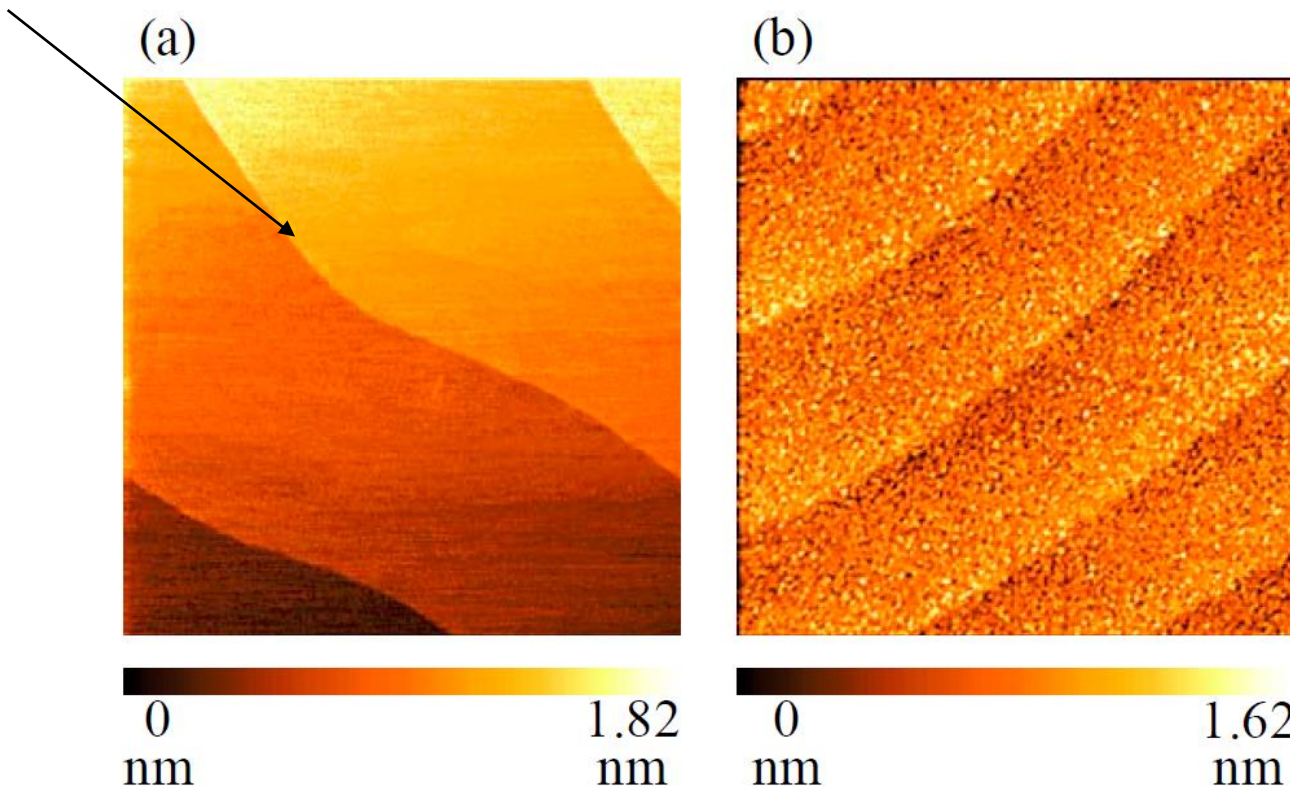
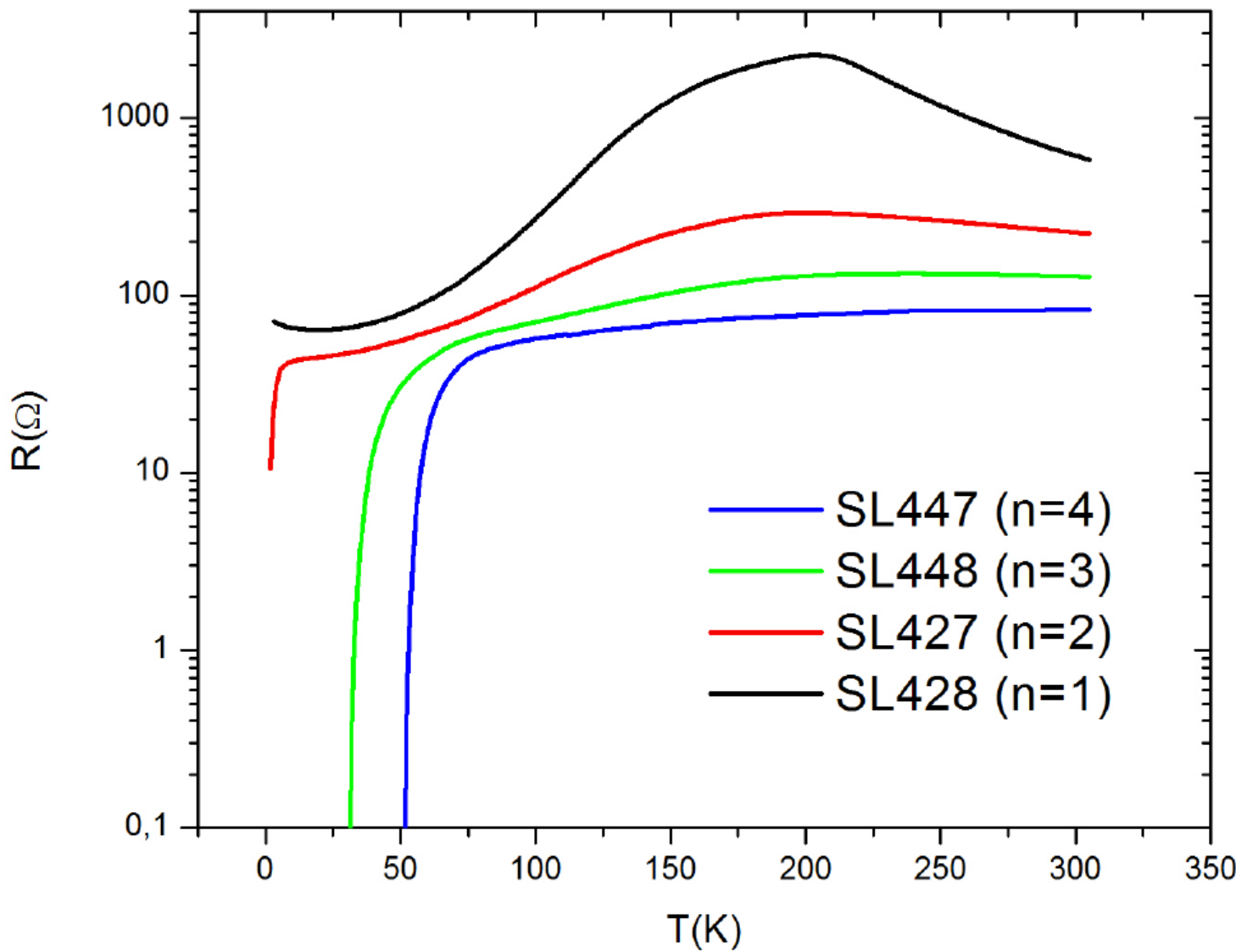
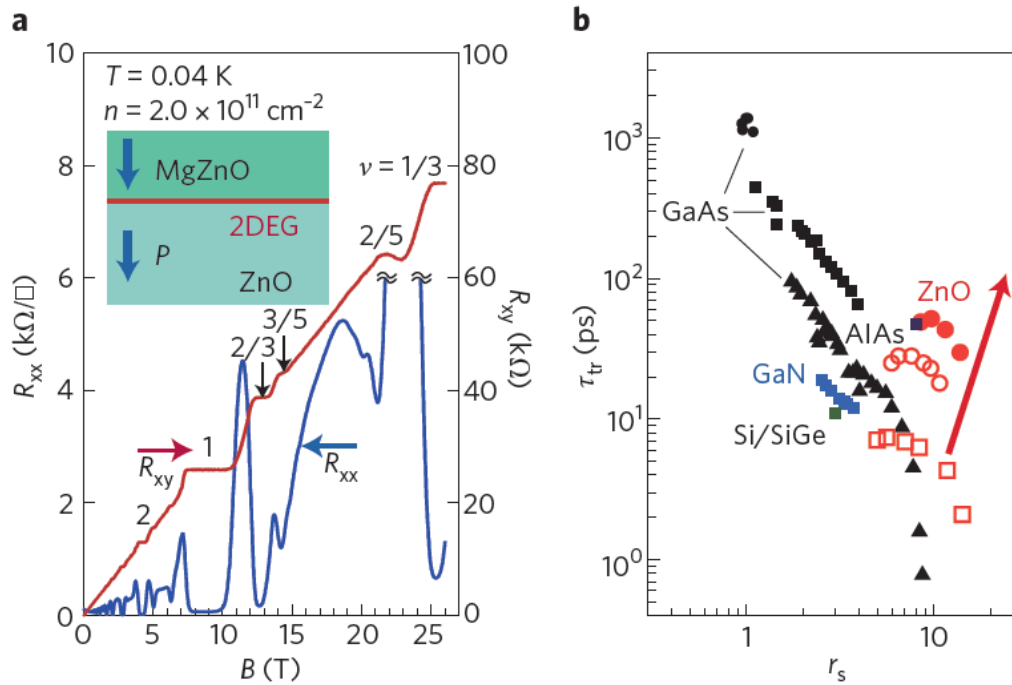


Figure 3 The  $2 \times 2 \mu\text{m}^2$  surface image of (a) surface treated STO(100) substrate and (b) LFO thin film.

# již dvě dvouvrstvy $\text{YBa}_2\text{Cu}_3\text{O}_7$ jsou supravodivé ( $n=2$ )



# zásadní role rozhraní



**Figure 8 | Fractional quantum Hall effect in ZnO.** **a**, Longitudinal resistance  $R_{xx}$  (blue) and Hall resistance  $R_{xy}$  (red) of a 2DEG formed at a MgZnO/ZnO interface. Inset: depicts a cross-sectional schematic of the heterostructure. **b**, Comparison of 2DEGs in various semiconductors as functions of the electron-electron interaction strength represented by the Wigner-Seitz radius  $r_s$  and transport scattering time  $\tau_{tr}$ . Data are derived from Fig. 2 of ref. 81 except for the solid red circles, obtained for the sample shown in **a**. The arrow indicates the direction of progress in pursuing a regime of parameters in ZnO that are hard to access in other semiconductors. Panels adapted with permission from: **a**, ref. 83, © 2011 APS; **b**, ref. 81, © 2010 NPG.

**Herbert Kroemer:**  
**(Nobelova cena r. 2000):**  
**„Interface is THE device“**

- nározhraní mezi piezoelektrickými materiály MgZnO a ZnO vzniká 2D elektronový plyn
- pohyblivost dosahuje až  $300,000 \text{ cm}^2 \text{ V}^{-1} \text{ s}^{-1}$ , což umožňuje vidět např. zlomkový kvantový Hallův jev

- rozhraní mezi oxidy přechodových kovů získávají často jiné vlastnosti než objemové materiály

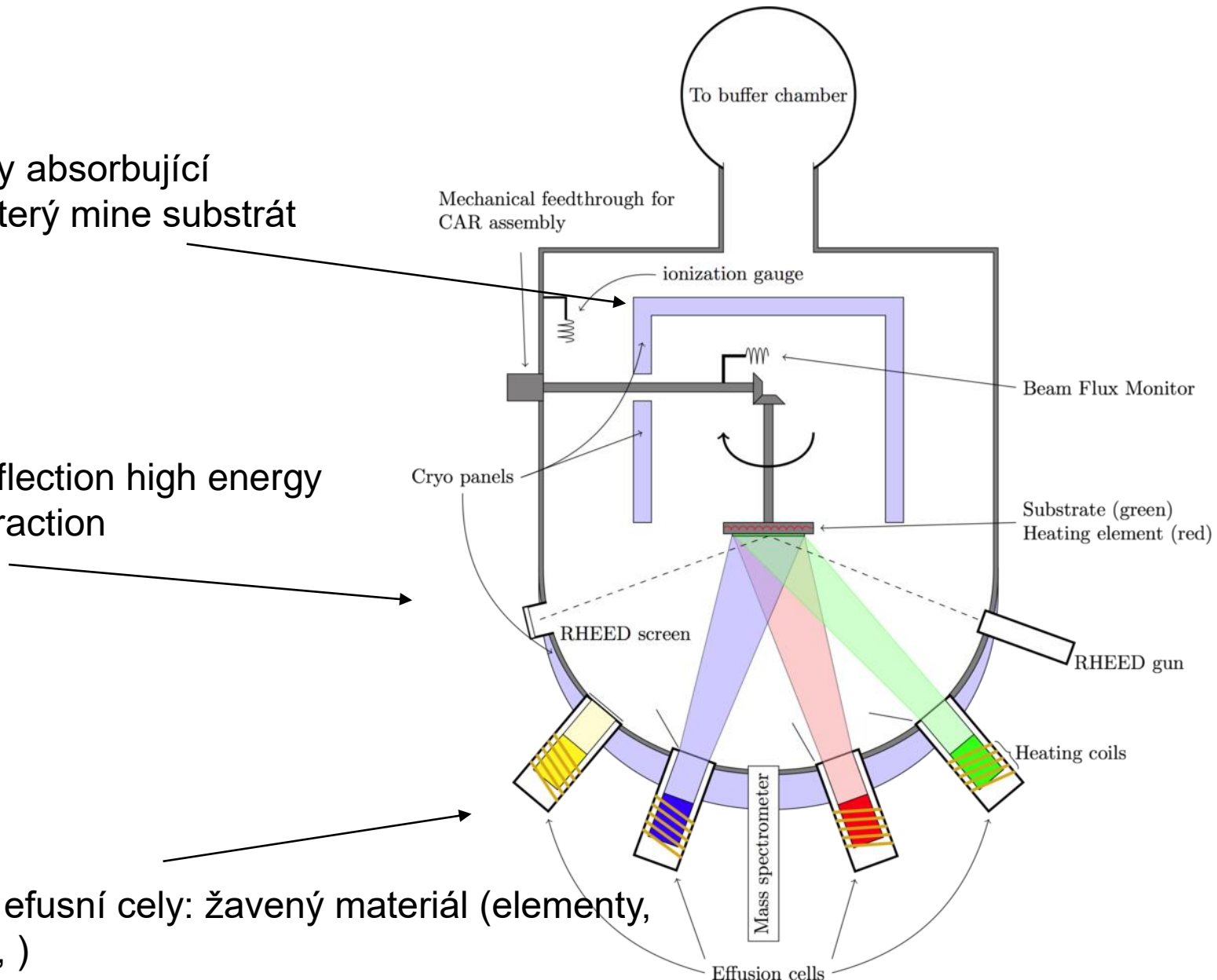
# **Epitaxe molekulárních svazků**

# Epitaxe molekulárních svazků

kryopanely absorbující  
materiál který mine substrát

RHEED: reflection high energy  
electron diffraction

Knudsenovy efusní cely: žavený materiál (elementy,  
např. Ga, As, )



# Knudsenova efusní celá

- na každý element je potřeba jedna cela
- je nutná kalibrace toku vzhledem k ostatním elementům

nevýhody: finanční náročnost při změně elementů

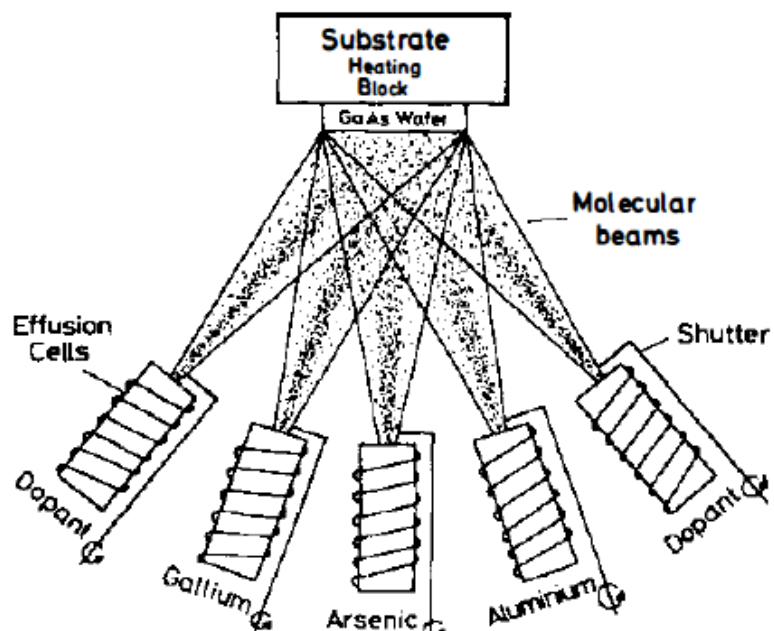
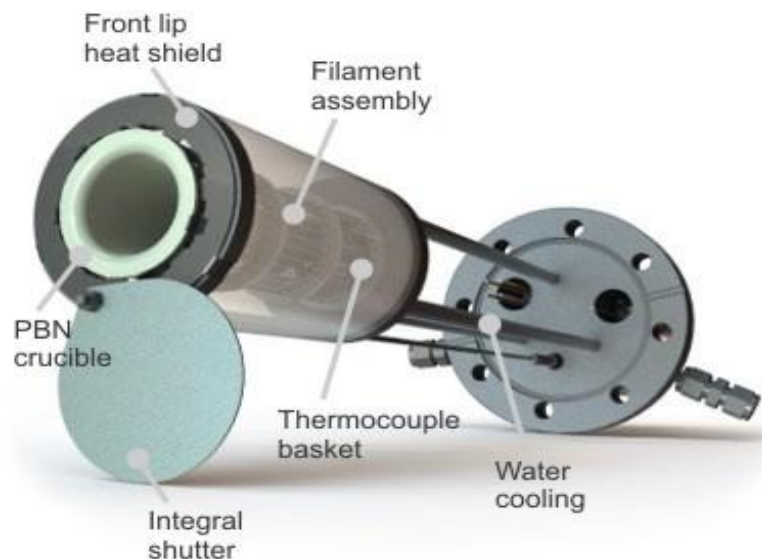


Figure 1 Schematic illustration of the basic evaporation process for molecular beam epitaxy of intentionally doped GaAs and  $\text{Al}_x\text{Ga}_{1-x}\text{As}$ .



Ploog, 1981

# charakteristiky MBE

- nízká depoziční rychlosť ~ monovrstva/s
- in-situ kontrola atomárneho složenia vrstiev pomocou RHEED
- prostredie ultravysokého vakuu  $\sim 10^{-10}$  mbar minimalizujúci kontamináciu vzorku
- skoková změna složení na rozhraní

# růst „Layer by layer“

## Ideální stav:

- atomy se adsorbují na povrchu a nukleují 2D ostrůvky
- 2D ostrůvky rostou až je vrstva úplná
- proces se opakuje

## •Reálný stav:

- Následující vrstva se nukleuje dříve než předcházející je dokončena
- počet nedokončených vrstev, tzn. povrchová drsnost, roste s časem
- při přerušení se povrch zaceluje, drsnost klesá a vrací se k původnímu rovnému stavu

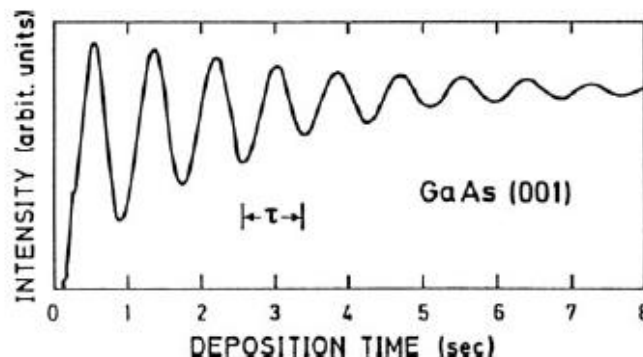
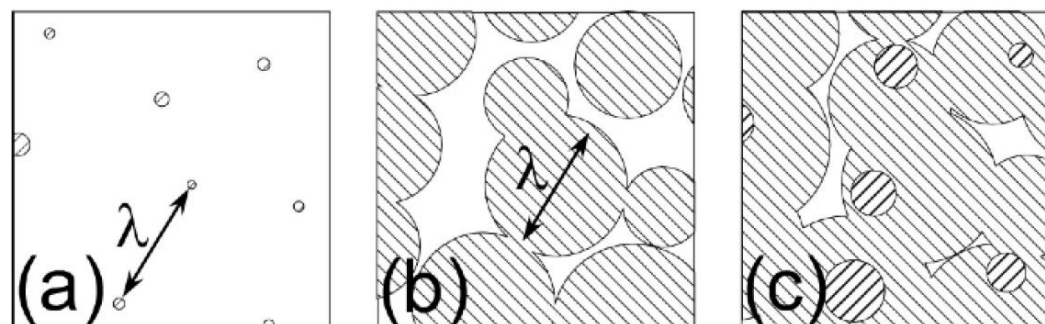
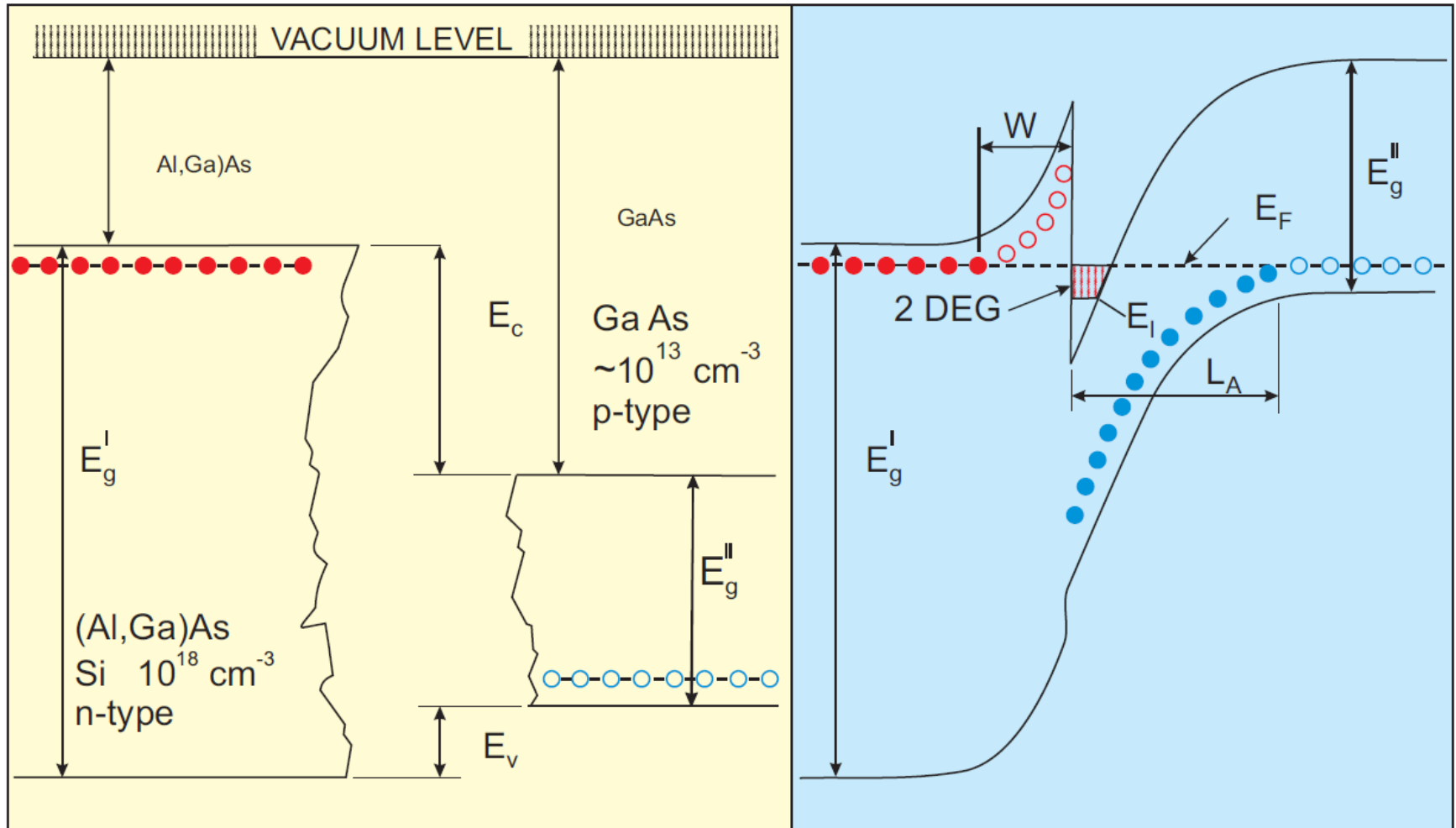


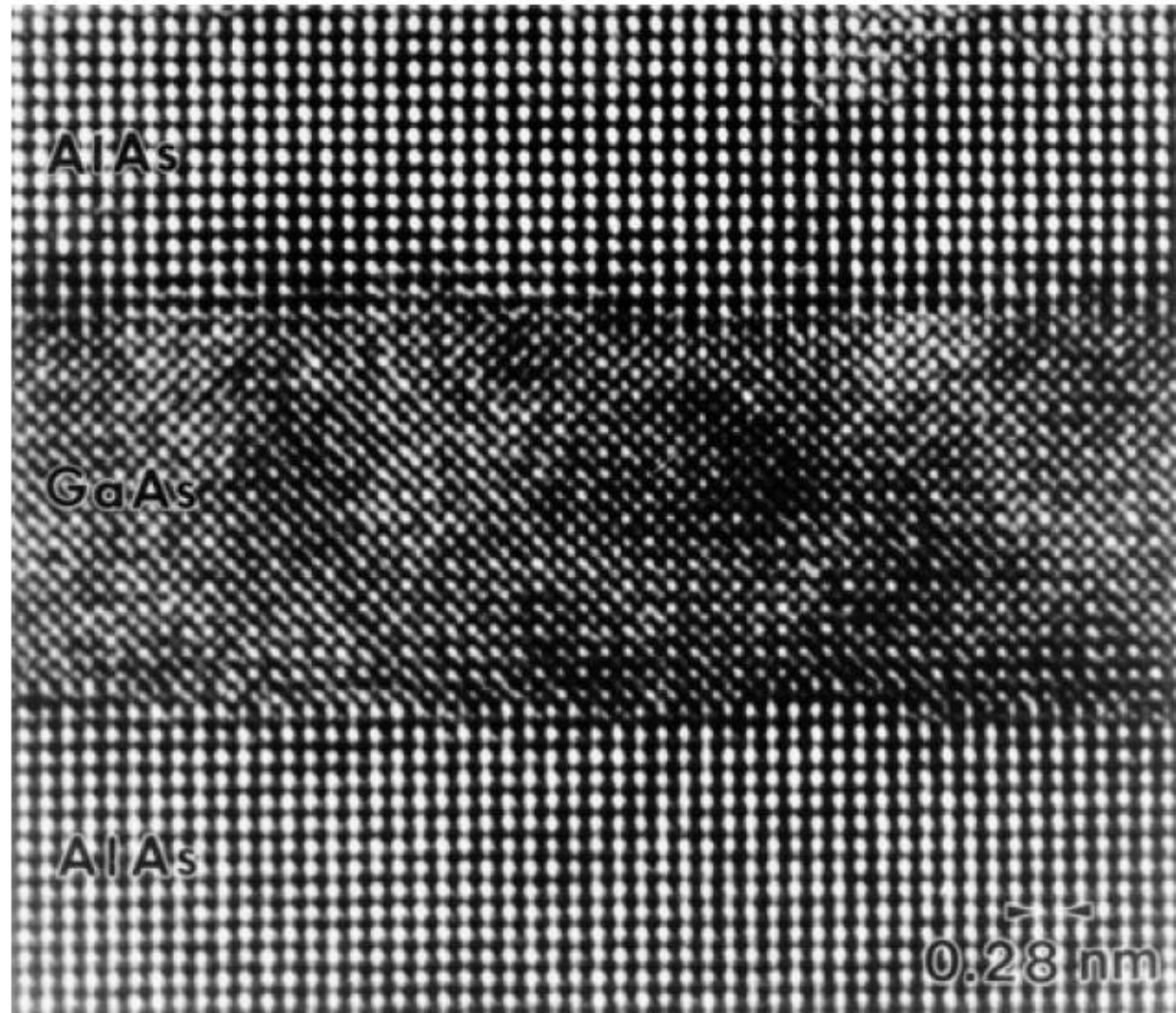
Fig. 2.7 RHEED oscillations measured during MBE growth of GaAs(001). The intensity of the particular RHEED spot is measured as a function of deposition time. The oscillation period  $\tau$  indicates the completion of a monatomic layer

# 2D elektronový plyn v GaAs-AlGaAs struktuře

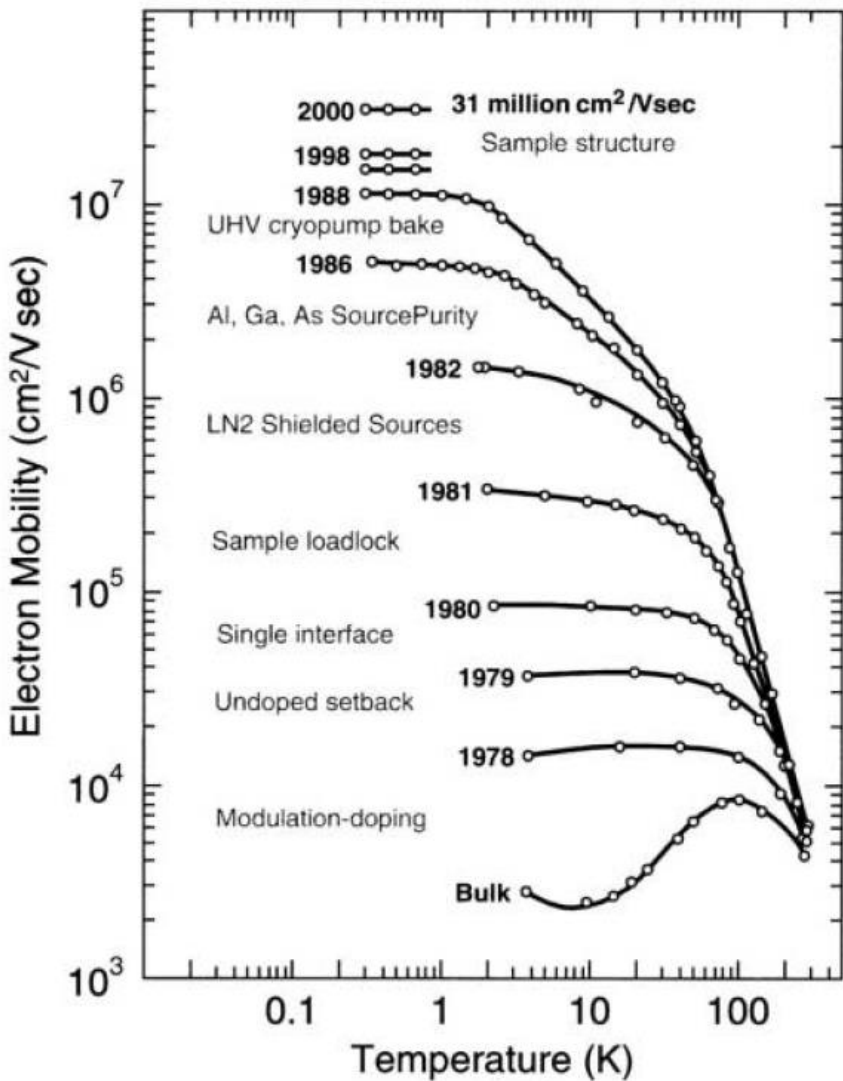


# snímek z transmisního elektronového mikroskopu – atomární rozlišení

**Fig. 3.32** High-resolution TEM of an AlAs/GaAs double heterostructure. The dark and bright points are correlated with single rows of atoms [3.28]



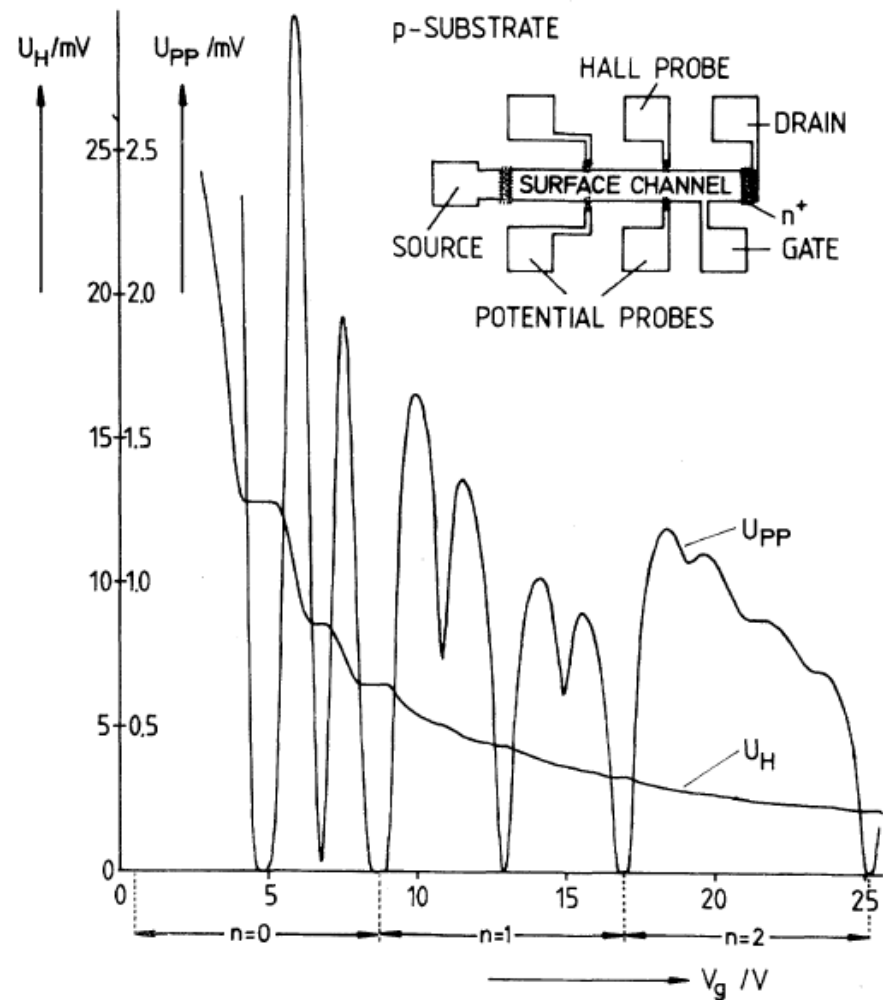
# Zlepšování pohyblivosti v závislosti na „čase“



# New Method for High-Accuracy Determination of the Fine-Structure Constant Based on Quantized Hall Resistance

K. v. Klitzing

*Physikalisches Institut der Universität Würzburg, D-8700 Würzburg, Federal Republic of Germany, and Hochfeld-Magnetlabor des Max-Planck-Instituts für Festkörperforschung, F-38042 Grenoble, France*



kvantový Hallův jev

- nobelova cena 1985

$$h/4e^2 = 6453.17 \pm 0.02 \Omega$$

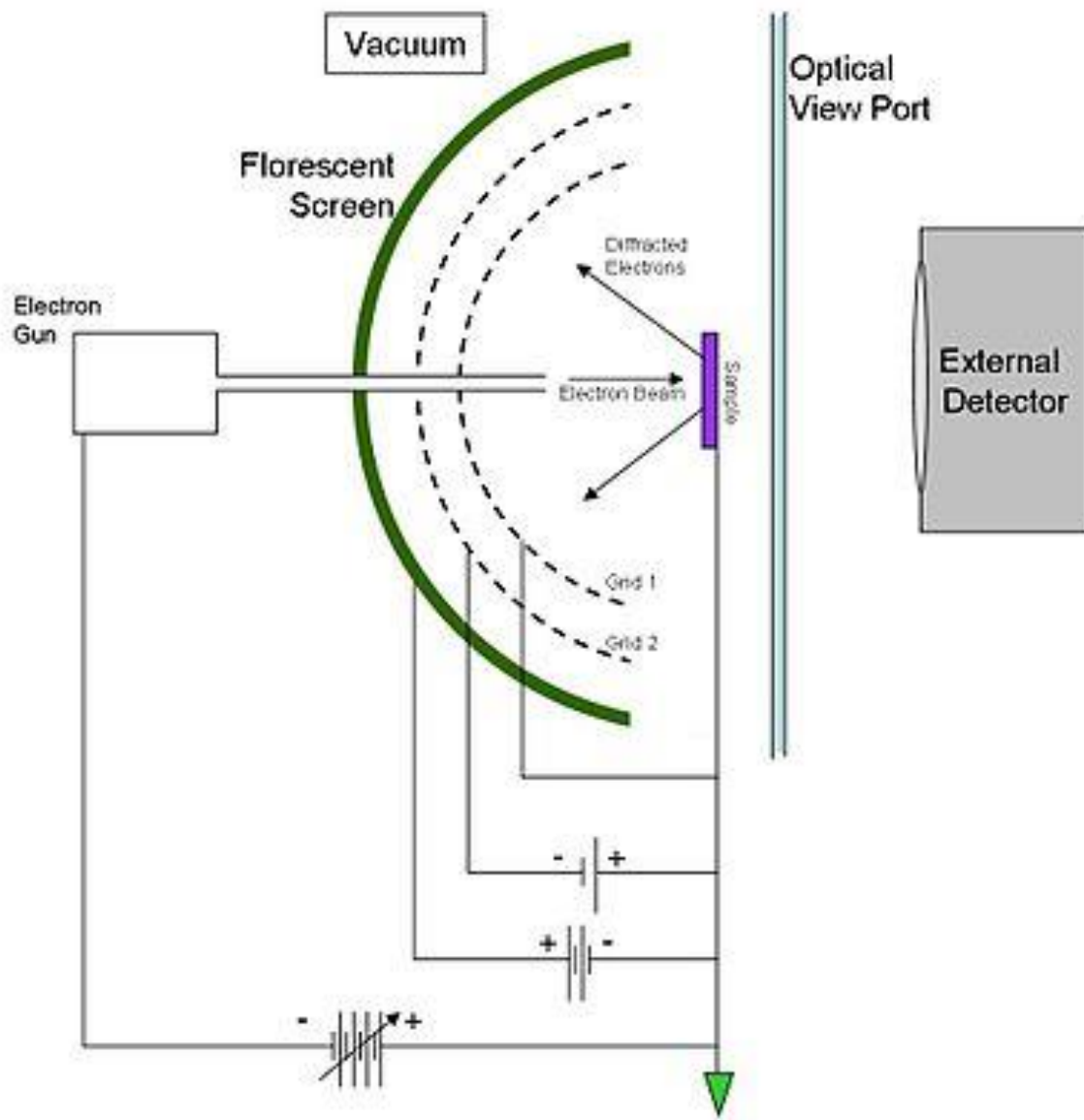
fine structure constant

$$\alpha^{-1} = 137.0353 \pm 0.0004$$

FIG. 1. Recordings of the Hall voltage  $U_H$ , and the voltage drop between the potential probes,  $U_{pp}$ , as a function of the gate voltage  $V_g$  at  $T = 1.5$  K. The constant magnetic field ( $B$ ) is 18 T and the source drain current,  $I$ , is 1  $\mu$ A. The inset shows a top view of the device with a length of  $L = 400 \mu\text{m}$ , a width of  $W = 50 \mu\text{m}$ , and a distance between the potential probes of  $L_{pp} = 130 \mu\text{m}$ .

# **LEED – Low energy electron diffraction**

# LEED – Low energy electron diffraction



zdroj: wiki

# LEED – conservation of in plane component of momentum

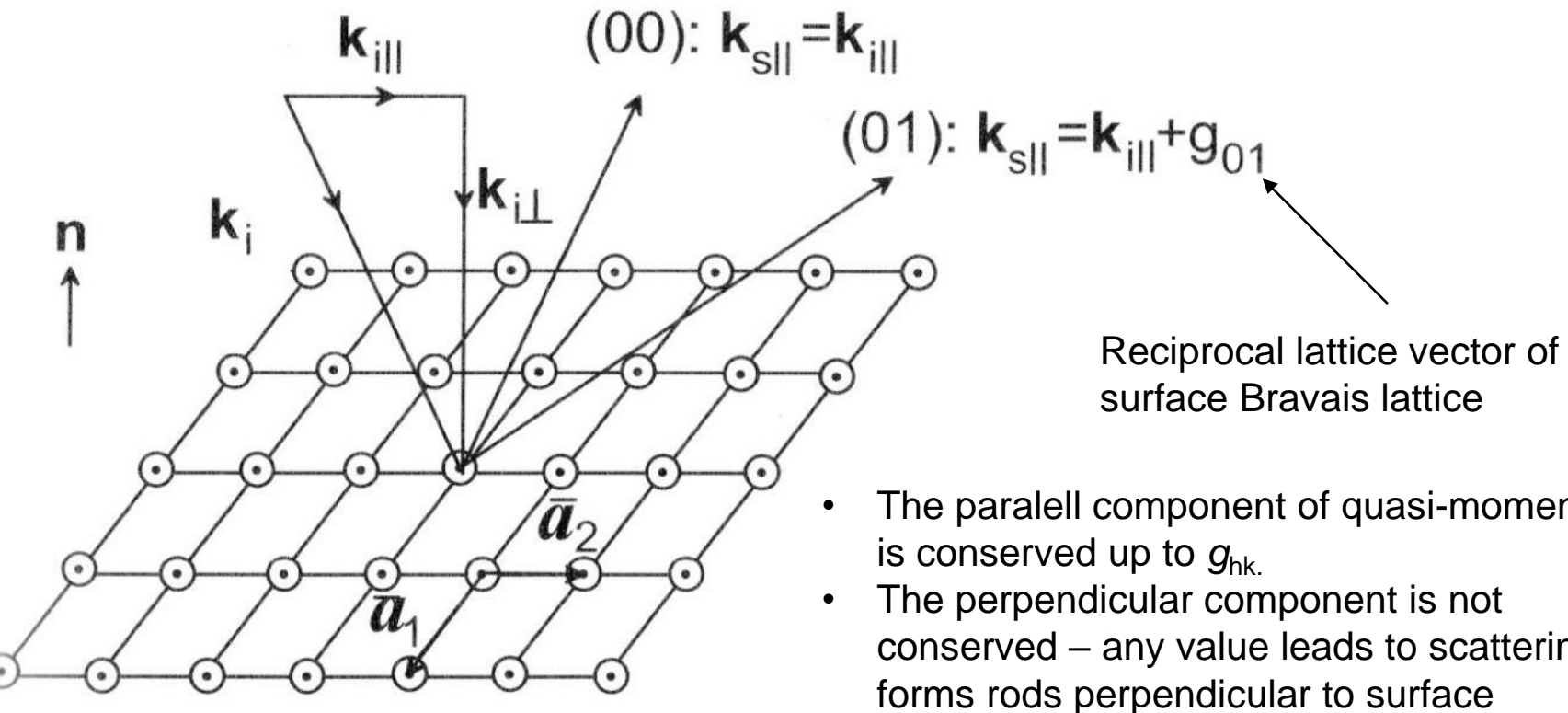


Fig. 1.18. Diffraction of an incident plane wave with wave vector  $\mathbf{k}_i$ . The surface is represented by the corresponding 2D Bravais lattice. Parallel momentum conservation with any reciprocal lattice vector  $\mathbf{g}_{hk}$  creates well-defined diffracted beams ( $hk$ ).

# LEED – Low energy electron diffraction

- Jelikož elektrony pronikají do materiálu jen jednu nebo dvě monovrstvy, kolmo na povrch nejsou žádné omezující difrakční podmínky – dochází k difrakci pro jakékoli kolmé hodnoty  $k$  vektoru, tedy reciproká mříž se setává z čar kolmých na povrch (truncation rods)
- Evaldova koule pak představuje zákon zachování energie při elastickém rozptylu,  $\text{abs}(\mathbf{k}_i) = \text{abs}(\mathbf{k}_s)$ .
- V průniku koule a reciproké mříže dochází k současnému splnění difrakčních podmínek a zákona zachování energie a tedy se zde realizuje difrakce.

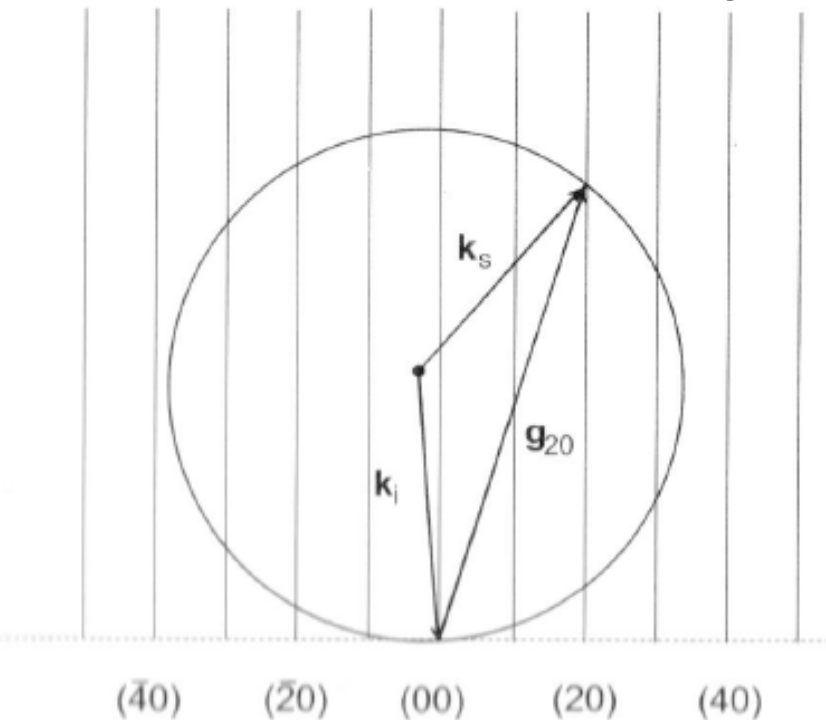
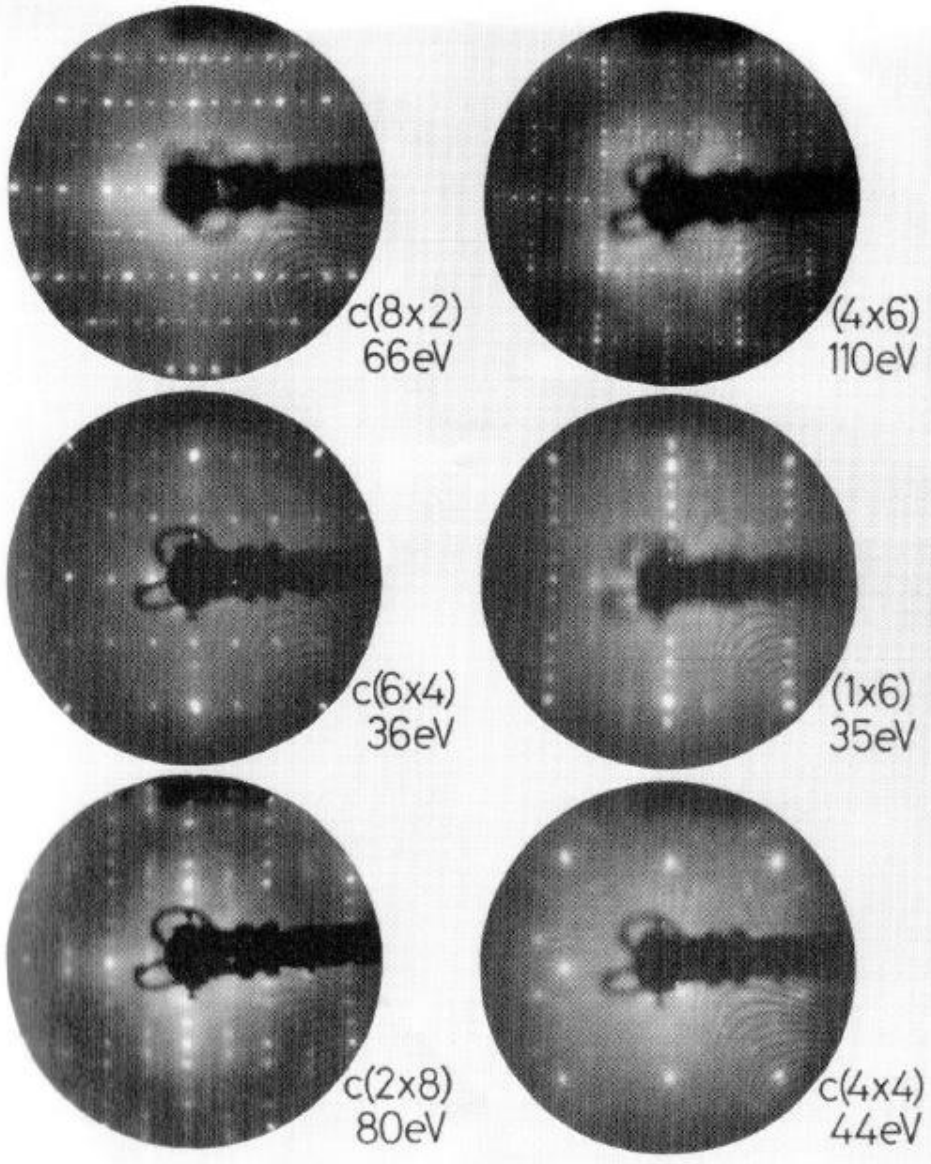


Fig. 1.19. Ewald construction for elastic scattering on a 2D Bravais lattice. A scattering geometry is considered in which the momentum conservation is fulfilled with reciprocal lattice vectors  $\mathbf{g}_{h0}$  parallel to  $\mathbf{b}_1$ .

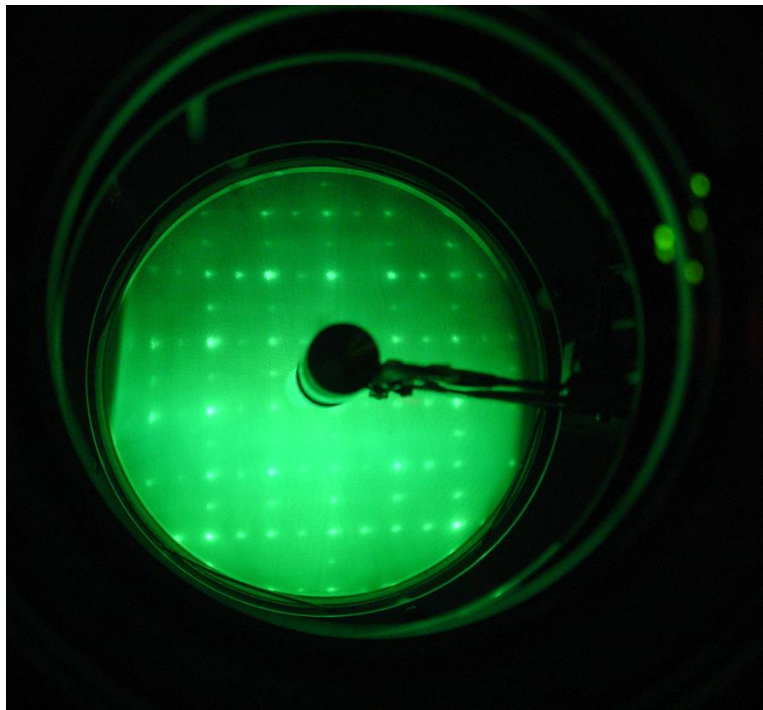
# LEED – Low energy electron diffraction



- LEED is sensitive of only few monolayers deep from surface - it is very surface sensitive technique.
- Used for observation of surface reconstruction

Fig. 1.20. LEED images of six differently prepared GaAs(100) surfaces. After [1.15]. The surface reconstruction and the electron energy are indicated.

# LEED – Low energy electron diffraction



- rekonstruovaný povrch Si(100).
- objemová mříž je kubická, povrchová rekonstrukce má periodicitu 2x1, difrakce pochází od různých domén na sebe kolmých

# Měření magnetických vlastností látek

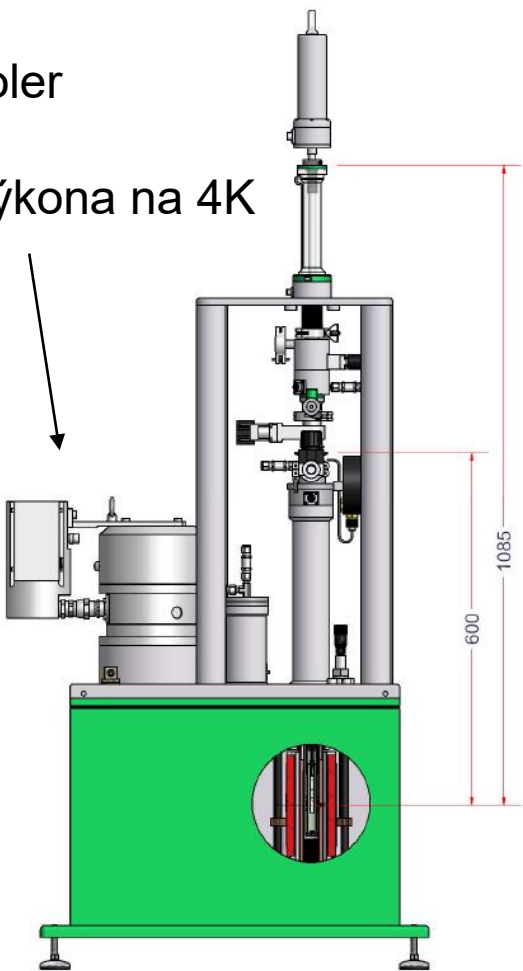
# Měření magnetických a transportních vlastností látek

- měření odporu, Hallova koeficientu, magnetické susceptibility a magnetizace
- 1.6 a 400 K v magnetickém poli +9 T

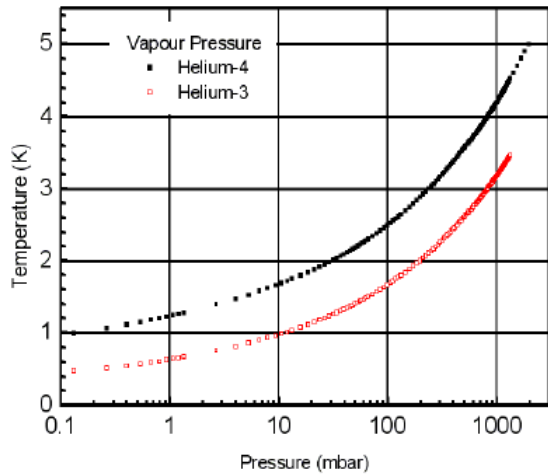
pulsní cryocooler

7kW příkon

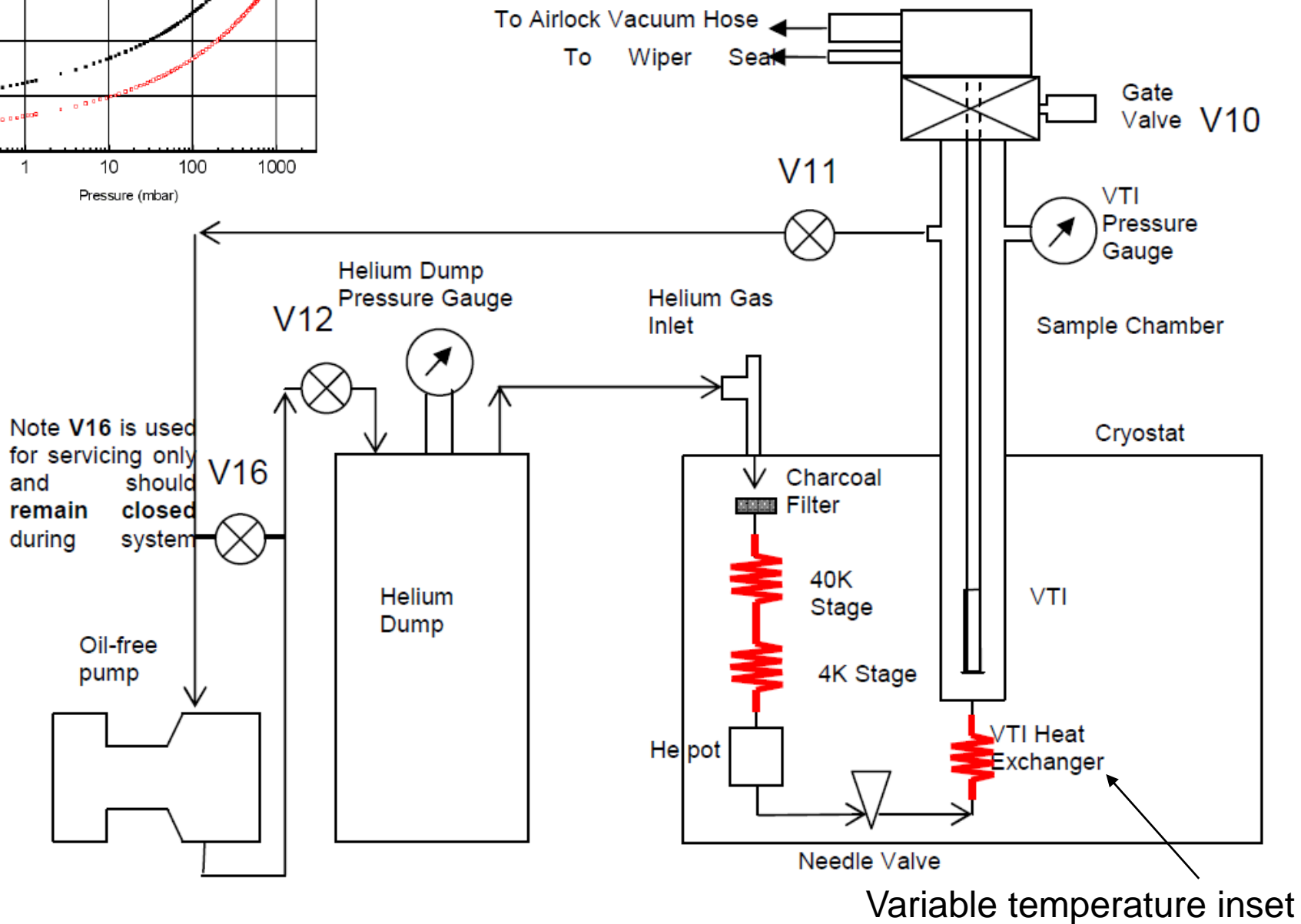
1W chladící výkona na 4K



výrobce firma Cryogenics



# Schéma kryochladiče a kryostatu 1.6-400K



# VSM – vibrating sample magnetometer

- indukční technika měření magnetického momentu – vertikální pohyb vzorku (~20Hz) indukuje proud v cívce
- dvě snímací cívky zapojeny v opačném pořadí – vliv vnějšího magnetického pole se ruší
- signál přichází na synchronní detektor (lock-in amplifier), výsledkem je amplituda a fáze signálu.

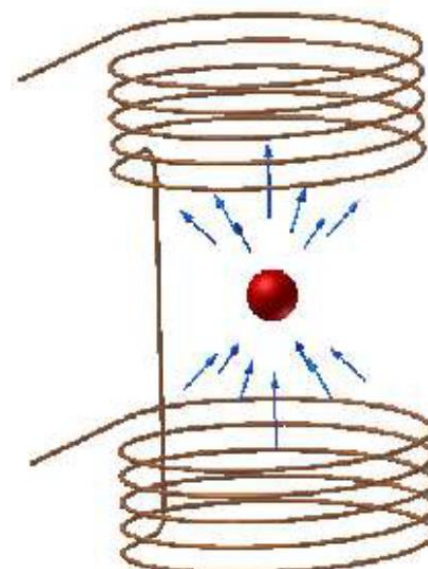
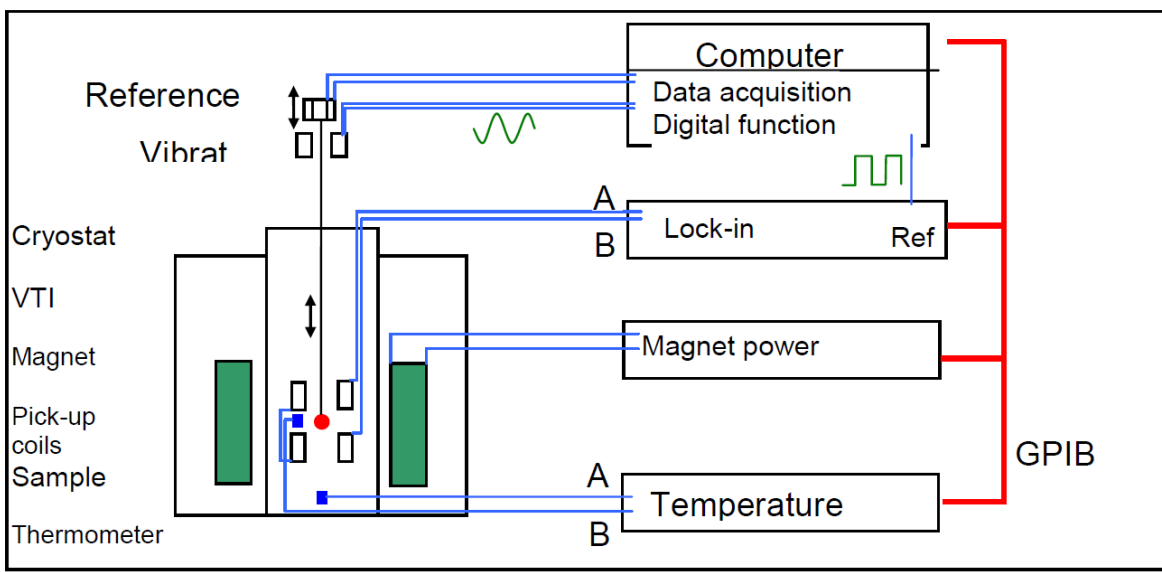
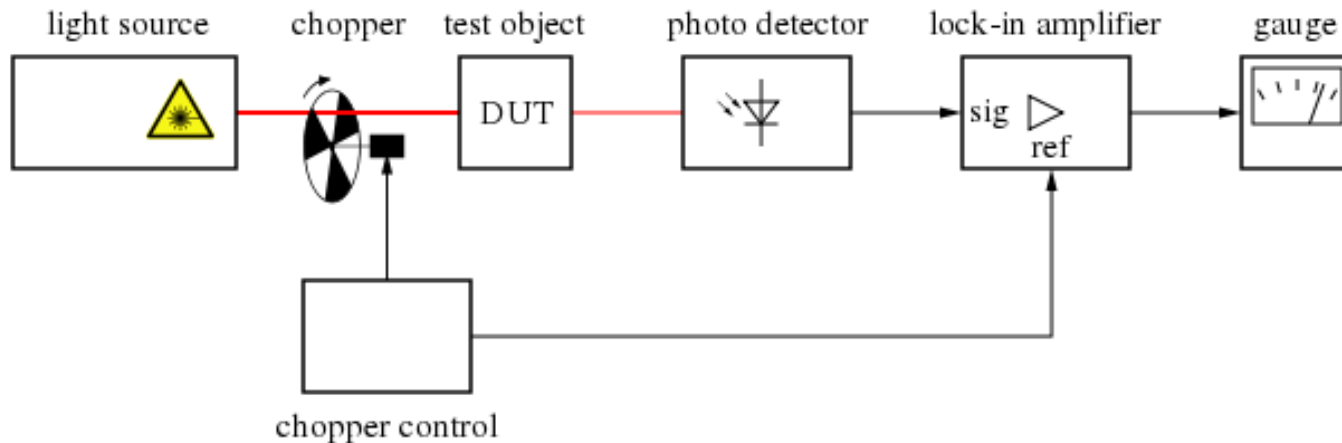


Figure 1-1 Schematic view of sample and VSM pick-up coils.  
Arrows indicate the direction of the dipole field.

# synchrovní zesilovač (lock-in amplifier)

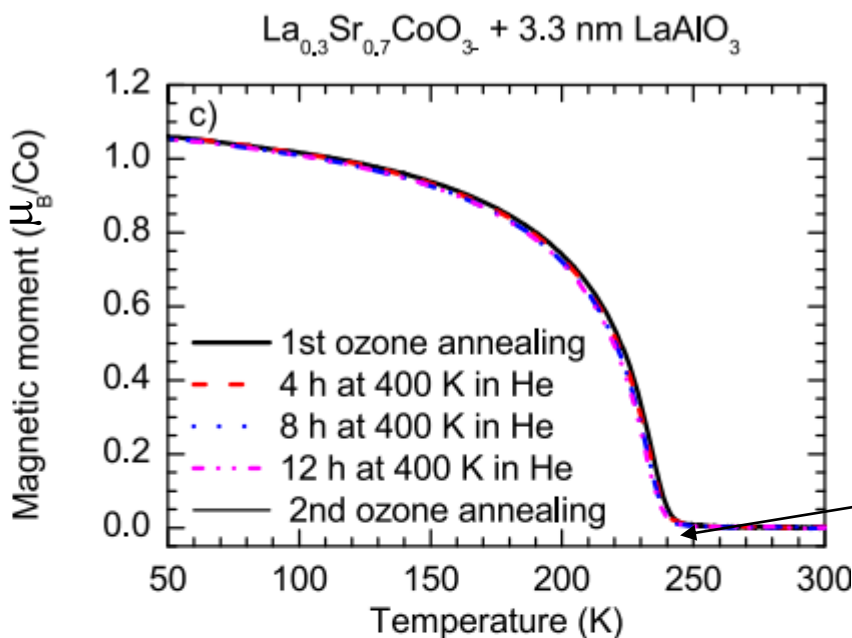
- pro odstranění (potlačení) vlivu světla z okolí je ideální modulace světla (chopper) a následná detekce s použitím synchrovního zesilovače (lock-in amplifier, někdy „phase sensitive detector“)



- synchrovní zesilovač integruje měřený signál s frekvencí danou modulací což velmi potlačuje jakýkoliv nemodulovaný signál (šum, přímé světlo z okoli apod).

$$U_{\text{out}}(t) = \frac{1}{T} \int_{t-T}^t \sin [2\pi f_{\text{ref}} \cdot s + \varphi] U_{\text{in}}(s) \, ds$$

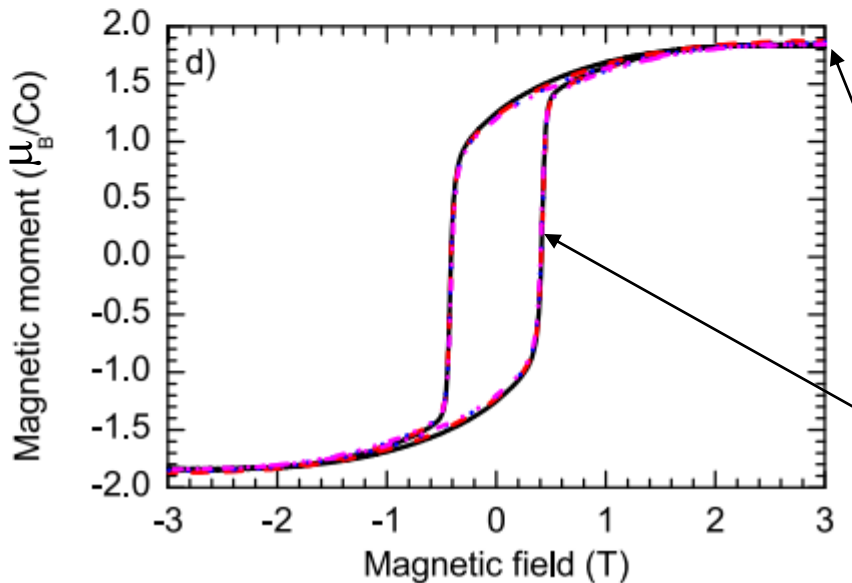
# Most simple case – ferromagnetic material ( $\text{La}_{0.3}\text{Sr}_{0.7}\text{CoO}_3$ )



- Magentic moment (in cgs  $\text{emu} \sim 1 \text{ emu} = 10^{-3} \text{ Am}^2$ ) is very usefull to recalculate to Bohr magneton per magnetic ion
- magnetic moment of spin  $1/2 = 1 \mu_{\text{B}}$

Left: Temperature dependence of magnetization in a weak field, typically  $\sim 10 \text{ mT}$  - determination of  $T_c$

$$T_c = \sim 240 \text{ K}$$



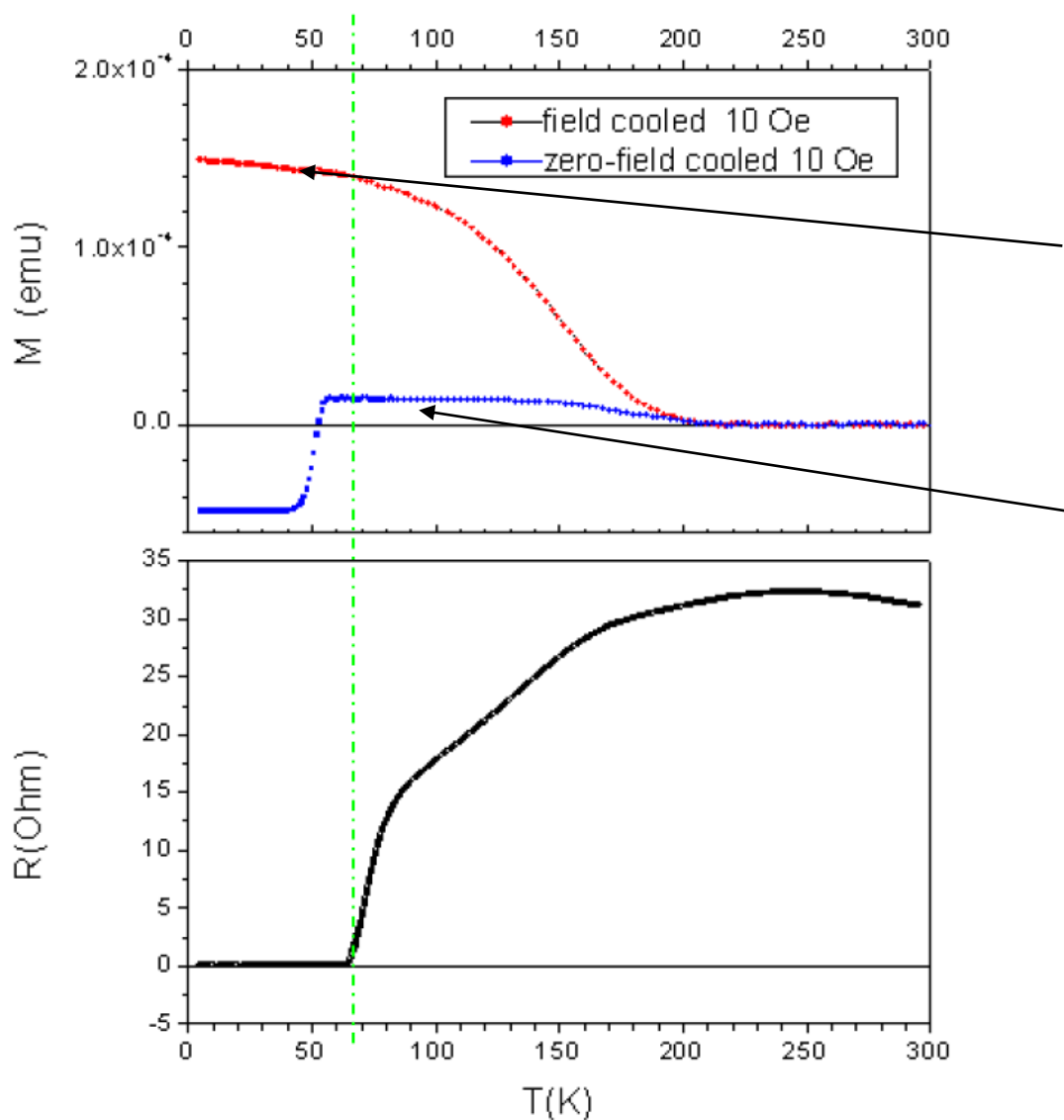
Left: Hysteresis loop at low temperature to determine saturated magnetic moment and coercive field

Saturated magnetic moment of  $1.8 \mu_{\text{B}}/\text{Co}$  ion

Coercive field =  $\sim 0.4 \text{ T}$

# magnetický moment supermřížek YBCO/LCMO

$\text{YBa}_2\text{Cu}_3\text{O}_7/\text{La}_{2/3}\text{Ca}_{1/3}\text{MnO}_3$  : 300/100 Å



v magnetometrii je standardně používaná jednotka cgs emu.

$$1 \text{ emu} = 10^{-3} \text{ Am}^2$$

při chlazení v poli je magnetické pole již uvnitř supravodiče v podobě vortexů

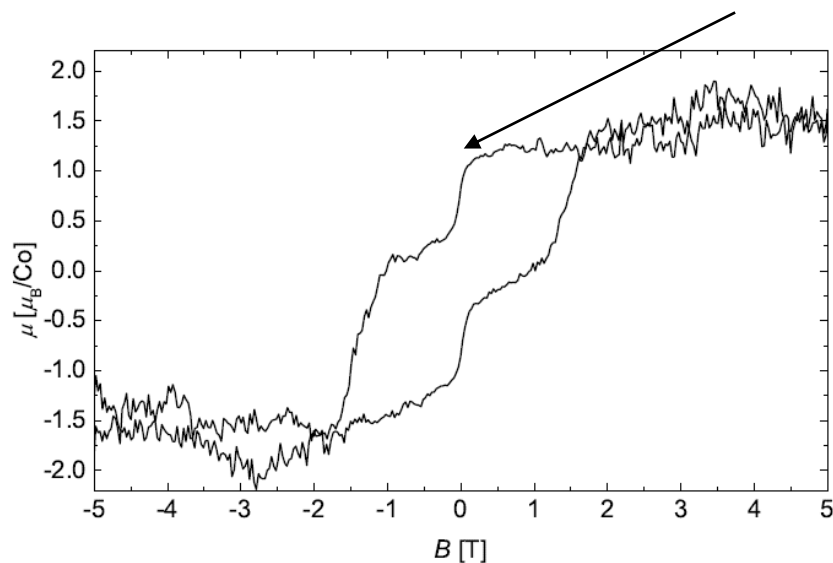
při chlazení v nulovém poli je vidět Meissnerův jev

# magnetický moment feromagnetického $\text{La}_{0.7}\text{Sr}_{0.3}\text{CoO}_3$

**Be carefull on cleannes of your samples!**

Samples can get easily contaminated by Fe particles

- e.g. from PLD sample plates - scratching with sandpaper necessary
- By standard metallic tweezers - plastic tweezers are necessary
- By Fe nanoparticles from air (captured by e.g. Kapton tape used in sample holder.)

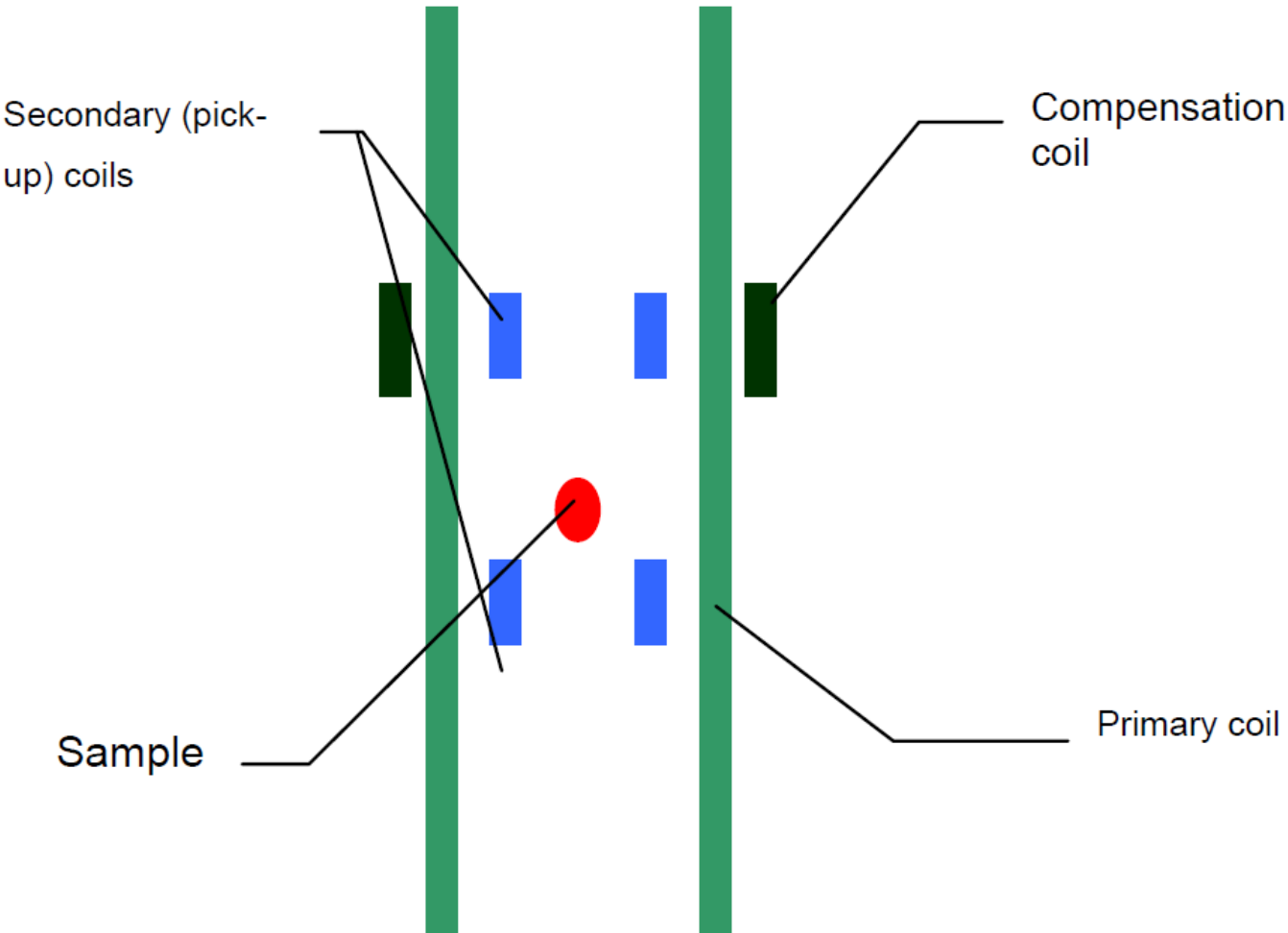


Double stepped hysteresis loop,  
most likely due to Fe contamination

FIG. S4. Magnetic moment per Co site of the  $\text{La}_{0.7}\text{Sr}_{0.3}\text{CoO}_3$  thin film at 4 K, as a function of the applied field, obtained using vibrating sample magnetometer.

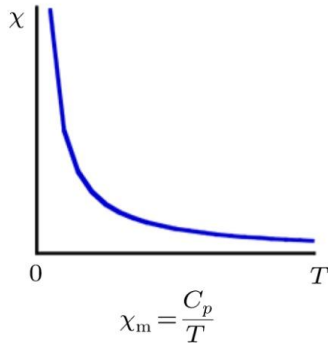
# Měření AC magnetické susceptibility

- Primární cívkou se vytváří AC magnetické pole typicky 1mT na 1-10 000 Hz
- pokud je vzorek v blízkosti jedné z cívek, pak měřený signále je úměrný reálné a imaginární části magnetické susceptibility

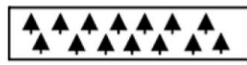


# magnetická susceptibilita

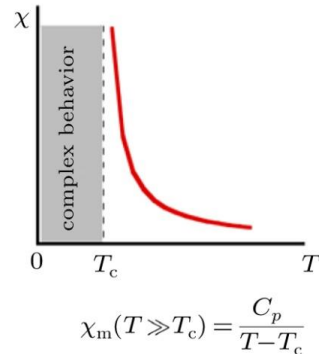
Paramagnetism



Ferromagnetism



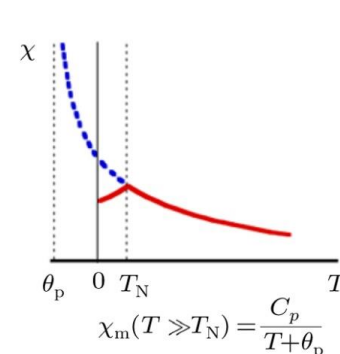
exchange integral > 0



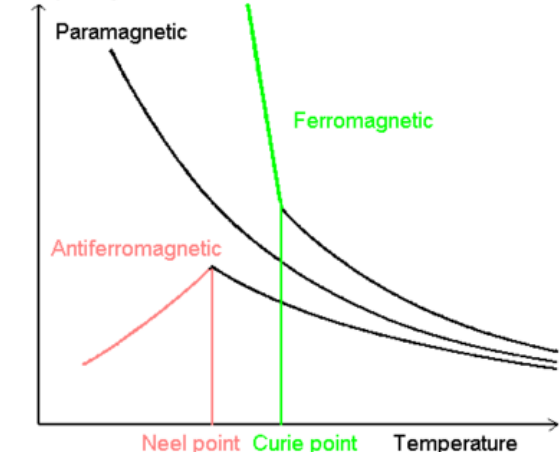
Antiferromagnetism



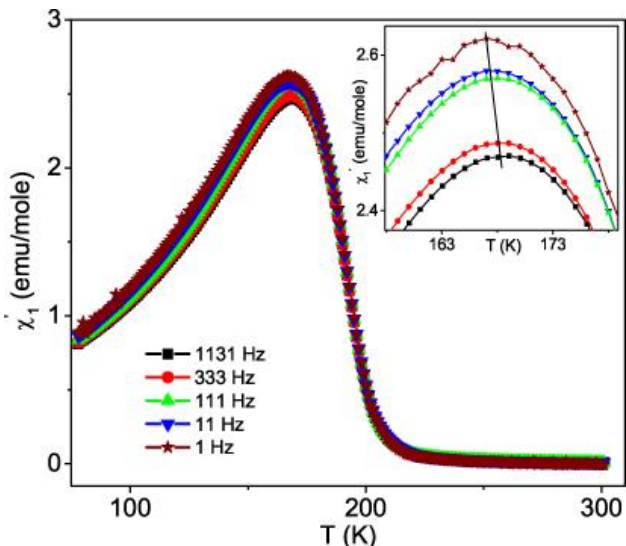
exchange integral < 0



Susceptibility



Antiferromagnetic clusters in  $\text{La}_{0.5}\text{Ba}_{0.5}\text{CoO}_3$



Antiferromagnetic  $\text{LaCrO}_3$ ,  $T_N=287$  K

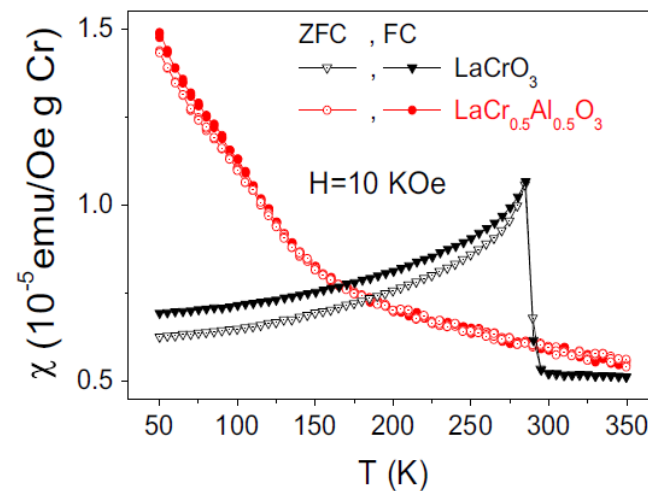


Fig. 7. ZFC and FC magnetic susceptibility ( $\chi$ ) versus temperature (T) for  $\text{LaCrO}_3$  (black) and  $\text{LaCr}_{0.5}\text{Al}_{0.5}\text{O}_3$  (red) samples measured at  $H=10$  kOe. (For interpretation of the references to color in this figure legend, the reader is referred to the web version of this article.)

# **Skenovací tunelovací mikroskopie (STM)**

# AFM – atomic force microscopy

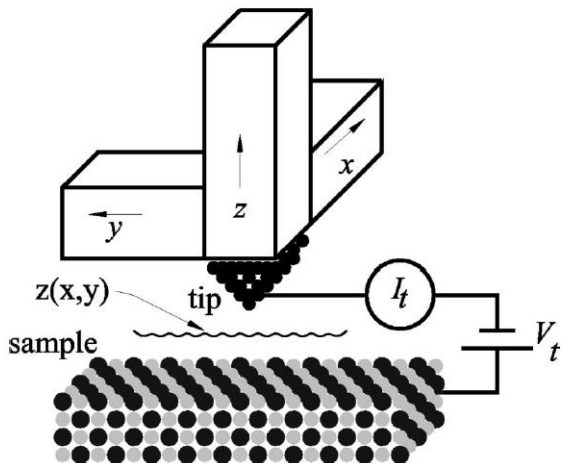


FIG. 2. A scanning tunneling microscope (schematic).

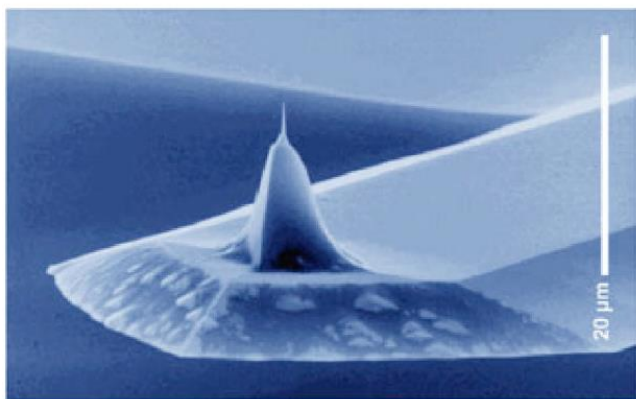


FIG. 8. (Color in online edition) Scanning electron micrograph of a micromachined silicon cantilever with an integrated tip pointing in the [001] crystal direction (Wolter *et al.*, 1991). This is a Pointprobe sensor made by Nanosensors GmbH und Co. KG, Norderfriedrichskoog, Germany D-25870. Photo courtesy of Nanosensors GmbH & Co. KG.

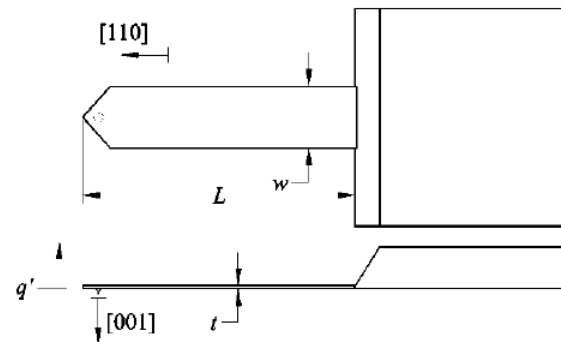


FIG. 7. Top view and side view of a microfabricated cantilever (schematic). Most cantilevers have this diving-board geometry.

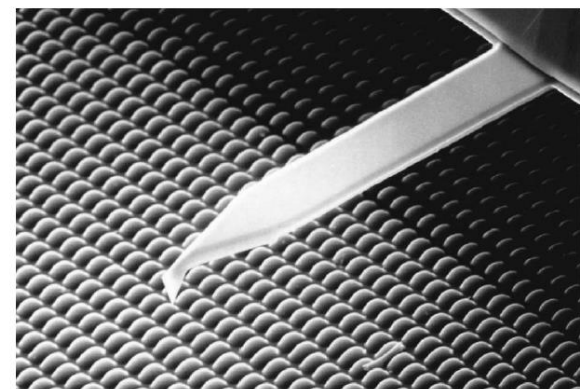


FIG. 9. Scanning electron micrograph of a micromachined silicon cantilever with an integrated tip pointing in the [001] crystal direction. In this type, the tip is etching free so that the sample area adjacent to the tip is visible in an optical microscope. Length, 120  $\mu\text{m}$ ; width, 30  $\mu\text{m}$ ; thickness, 2.8  $\mu\text{m}$ ;  $k = 15 \text{ N/m}$ ;  $f_0 = 300 \text{ kHz}$ . Photo courtesy of Olympus Optical Co. Ltd, Hachioji, Tokyo 192-8507, Japan.

# AFM – atomic force microscopy

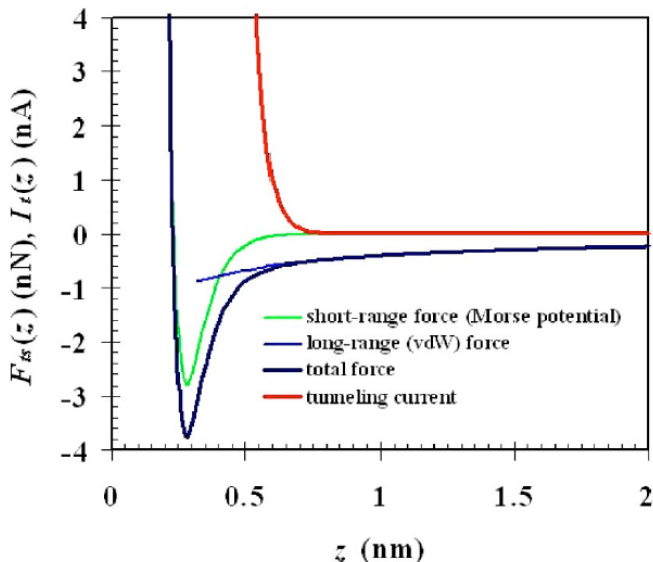


FIG. 18. (Color in online edition) Plot of tunneling current  $I_t$  and force  $F_{ts}$  (typical values) as a function of distance  $z$  between center of front atom and plane defined by the centers of surface atom layer.

- Bezkontaktní mód- používá přitažlivou část interakce
- Kontaktní mód - používá odpudivou část interakce

- síla mezi hrotom a vzorkem je použita pro zobrazení povrchu
- Statický mód – síla je úměrná ohnutí hrotu
- Dynamický mód –  
Hrot cíleně vibruje se svou rezonanční frekvencí  $f_0$ 
  - AM - amplitudová modulace
    - aktuátor je udržován na konstantní amplitudě
  - FM - frekvenční modulace -  
zpětnovazebná smyčka udržuje konstantní frekvenci

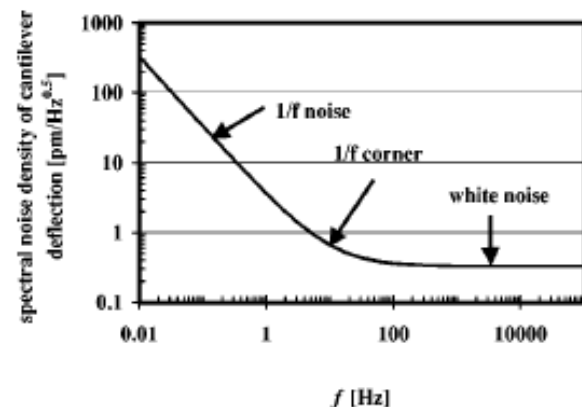


FIG. 16. Noise spectrum of a typical cantilever deflection detector (schematic), characterized by  $1/f$  noise for low frequencies and white noise for intermediate frequencies. For very high frequencies, the deflection noise density of typical cantilever deflection sensors goes up again ("blue noise," not shown here).

# AFM – atomic force microscopy

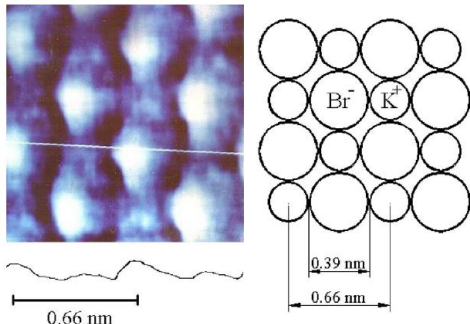


FIG. 19. (Color in online edition) Atomically resolved image of KBr (001) in contact AFM mode. The small and large protrusions are attributed to K<sup>+</sup> and Br<sup>-</sup> ions, respectively. From Giessibl and Binnig, 1992b.

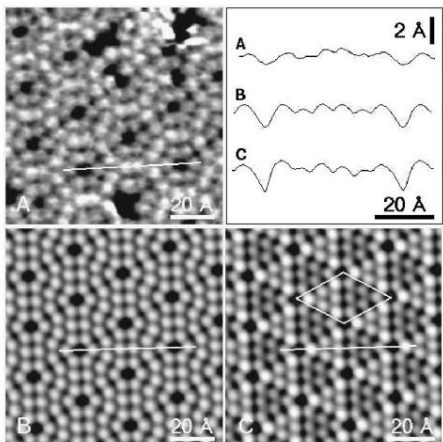


FIG. 24. AFM image of the silicon 7×7 reconstruction with amplitude-modulation (AM) mode. Image size 100×100 Å<sup>2</sup>. A comparison between (A) an AFM image and (B) empty- and (C) filled-state STM images. The gray scales in the images correspond to a height difference of 1 Å. The STM images were recorded with tip voltages of -2 and +2.2 V, respectively, and a constant current of 0.1 nA. The AFM image was low-pass filtered using a 3×3 convolution filter, while the STM images show unfiltered data. The cross sections through the four inequivalent adatoms are obtained from raw data. The 7×7 unit cell is outlined in the filled-state STM image. The faulted and unfaulted halves correspond to the left-hand and right-hand sides, respectively. From Erlandsson *et al.*, 1997.

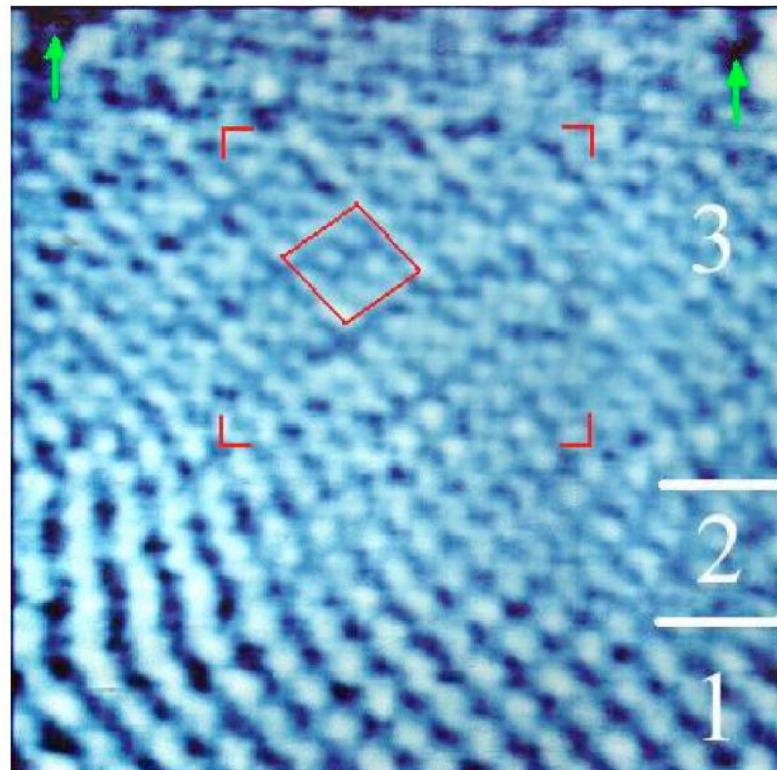


FIG. 20. (Color in online edition) Atomically resolved image of KBr (001) in contact AFM mode. Scan width of 5 nm in region 1, is continuously increased from 5 nm to 10 nm in region 2 and 10 nm in region 3 (see text). The  $\sqrt{3} \times \sqrt{3}R45^\circ$  superstructure and the slight depression in the central 5 nm × 5 nm<sup>2</sup> area (enclosed by angles) is probably caused by the repulsive force of 1 nN between the front atom of the tip and the sample. The square shows the unit cell of the  $\sqrt{3} \times \sqrt{3}R45^\circ$  reconstruction; the arrows indicate atomic-size defects. From Giessibl and Binnig, 1992a.

# AFM – atomic force microscopy

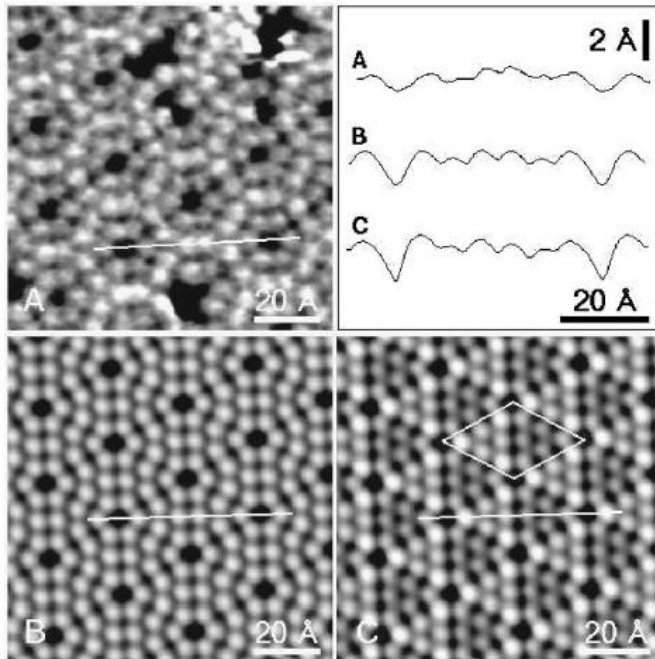
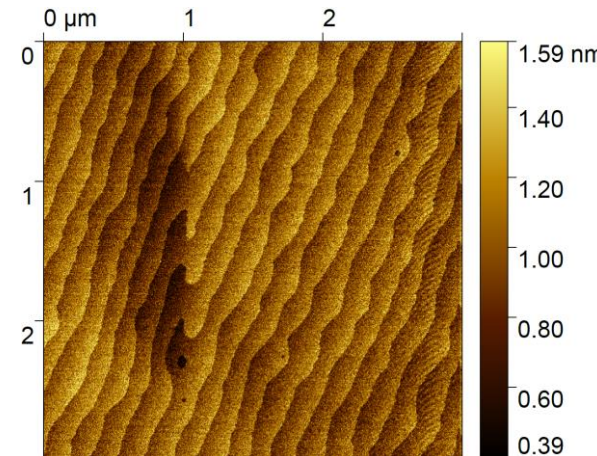
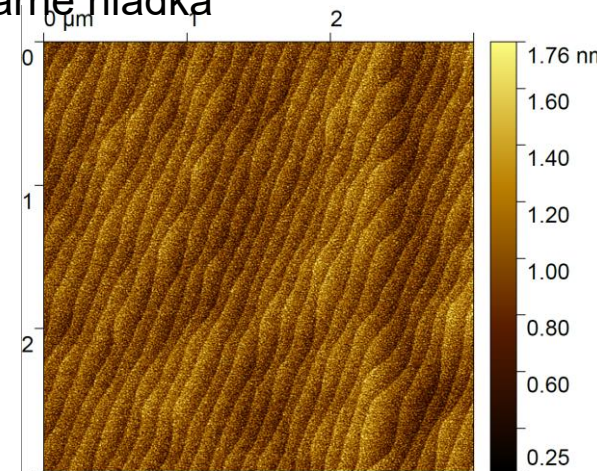


FIG. 24. AFM image of the silicon  $7 \times 7$  reconstruction with amplitude-modulation (AM) mode. Image size  $100 \times 100 \text{ \AA}^2$ . A comparison between (A) an AFM image and (B) empty- and (C) filled-state STM images. The gray scales in the images correspond to a height difference of  $1 \text{ \AA}$ . The STM images were recorded with tip voltages of  $-2$  and  $+2.2 \text{ V}$ , respectively, and a constant current of  $0.1 \text{ nA}$ . The AFM image was low-pass filtered using a  $3 \times 3$  convolution filter, while the STM images show unfiltered data. The cross sections through the four inequivalent adatoms are obtained from raw data. The  $7 \times 7$  unit cell is outlined in the filled-state STM image. The faulted and unfaulted halves correspond to the left-hand and right-hand sides, respectively. From Erlandsson *et al.*, 1997.

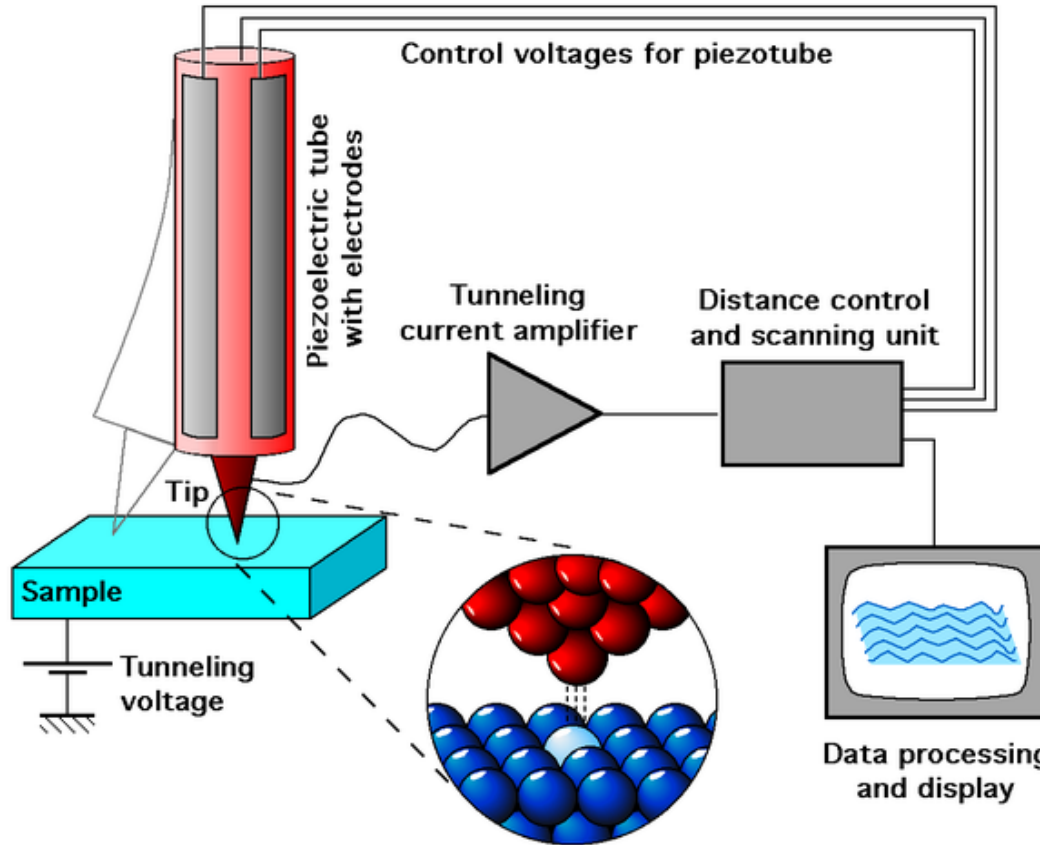
Povrch  $\text{SrTiO}_3$  upravený na Ti terminaci  
Vidíme vicinální schodky



Povrch supermřížky  $\text{LaFeO}_3 + \text{SrTiO}_3$  na  $\text{SrTiO}_3$   
opět vidíme vicinální schodky, supermřížka je  
atomárně hladká



# Skenovací tunelovací mikroskopie (STM)



tunelovací proud je exponenciálně závislý na vzdálenosti  $d$  a výstupní práci  $\phi$

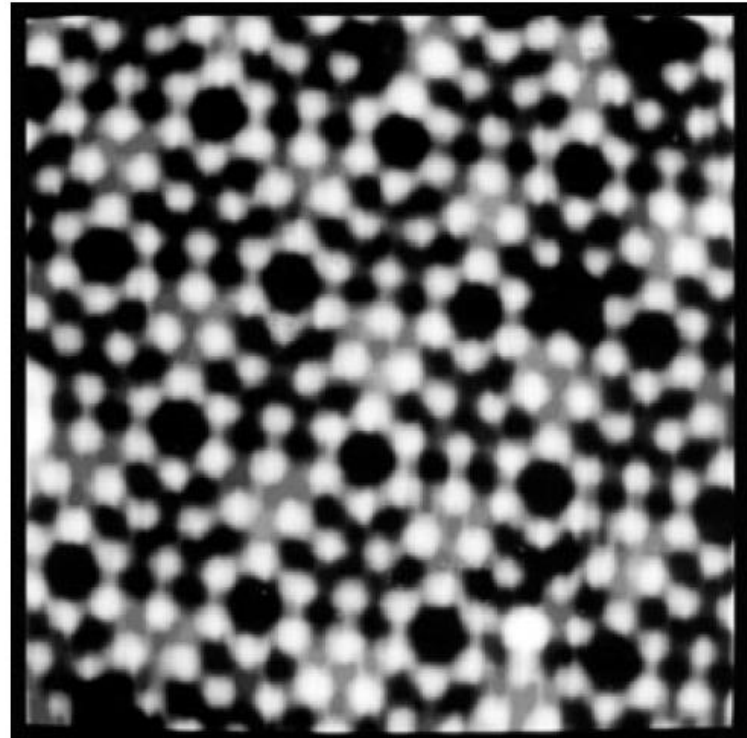
$$I_T \propto \frac{U}{d} \exp\left(-Kd\sqrt{\phi}\right)$$

$U$  ... napětí

- skenování povrchu podobně piezzoposvů (podobně jako při AFM), ale při konstantním tunelovacím proudu mezi hrotom a vzorkem.
- typická vzdálenost hrotu a vzorku 4-7 Å
- lze dosáhnout atomárního rozlišení, ~1 Å
- hroty typicky z wolframu nebo iridia z speciálně zašpičatěné do stavu, kdy na konci je ideálně jen jeden atom
- Nobelova cena 1986

# Skenovací tunelovací mikroskopie (STM)

**Fig. VI.4** STM relief of the  $(7 \times 7)$  reconstructed Si(111) surface [VI.8]. The large unit mesh is discernible by the deep corner minima. The two halves of the unit mesh are not equivalent as evidenced by the different intensities of the minima and maxima



# manipulace s atomy pomocí STM

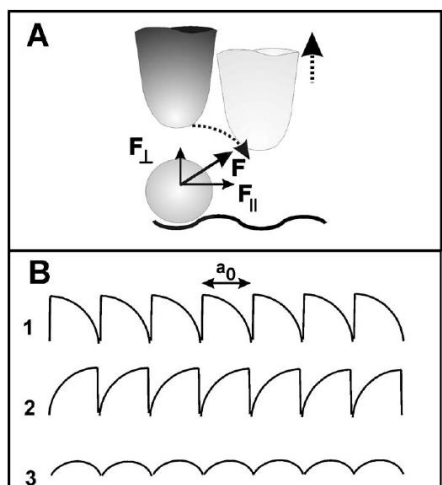
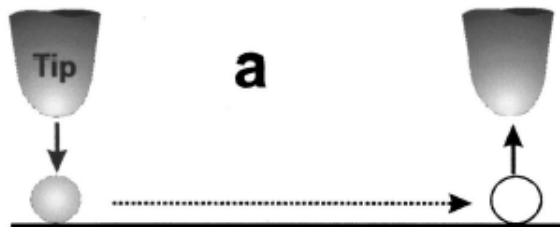
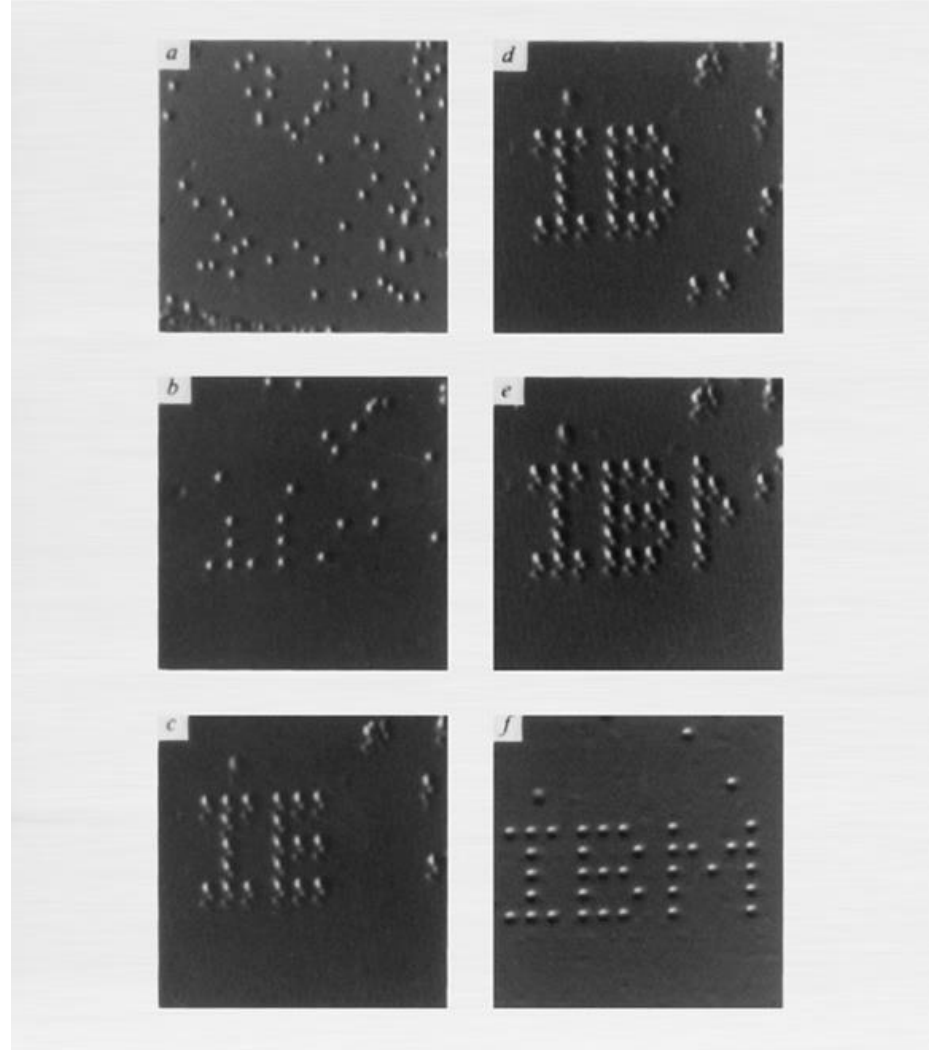
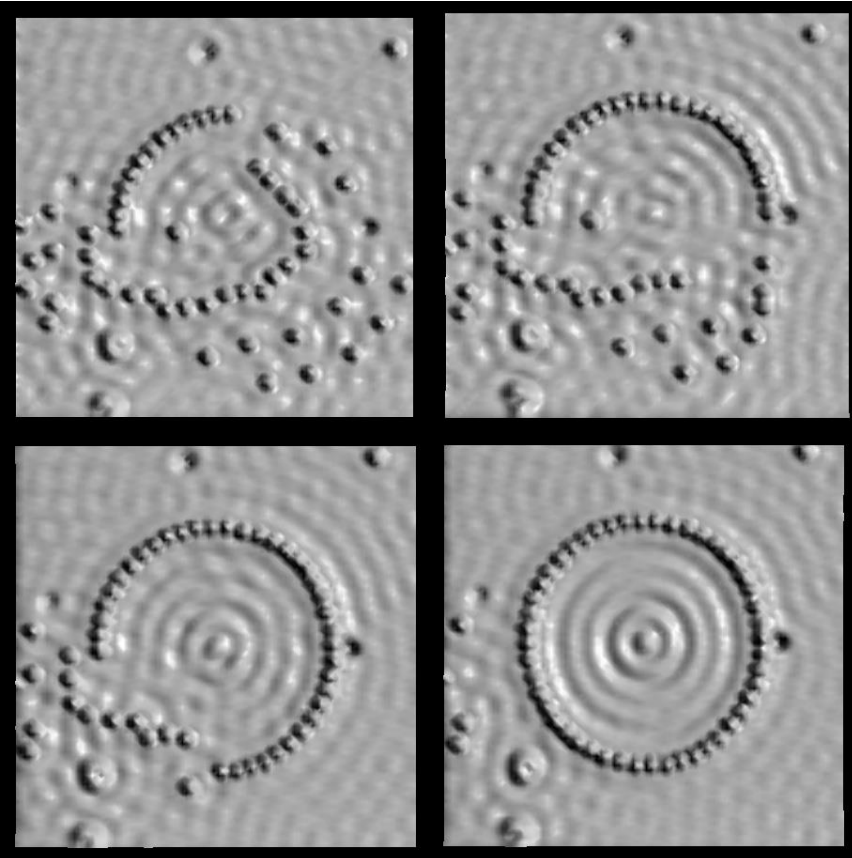


FIG. 5. (a) Demonstration of the vertical and parallel force components involved in LM. (b) STM tip-height manipulation curves correspond to (1) pulling, (2) pushing, and (c) sliding modes.



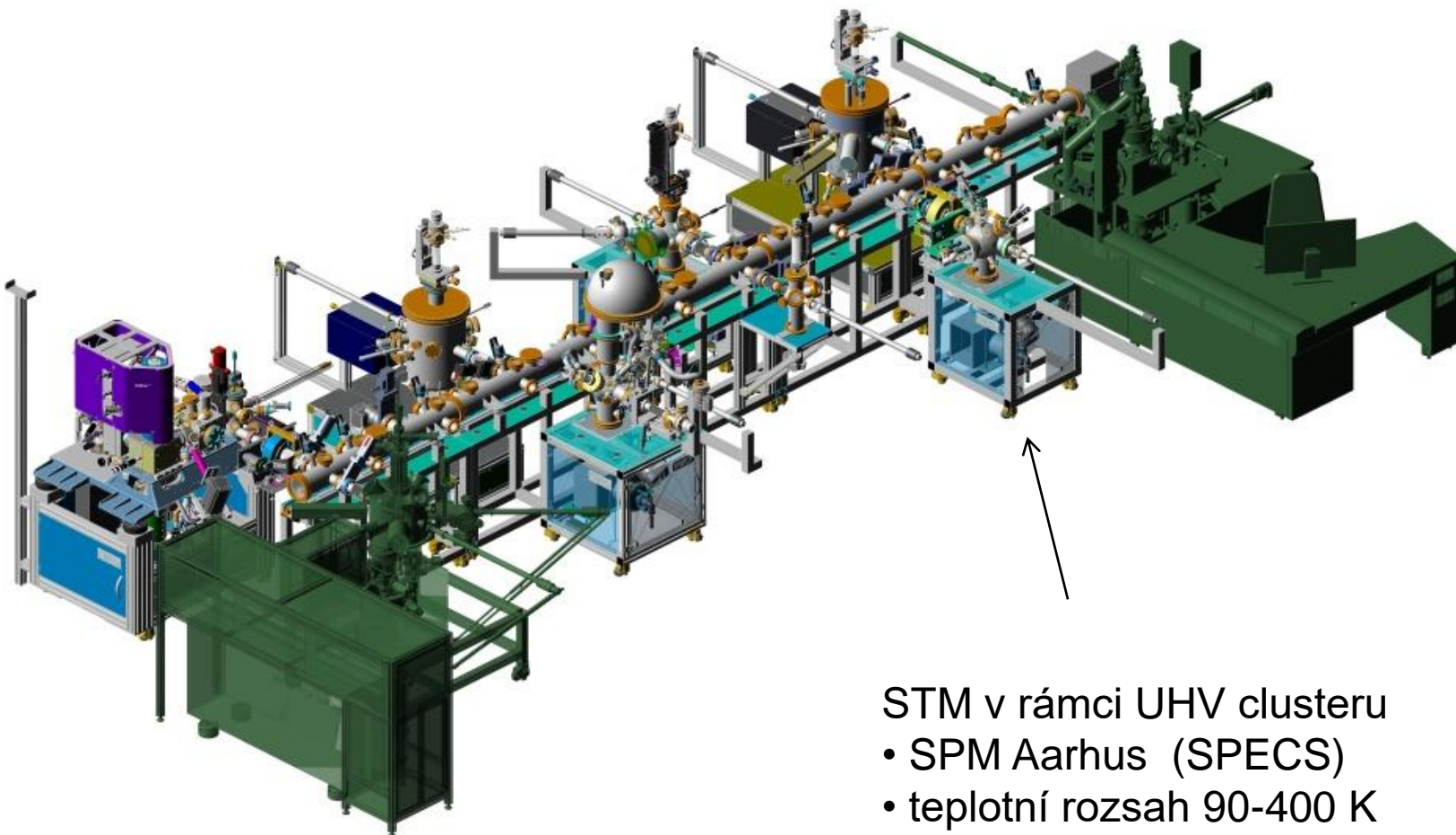
35 Xe atomů na Ni povrchu  
Eigler, D. M. & Schweizer, E. K. *Nature* **344**, 524–526 (1990).

# Friedelovy oscilace pozorované s STM



- opět IBM, Fe on Cu (111)
- Friedelovy oscilace elektronové hustoty vzniklé díky interferenci elektronů blízko Fermiho meze

# STM na ceitecu



STM v rámci UHV clusteru

- SPM Aarhus (SPECS)
- teplotní rozsah 90-400 K
- možnost evaporace tří materiálů

SPECS

# STS - scanning tunneling spectroscopy

derivace tunelovacího proudu je úměrná lokální hustotě stavů  $\rho$

$$\frac{dI}{dV}(x, y, s, V) = A \exp\left(-\frac{s}{s_0}\right) \rho_s(x, y, eV)$$

s ... vzdálenost hrotu a vzorku

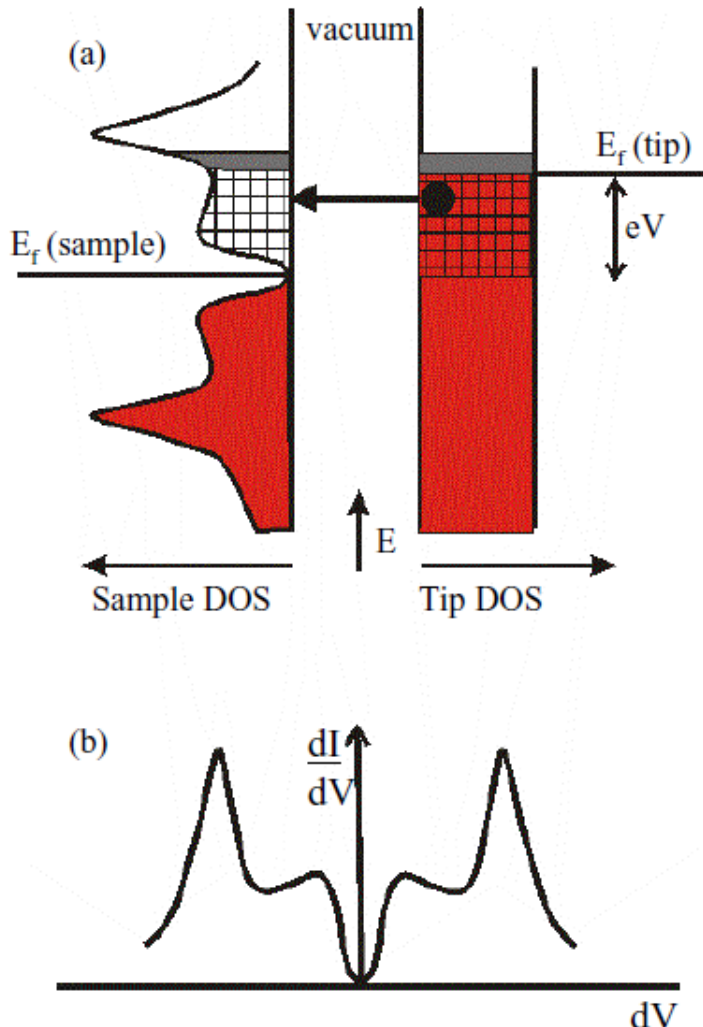
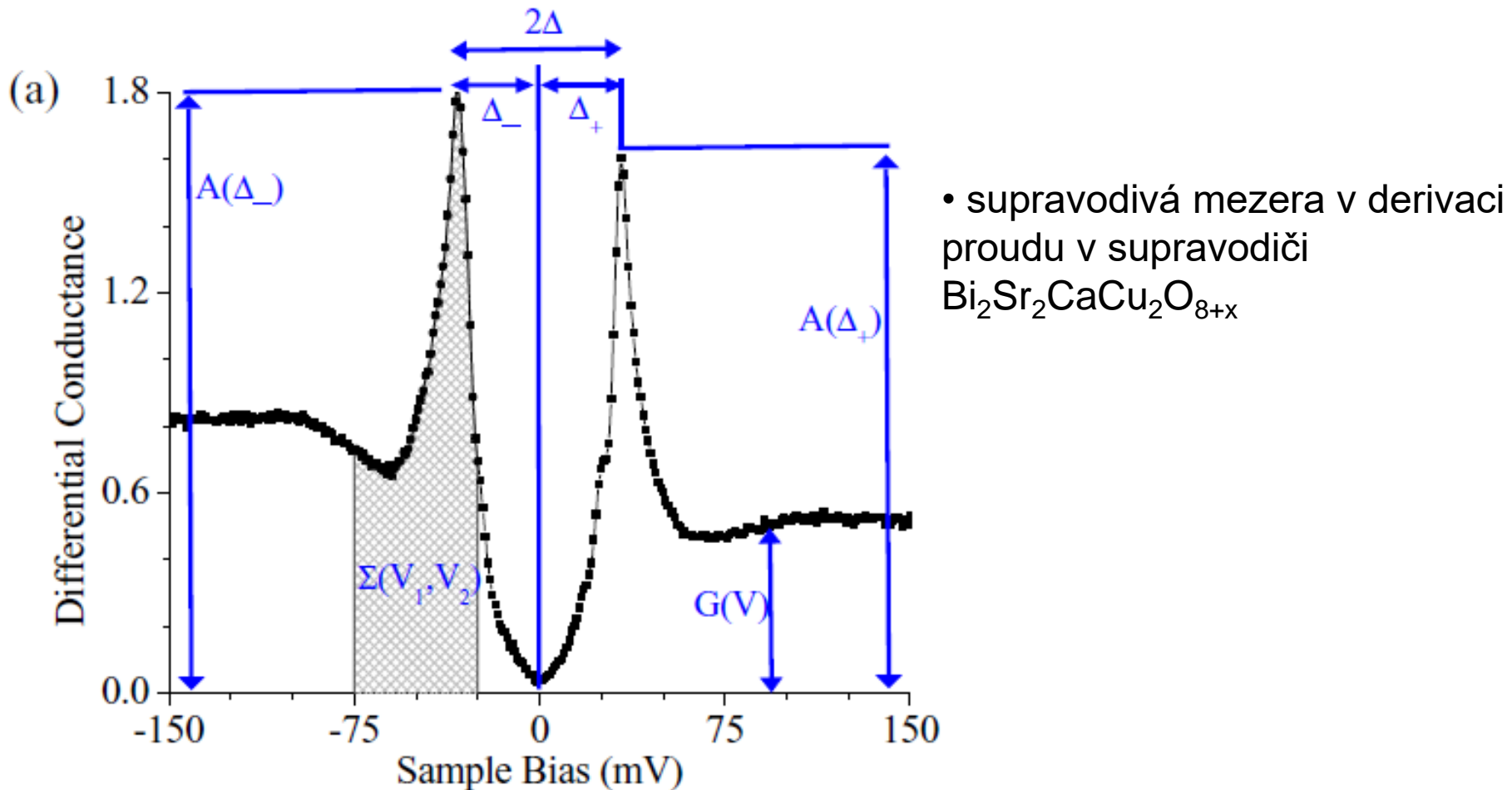


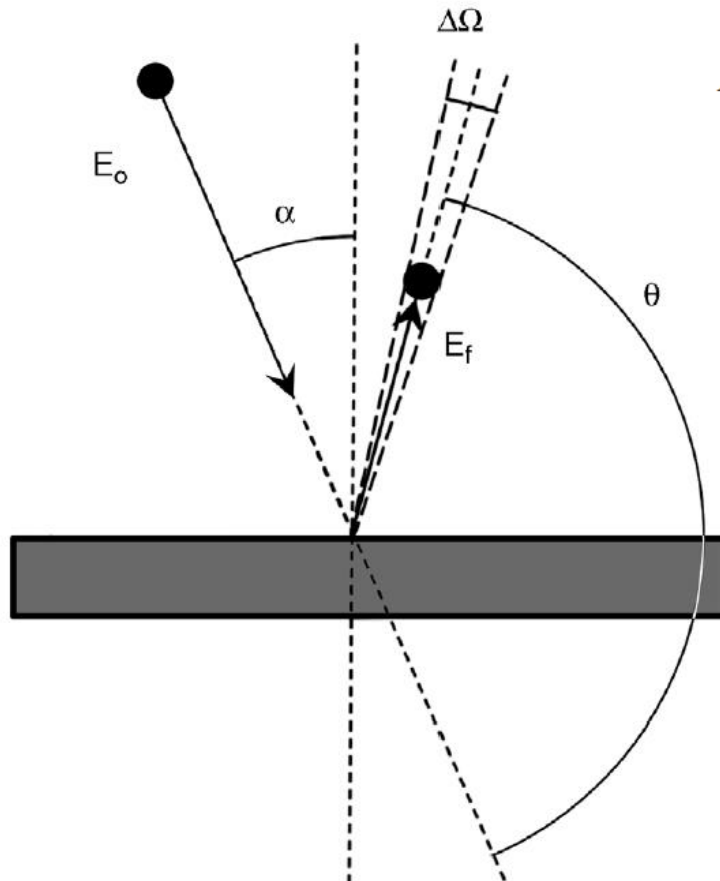
Figure 1.11: Technique for making a direct measurement of  $dI/dV$ .  
(a) Diagram indicating how to make a direct measurement of  $dI/dV$ . The black outlines indicate the density of states. Filled states are given in red. The total current which flows depends on the product of the hatched areas. When the bias is modulated by an amount given by the height of a gray shaded area, a modulated current signal is detected which is proportional to the product of the two gray shaded areas. Given knowledge of the magnitude of the bias modulation and the assumption that the tip LDOS is constant, the sample LDOS may then be determined from this measurement of the modulated current signal. (b) Shows the resulting plot of  $dI/dV$  vs.  $V$  which can be generated from such a direct measurement of differential conductance.

# STS - scanning tunneling spectroscopy



# LEIS – low energy ion scattering

Energie dopadajícího iontu  $E_0$   
ze zákona zachování energie a hybnosti je  
energie odraženého iontu



$$E_F \equiv kE_0 = \left\{ \left[ \cos \theta + \sqrt{(r^2 - \sin^2 \theta)} \right] \middle/ (1 + r) \right\}^2 E_0$$

$$r = m_2 / m_1$$

řešení této rovnice je jen pro

$$m_2 > m_1$$

**Figure 4.** Diagram of the ion scattering process. The scattering angle  $\theta$ , polar angle  $\alpha$ , and acceptance angle  $d\Omega$  are indicated, as well as the incident energy  $E_0$  and scattered energy  $E_f$

# LEIS – low energy ion scattering

- nízkoenergiová varianta RBS (Rutherford back scattering), pracuje s energiami 100eV-10 keV
- používá typicky ionty vzácných plynů He<sup>+</sup>, Ne<sup>+</sup>, Ar<sup>+</sup> and Kr<sup>+</sup>
- díky malé energii je citlivá jen na zcela první vrstvu atomů na povrchu
- energie zpětně odražených atomů určuje atomární složení vyjma H, He (studované atomy musí být těžší než použitá sonda)
- asymetrické ohony od linií určují i hloubkový profil (do 10nm)

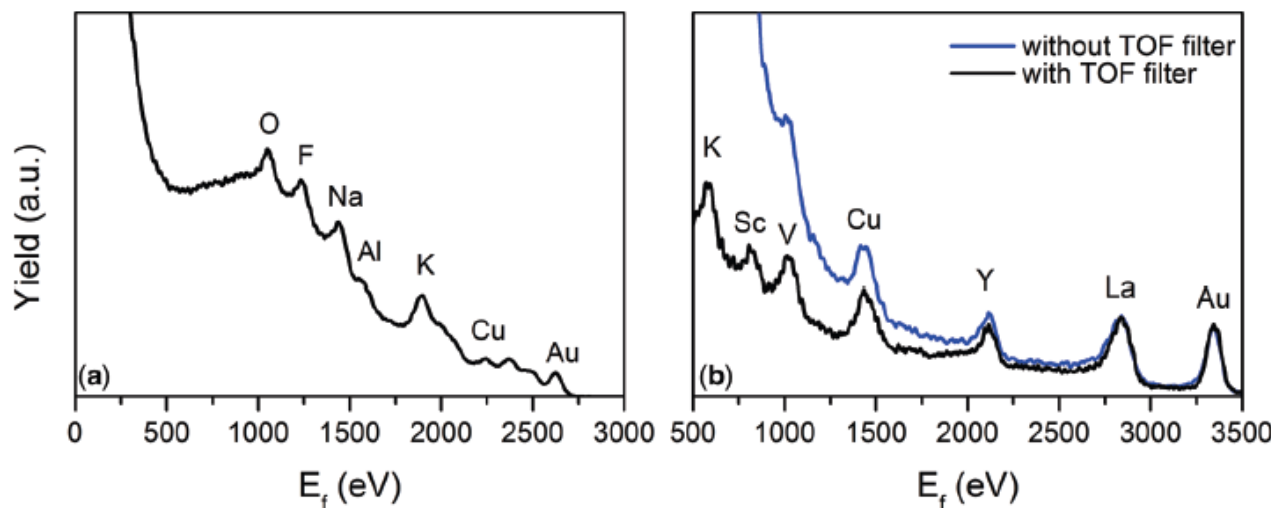
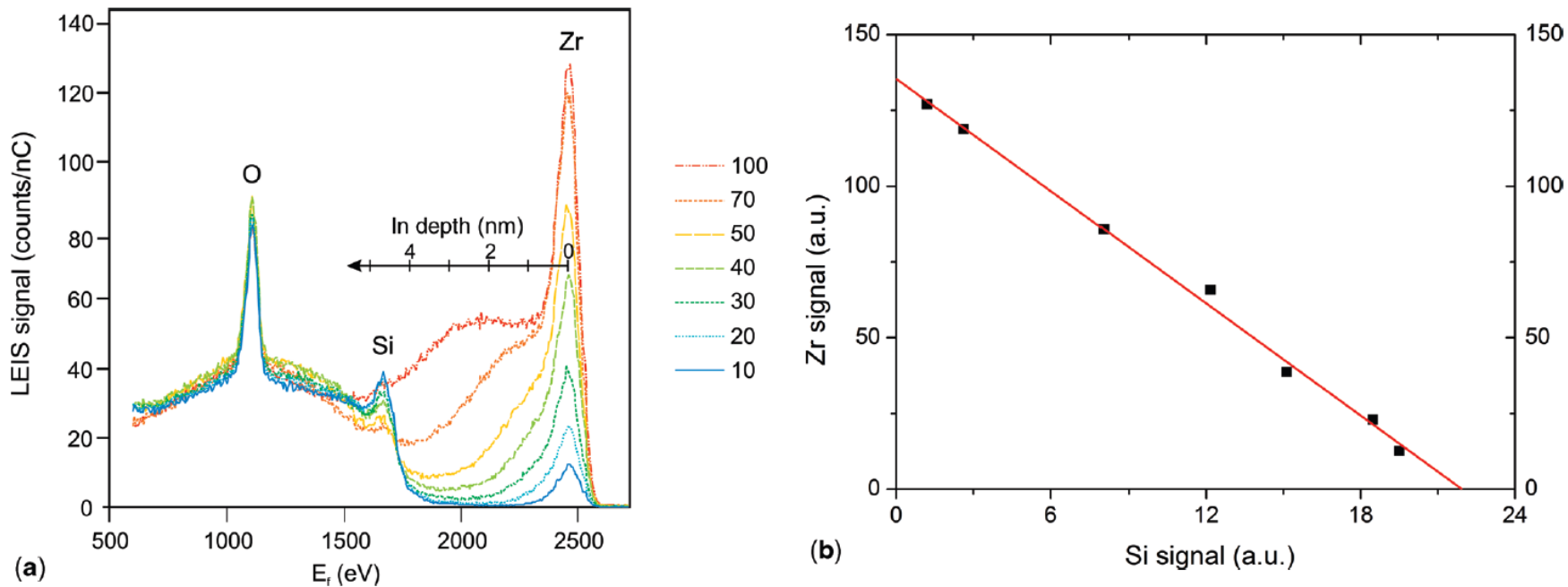


Figure 2. Energy spectra of (a) 3 keV  ${}^4\text{He}^+$  and (b) 5 keV  ${}^{20}\text{Ne}^+$  ions backscattered by a multicomponent sample. The scattering angle is 145°. The heavier  $\text{Ne}^+$  ions give a better mass separation, but cannot detect the lighter elements. The rising background at low energies is due to secondary (sputtered) ions. It can be reduced by time-of-flight filtering, thus enabling the detection and quantification of K, Sc, and V with  $\text{Ne}^+$  ions Reprinted from (Brongersma et al., 2010a), Copyright (2010), with permission from Elsevier.

# LEIS – low energy ion scattering

- asymetrické ohony od linií určují i hloubkový profil (do 10nm)



**Figure 3.** 3 keV  $\text{He}^+$  analysis of  $\text{ZrO}_2$  films grown by Atomic Layer Deposition (ALD) on a Si wafer (Puurunen et al., 2004). **(a)** In addition to the O and Zr surface peaks, an increasing tail is visible (2300–1700 eV) for the thicker layers. This is the depth profile of Zr. After 70 growth cycles, the pinholes (Si peak) in the layer are still visible. The organic contamination of the layers, as a result of transportation, has been removed with atomic oxygen. This treatment also oxidized the Si surface. **(b)** The Zr surface peak increases linearly with the  $\text{ZrO}_2$  coverage, while the Si peak decreases. This linear dependence (Equation 4) results from the unique monolayer sensitivity and the absence of matrix effects of LEIS.

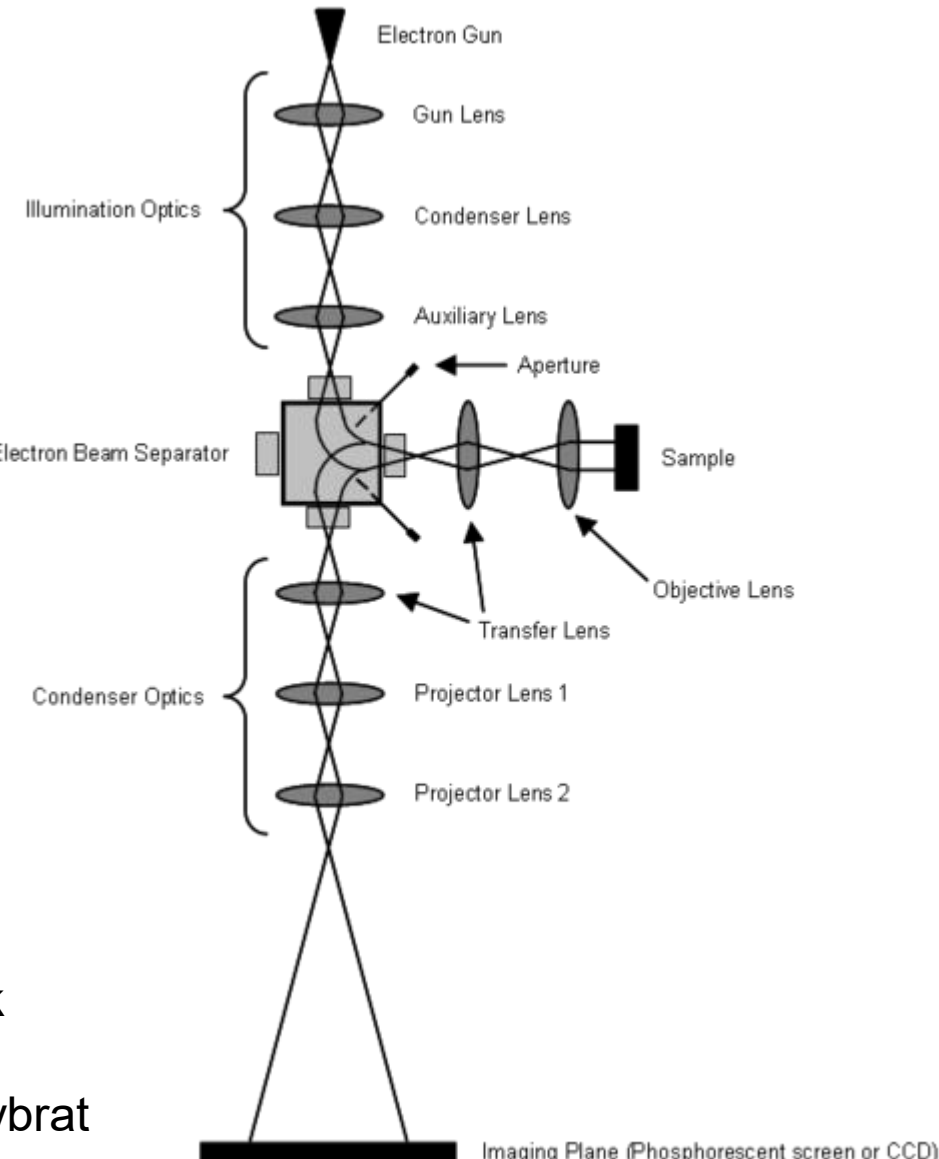
# LEEM – Low energy electron microscopy

- studium struktury povrchů
- vysoce energiové elektrony (15-20 keV) jsou zpomaleny na 1-100 eV a fokusovány na vzorek
- nízká energie lze měnit a tím měnit hloubku průniku do vzorku v řádu horní atomové vrstvy
- elasticky odražené elektrony jsou urychleny, prochází děličem svazků a dopadají na plošný detektor

vlnová délka elektronu

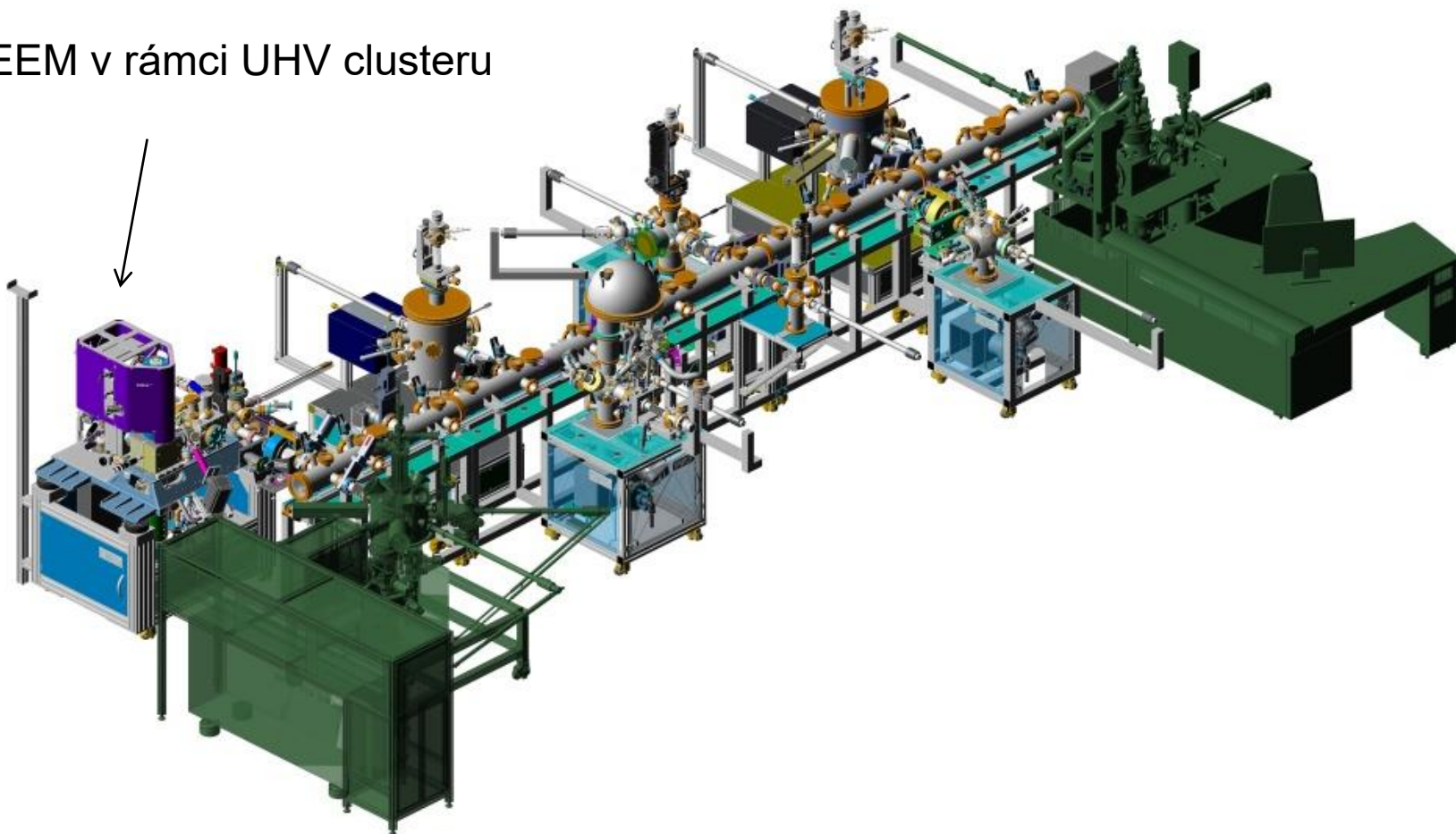
$$\lambda = \frac{h}{\sqrt{2mE}}; \quad \lambda[A] \approx \sqrt{\frac{150}{E[eV]}}$$

- LEEM umožňuje pozorovat jak difrakci, tak optické zobrazení povrchu
- Je možno tyto módy i kombinovat, např. vybrat si difrakční stopu a zobrazit z jaké části povrchu pochází



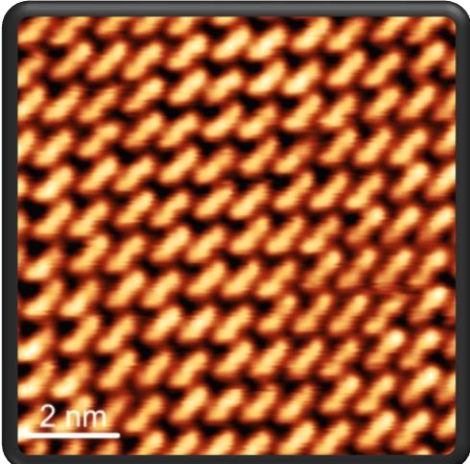
# LEEM na ceitecu

LEEM v rámci UHV clusteru

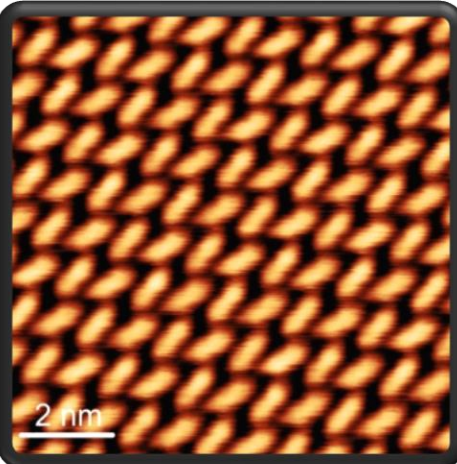


# BDA on Ag(100), STM

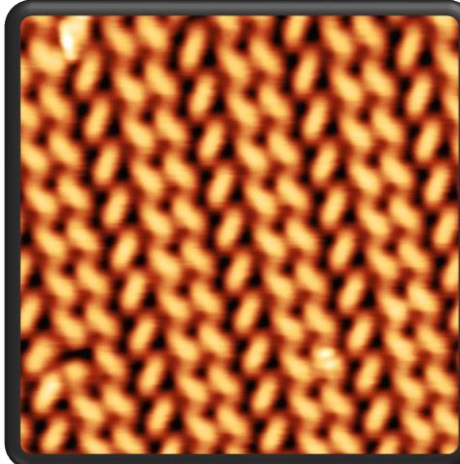
$\alpha$ -phase



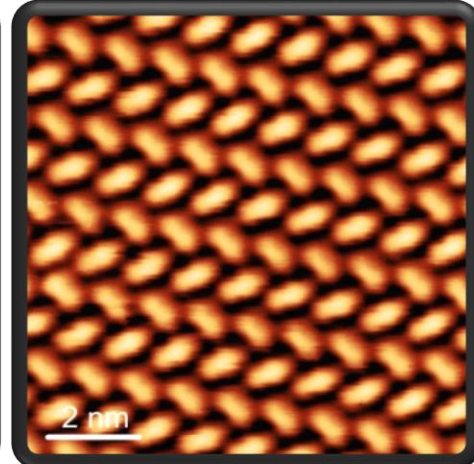
$\beta$ -phase



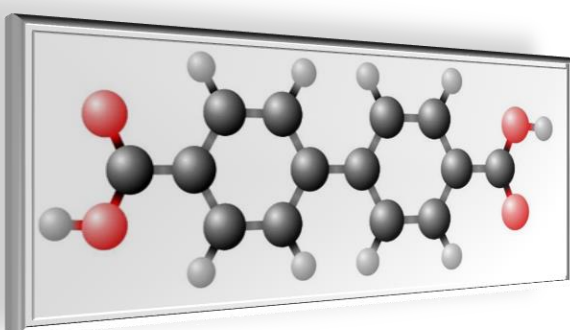
$\gamma$ -phase



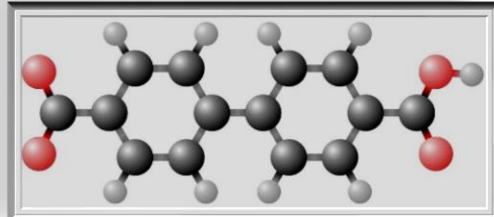
$\delta$ -phase



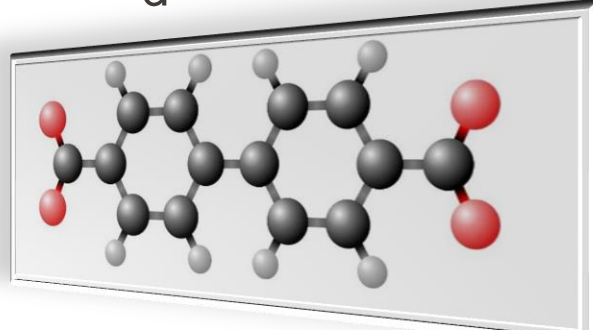
Protonated



Half-deprotonated



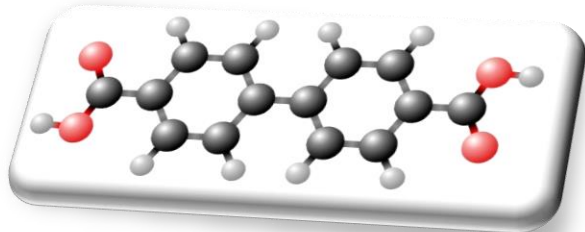
Deprotonated  
d



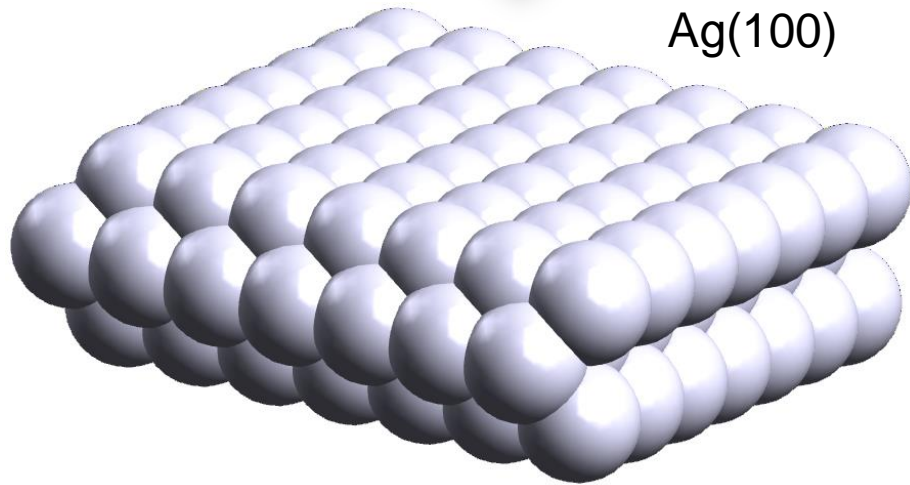
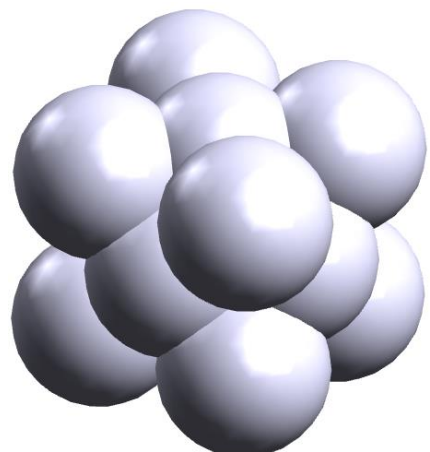
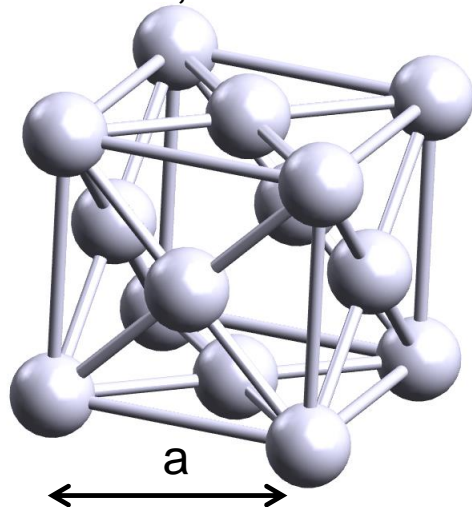
# BDA on Ag(100), real space

Prezentace P. Procházka, CEITEC VUT

Biphenyl Dicarboxylic Acid (BDA)  
BDA

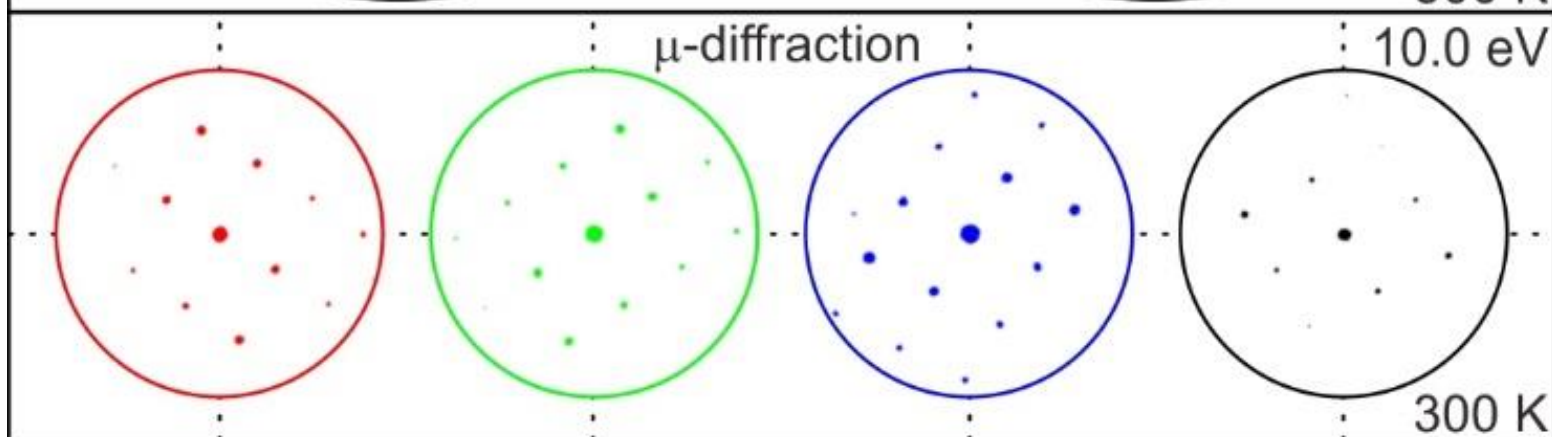
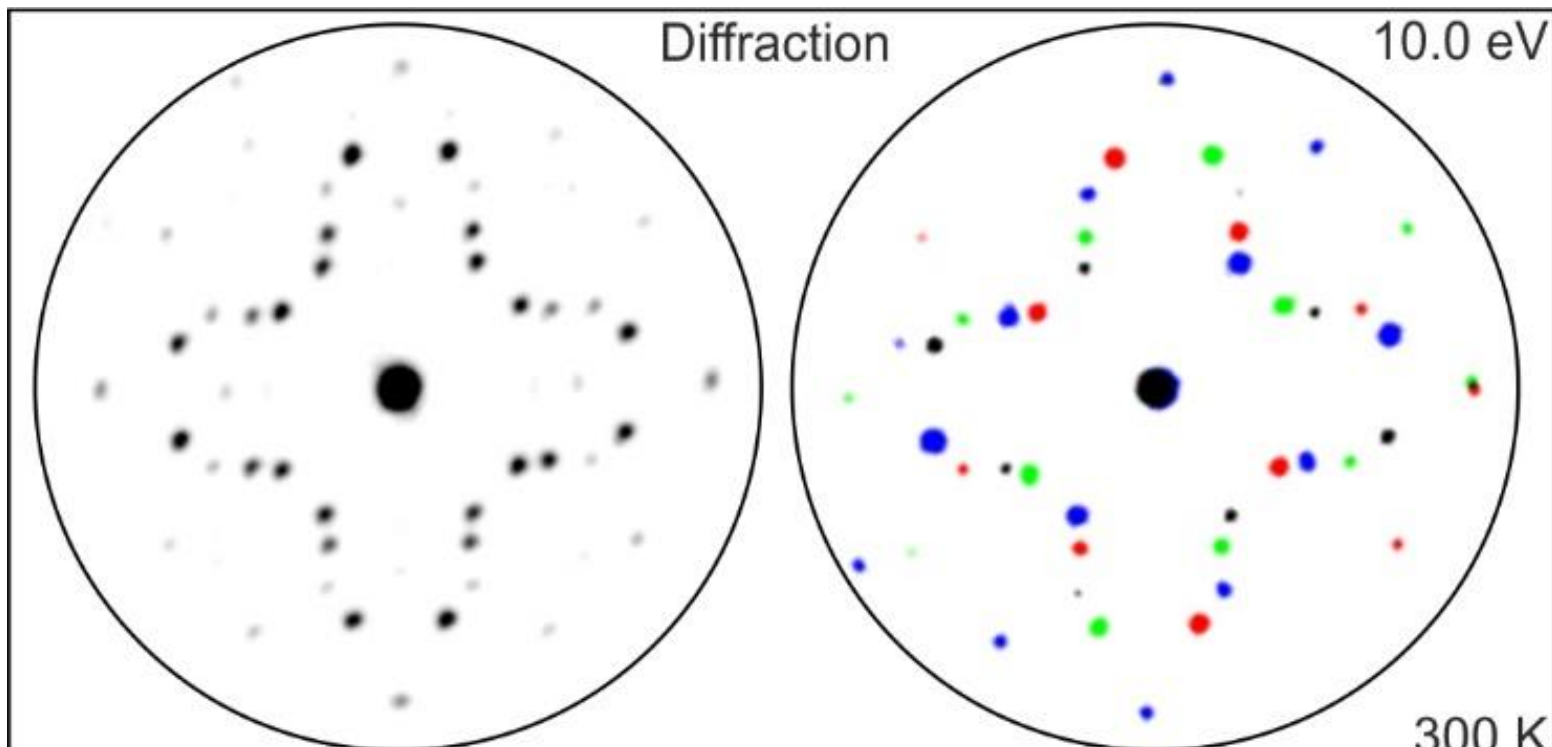


FCC,  $a = 4.085 \text{ \AA}$



Ag(100)

# BDA on Ag(100), $\mu$ -diffraction

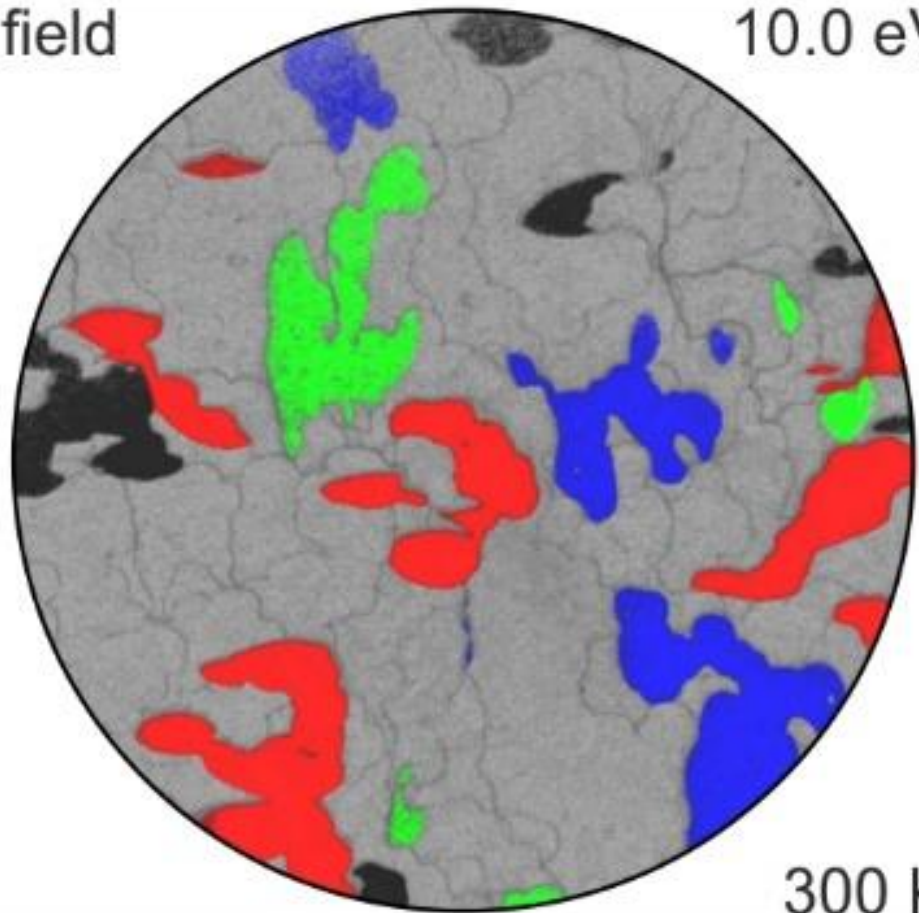
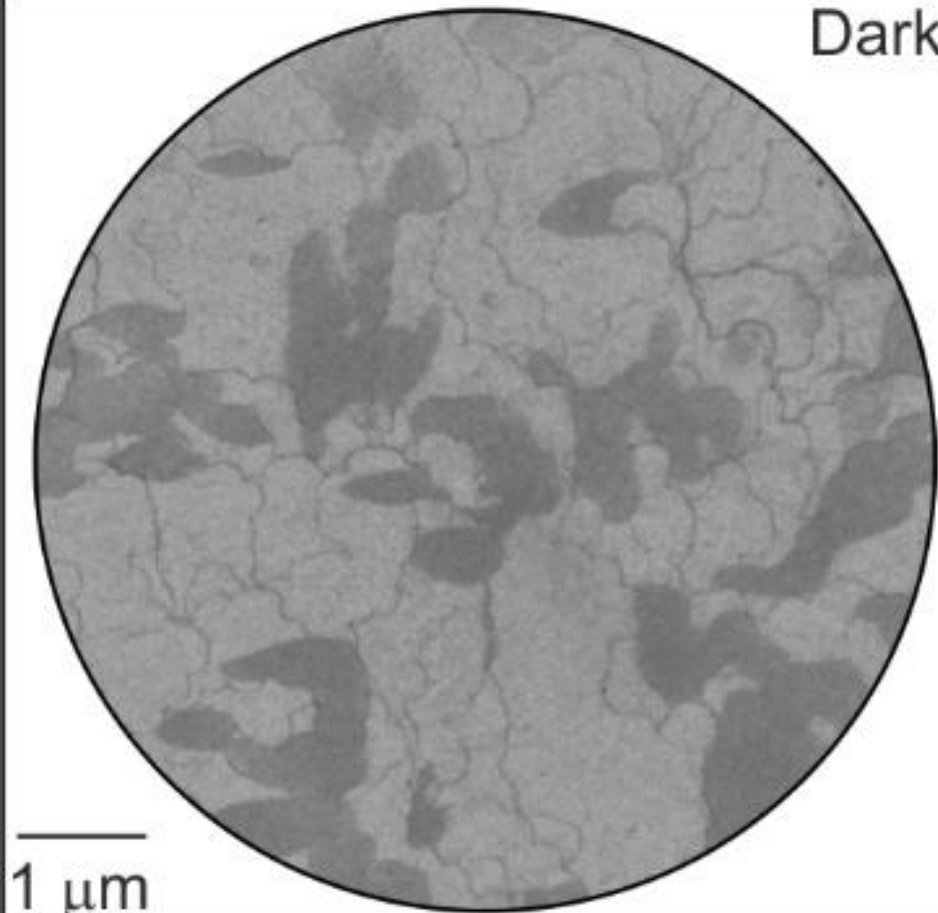


# BDA on Ag(100), dark field

$\beta$ -phase

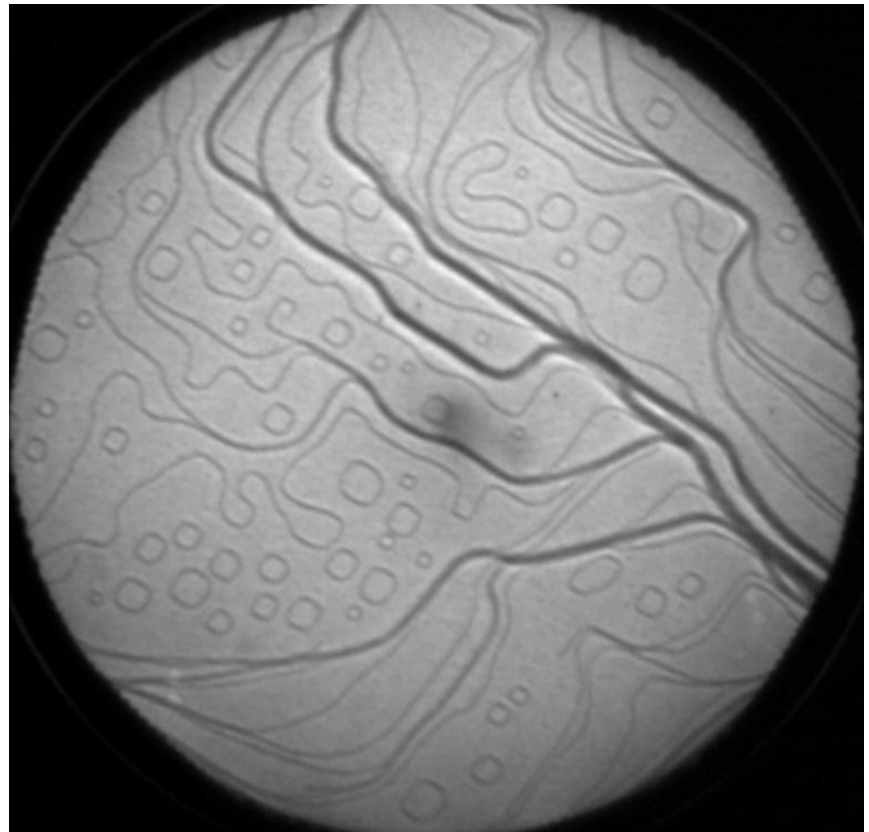
Dark field

10.0 eV

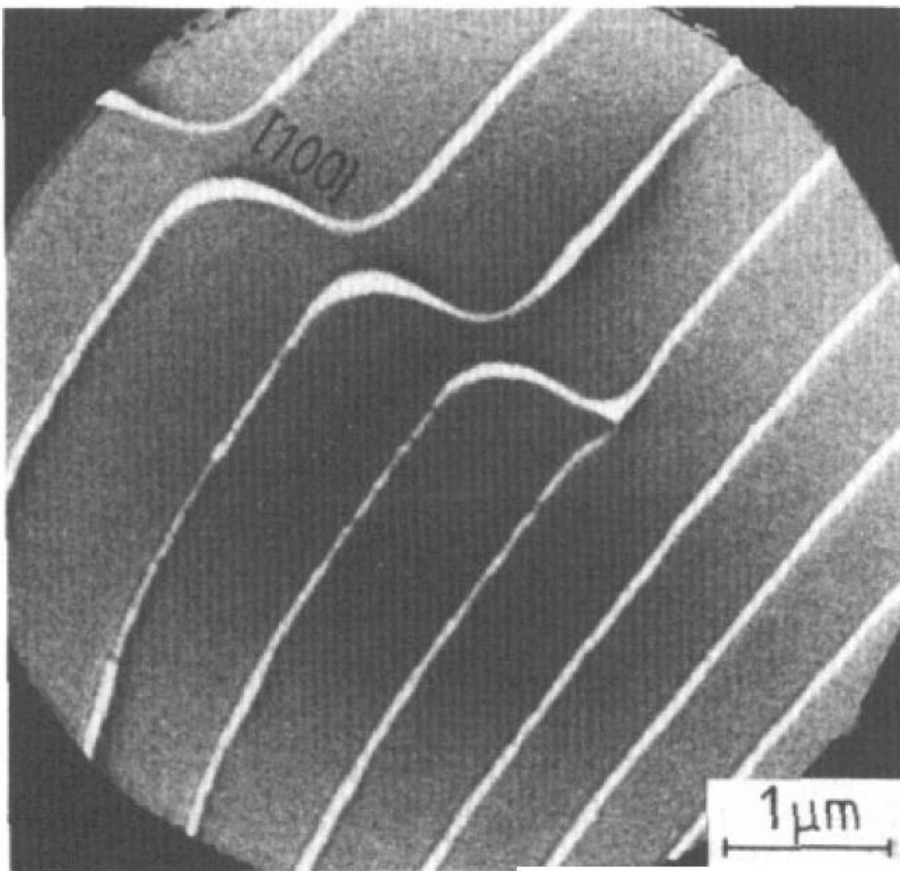


# LEEM – Low energy electron microscopy

- povrch Cr(100)
- viditelné atomové schodky
- velikost pohledu 5.6  $\mu\text{m}$ .



# LEEM – Low energy electron microscopy

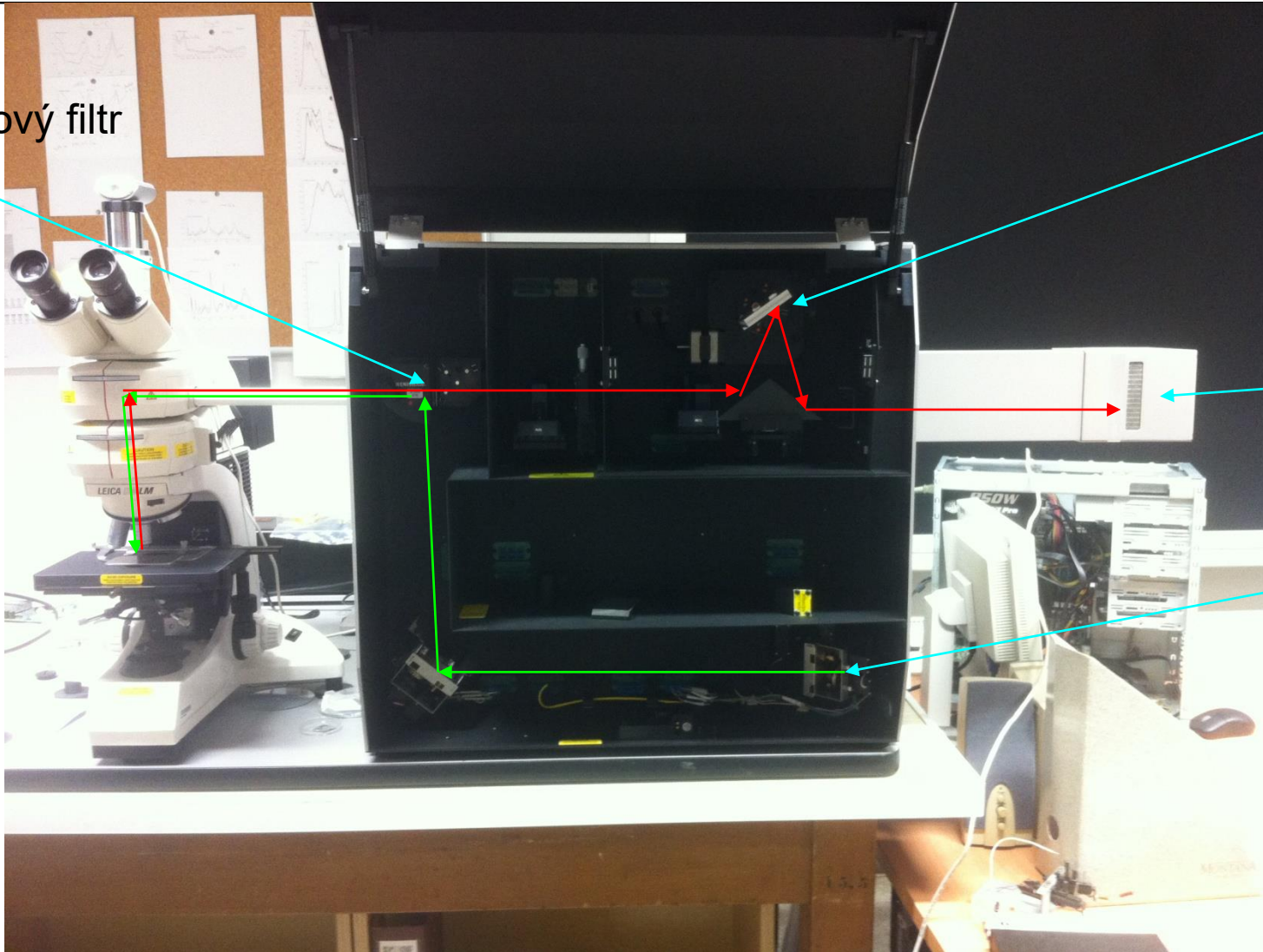


**Figure 16.** Partially annealed slip trace along [001] on a Mo(110) surface, ending at a screw dislocation. Cu decoration.  $E = 4 \text{ eV}$ .

# Ramanský spektrometr Renishaw na UFKL

Hranový filtr

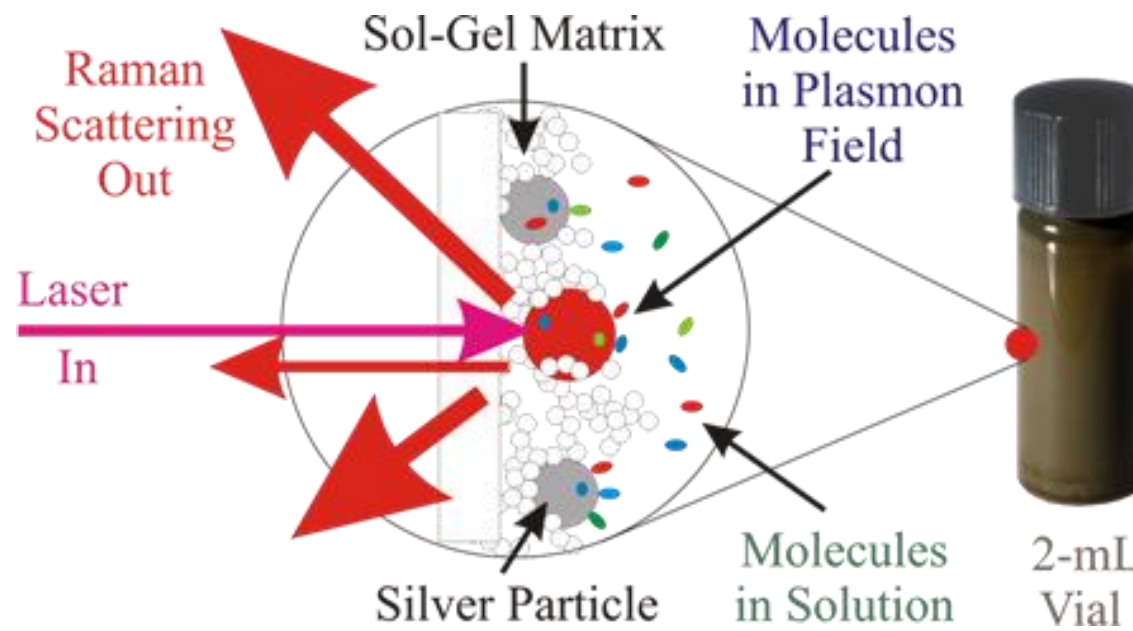
difrakční  
mřížka



- He-Ne laser - červený 632 nm
- zelený Ar laser (514 nm ?)
- Peltierem chlazené Si CCD

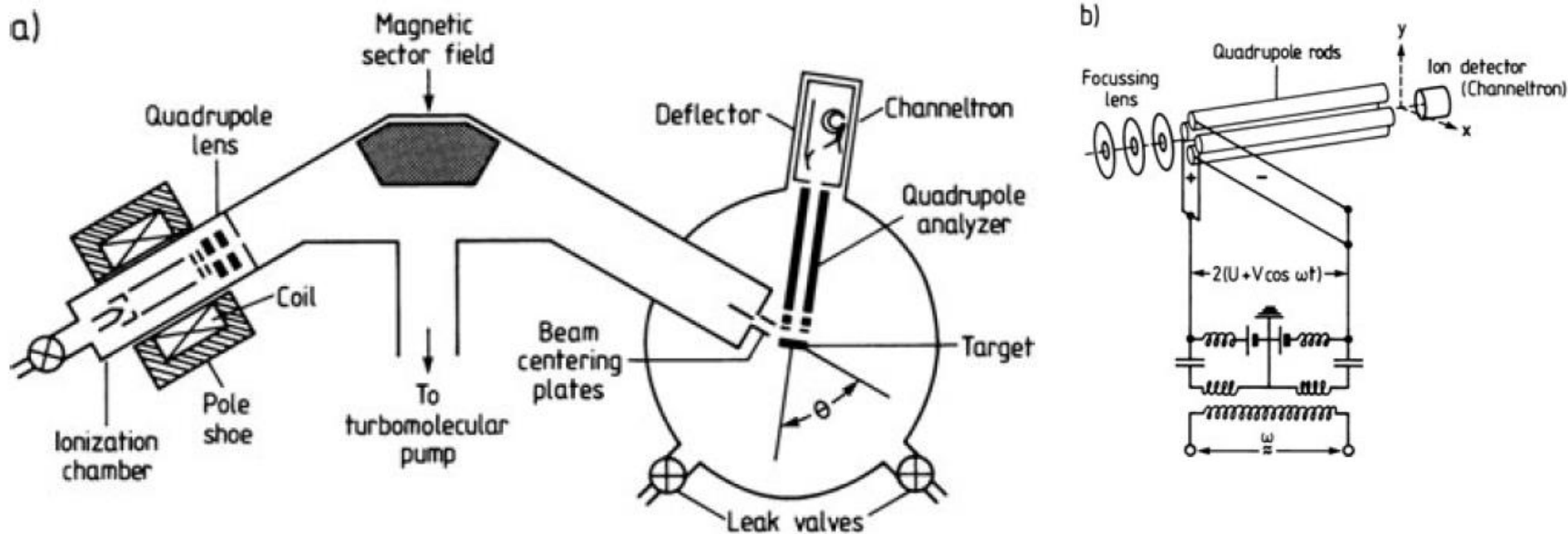
# SERS (surface enhanced Raman spectroscopy)

- Ramanský signál může být zesílen o mnoho řádů (až  $10^7$  i vyšší) když je detekovaný materiál v blízkosti strukturovaného kovového materiálu. Typicky se požívá buď drsná kovová podložka nebo nanokuličky (zlato, stříbro).
- Světlo vybudí v kovu povrchový plazmon který na rezonanční frekvenci řádově zesílí pole a tedy i ramanský signál.

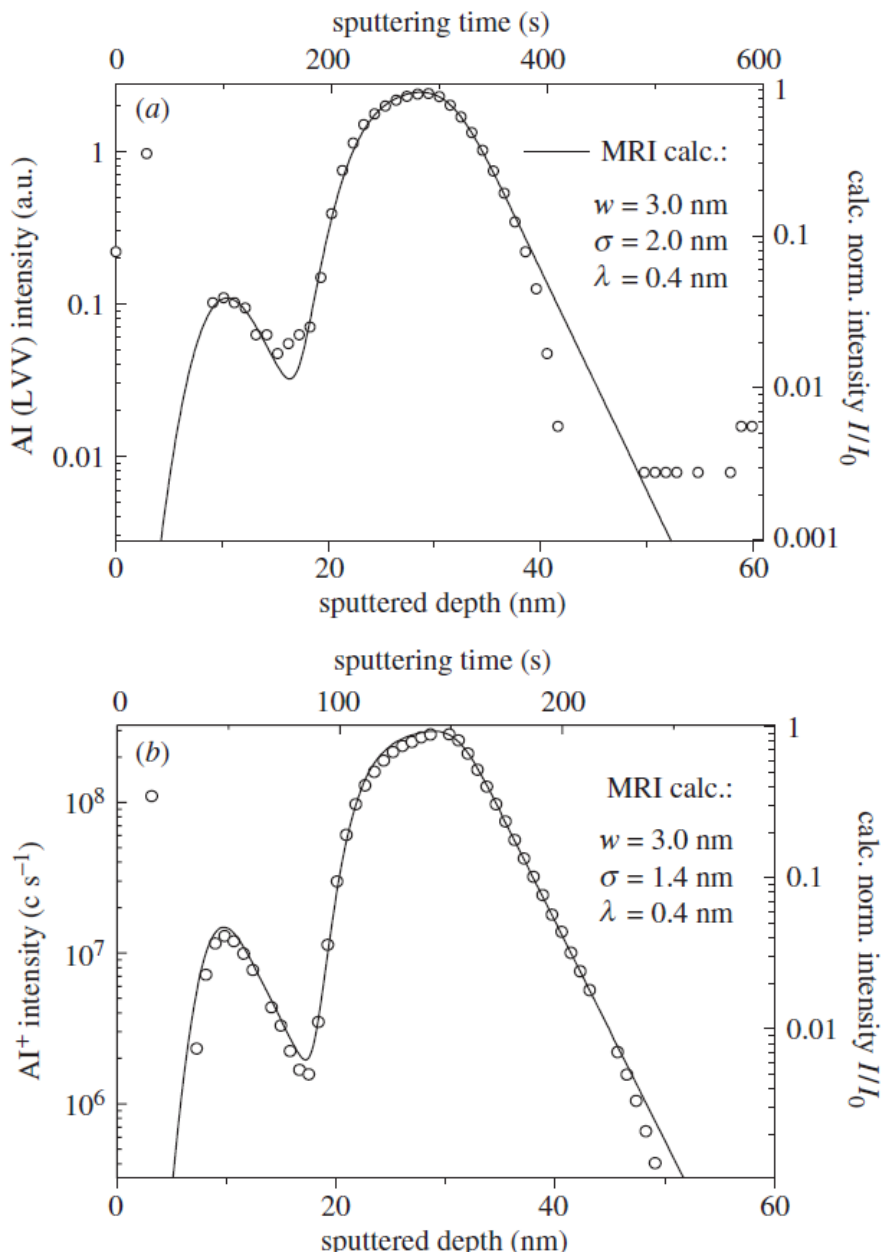


# SIMS – Hmotnostní spektroskopie sekundárních ionů

- odprašování vzorku a následná hmotnostní spektroskopie
- analýza složení látek, hloubkový profil
- velmi citlivá metoda, citlivost až 1 ppm i 1 ppb
- destruktivní metoda



**Fig. IV.1 a,b** Schematic view of the experimental set-up for Secondary Ion Mass Spectroscopy (SIMS). (a) General overview of the whole apparatus. The main components are: ion source consisting of ionization chamber and lens system, magnetic mass separator (sector field analyzer), sample contained in UHV chamber, quadrupole mass analyzer with channeltron as detector. (b) Components of a Quadrupole Mass Spectrometer (QMS)



AES – Auger electron spectroscopy - analýza odprášeného povrchu

SIMS – analýza odprášeného materiálu

Figure 2. (a) AES (Al(LVV) intensity) and (b) SIMS ( $\text{Al}^+$  intensity) depth profile of a double layer structure of AlAs (1 and 20 monolayers) in GaAs obtained with 3 keV  $\text{Ar}^+$  ions at (a)  $52^\circ$  and (b)  $58^\circ$  incidence angles (open circles), and fitted by MRI calculation (solid line) with the parameters shown in the figure. (Adapted from Hofmann *et al.* (2001).)

# **Spektroskopická elipsometrie**

# Kramersovy-Kronigovy relace

Integrální vztahy mezi reálnou a imaginární částí odeszové funkce.

Při znalosti jedné z částí v celém oboru frekvencí (0-nekonečno) lze dopočítat druhou část. Pro odvození viz Kittel.  
Předpokládá se pouze kauzalita.

Tyto vztahy lze také vyjádřit pro logaritmus odrazivosti a její fázi, resp. pro

$Z$  (experimentálně) změřené odrazivosti lze dopočítat fázi, a z nich pak komplexní dielektrickou funkci

$$\text{Im } \epsilon(\omega) = \frac{-2\omega}{\pi} P \int_0^\infty d\Omega \frac{\text{Re } \epsilon(\Omega) - 1}{\Omega^2 - \omega^2} + \frac{\sigma_{DC}}{\epsilon_0 \omega},$$

$$\text{Re } \epsilon(\omega) - 1 = \frac{2}{\pi} P \int_0^\infty d\Omega \frac{\Omega \text{Im } \epsilon(\Omega)}{\Omega^2 - \omega^2},$$

$$r = |r| e^{i\phi} \quad |r| = \sqrt{R}$$

$$\ln r(\omega) = \ln \sqrt{R(\omega)} + i\phi(\omega)$$

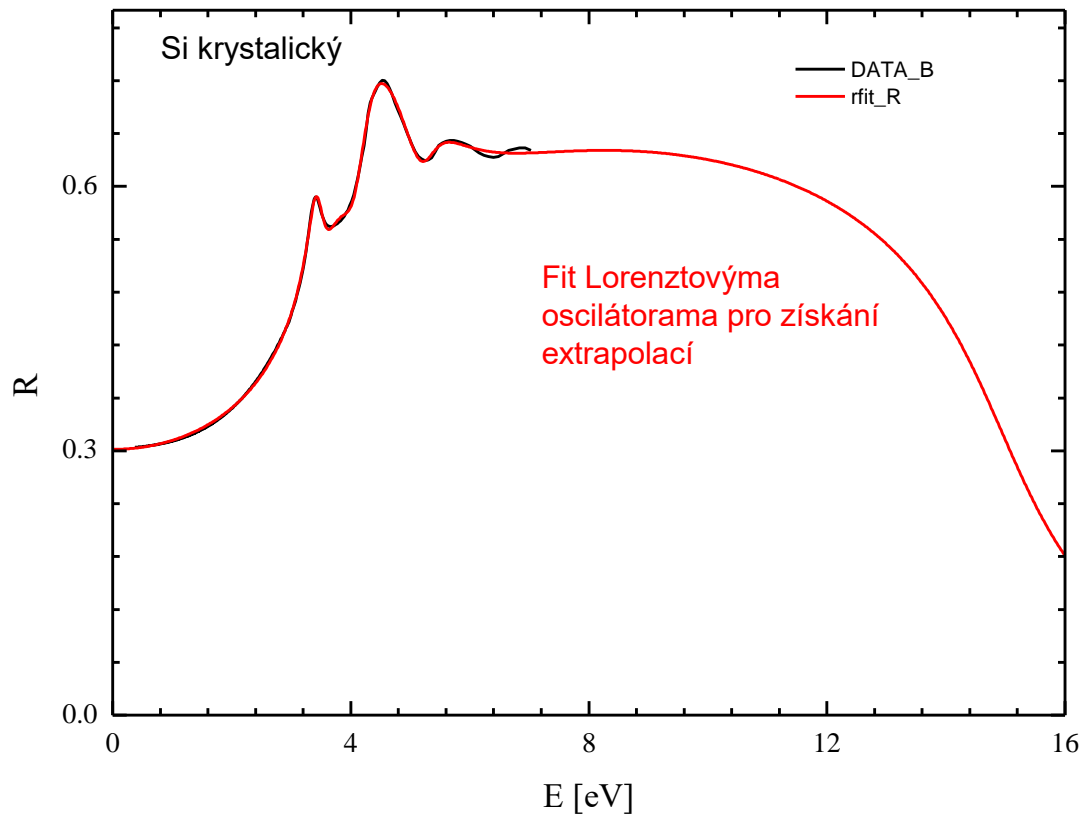
$$\phi(\omega) = -\frac{2\omega}{\pi} \int_0^\infty d\Omega \frac{\ln \sqrt{R(\Omega)} - \ln \sqrt{R(\omega)}}{\Omega^2 - \omega^2}$$

Odečtení pólu pro snadnou numerickou integraci

- $Z$  (experimentálně) změřené odrazivosti lze dopočítat fázi, a z nich pak komplexní dielektrickou funkci. Je nutno však použít extrapolaci nad a pod měřený rozsah. Typicky jsou založeny na Drude-Lorenzově modelu. Mohou (a typicky to dělají) však zanést systematické chyby do integrálu i v rámci měřeného rozsahu

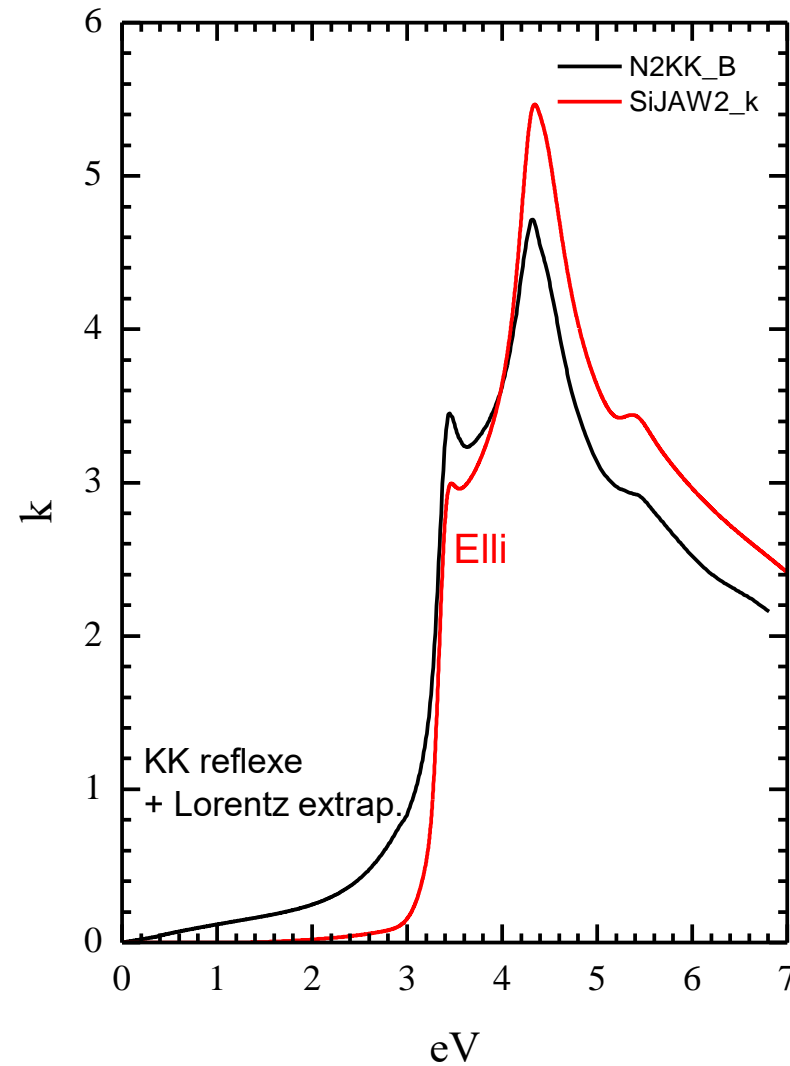
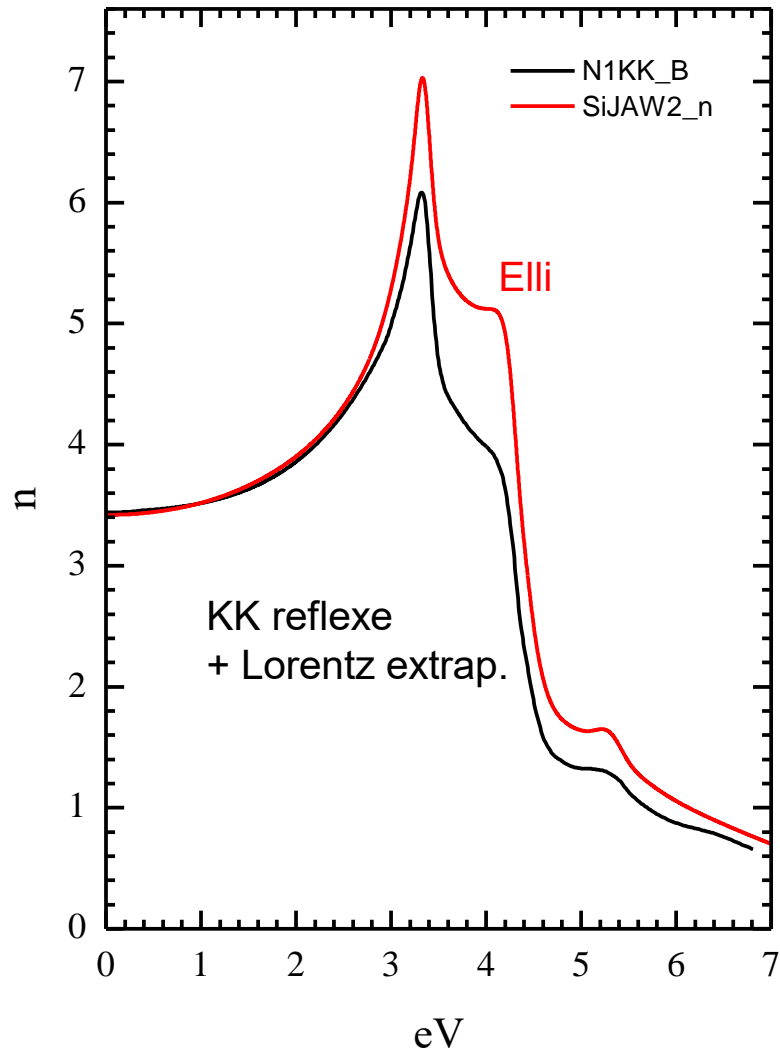
# Příklad aplikace Kramersových Kronigových relací na reflektivitu křemíku

Extrapolace do nižších a vyšších energií získáme pomocí fitu Lorenzovýma oscilátorama (červená)

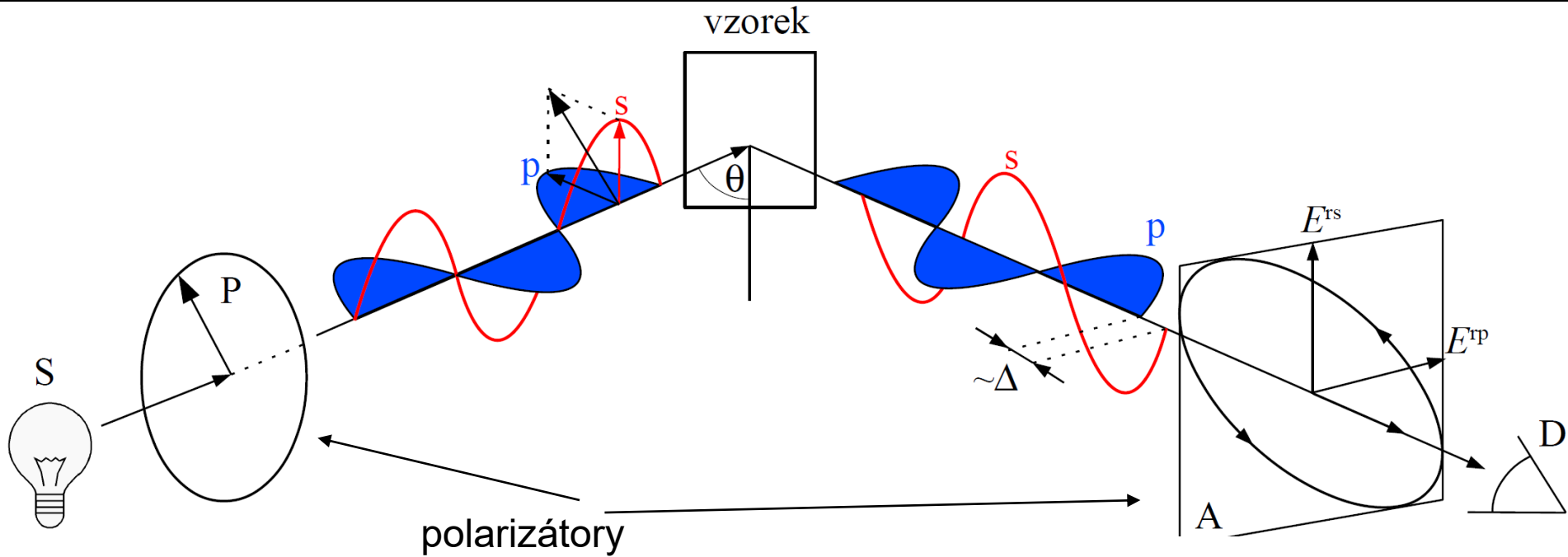


- Drude-Lorentzův model je KK konzistentní (je odvozený z pohybových rovnic).
- Proto fitování Drude-Lorentzovým modelem je v podstatě aplikace KK relací.
- Při limitně velkém počtu oscilátorů (na každý frekvenční bod jeden oscilátor) je to přesná aplikace KK relací (tzv. variational-dielectric function), viz. A. B. Kuzmenko, Rev. Sci. Instr. **76**, 083108 (2005).

- srovnání optických konstant ( $n$  a  $\kappa$ ) získaných z KK odrazivosti a z elipsometrie
- rozdíly jsou způsobené absencí přesné informace o odrazivosti na vyšších energiích
- přesné optické konstanty bez použití extrapolací získáme z elipsometrie



# Princip elipsometrie



- Elipsometrie je de facto interferenční experiment s komponentou elektrického pole rovnoběžnou (p) a kolmou (s) k rovině dopadu.

## Měřené veličiny v elipsometrii:

- úhel pootočení elipsy  $\Psi$
- ellipticita  $\Delta$

=>

n,k nebo  $\epsilon_1, \epsilon_2$   
bez dalších předpokladů

## základní rovnice elipsometrie

Fresnelovy koeficienty:

$$r_p = \frac{N_b \cos \theta_a - N_a \cos \theta_b}{N_a \cos \theta_b + N_b \cos \theta_a} \quad r_s = \frac{N_a \cos \theta_a - N_b \cos \theta_b}{N_a \cos \theta_a + N_b \cos \theta_b}$$

kde index lomu okolí je  $N_a = \sqrt{\varepsilon_a}$  a index lomu vzorku  $N_b = \sqrt{\varepsilon_b}$

Definice elipsometrických úhlů  $\Psi$  a  $\Delta$ :

$$\rho = \frac{r_p}{r_s} = \tan \psi e^{i\Delta}$$

Snellův zákon:

$$N_a \sin \theta_a = N_b \sin \theta_b$$

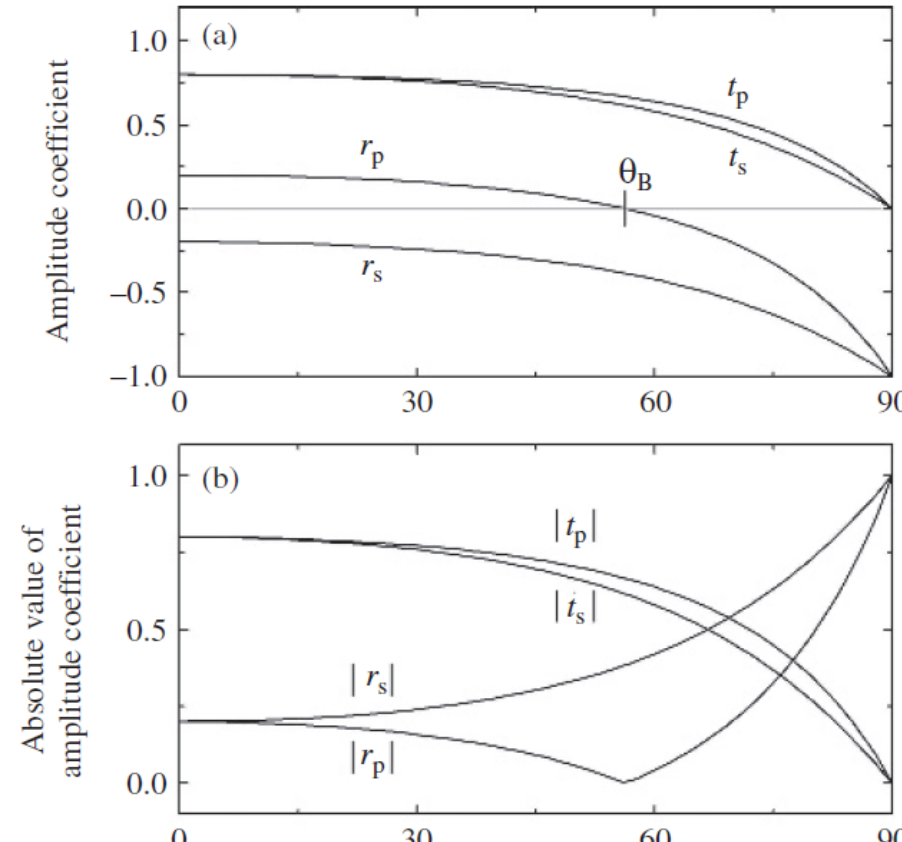
Inverzí výše uvedených rovnic obdržíme v případě polo-nekonečného izotropního vzorku explicitní analytický výraz pro dielektrickou funkci (jak její reálnou tak i imaginární část):

$$\varepsilon_b = \varepsilon_{b1} + i\varepsilon_{b2} = \varepsilon_a \sin^2 \theta_a \left( 1 + \tan^2 \theta_a \left( \frac{1 - \rho(\psi, \Delta)}{1 + \rho(\psi, \Delta)} \right)^2 \right)$$

shrnutu: ze dvou měřených veličin  $\Psi$  a  $\Delta$  určíme dvě veličiny  $\varepsilon_{b1}$  a  $\varepsilon_{b2}$

# Brewsterův úhel a citlivost elipsometrie

rozhraní vzduch – sklo



zdroj Fujiwara

- U materiálů s vysokým indexem lomu je třeba jít k velkým úhlům dopadu, např. kovové materiály zvlášť v infračervené oblasti (80 až 85 st.), což zvyšuje nároky na kvalitu (rovnoběžnost) svazku.
- Při velké divergenci svazku je možno numericky sčítat přes různé úhly dopadu a tak ji korigovat, přirozeně je třeba se snažit tyto efekty mít malé jak jen to jde.

$$\rho = \frac{r_p}{r_s} = \tan \Psi e^{i\Delta}$$

Elipsometrie měří poměr mezi  $r_p$  a  $r_s$ , které se nejvíce liší blízko tzv. Brewsterova úhlu

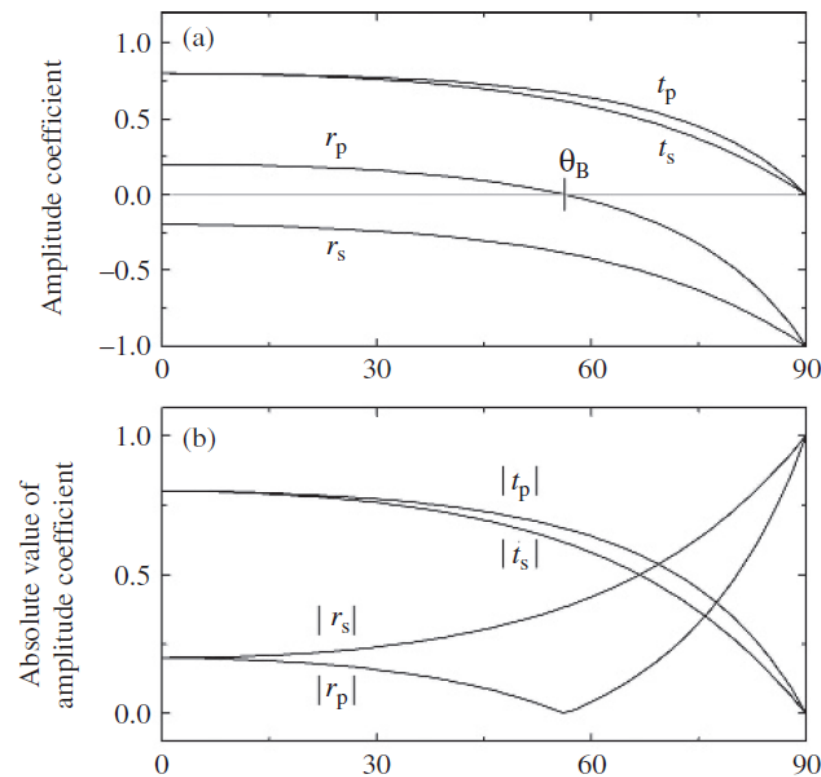
$$\operatorname{tg} \theta_B = N_2$$

Jelikož přesně na Brewsterově úhlu v případě izolátorů je  $\Psi=0$ , je ideální měřit na úhlů dopadu pod, nebo/a nad ním.

# Zvykáme si na $\Psi$ a $\Delta$

$$\rho = \frac{r_p}{r_s} = \tan \Psi e^{i\Delta}$$

rozhraní vzduch – sklo



zdroj: Fujiwara

## Vlastnosti $\Psi$ :

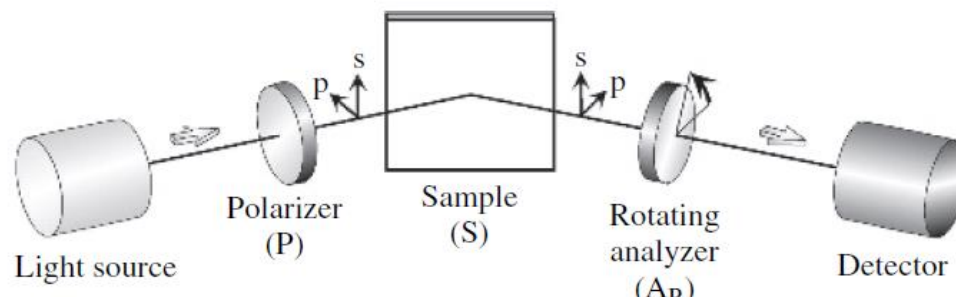
- $\Psi$  je mírou pootočení roviny polarizace po odrazu. Při polarizátoru  $P=45^\circ$  je hodnota  $\Psi$  přímo výsledný úhel polarizace od s složky.
- na Brewsterově úhlu je  $\Psi = 0$ . V tomto bodě není elipsometrie citlivá, je lepší měřit v blízkosti nad a pod Brewsterovým úhlem.
- objemové izotropní materiály mají  $\Psi$  mezi 0 a  $45^\circ$ .
- $\Psi$  blízko  $45^\circ$  mají materiály s velkou odrazivostí pod Brewsterovým úhlem, typicky kovy
- hodnoty nad  $45^\circ$  se objevují na vrstvách případně na anizotropních objemových vzorcích

## Vlastnosti $\Delta$ :

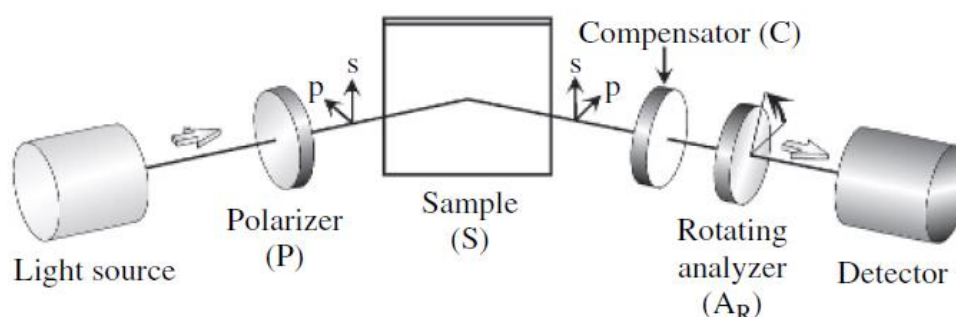
- na izolujících materiálech je  $\Delta=0$  (nad Brewsterovým úhlem) nebo  $180^\circ$  (pod Brewsterovým úhlem)

# Elipsometrické konfigurace

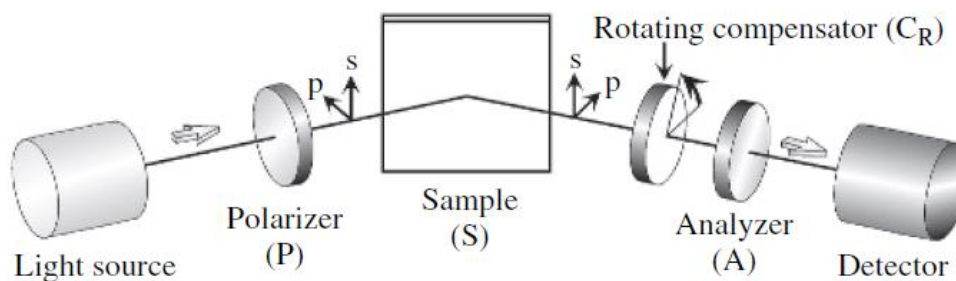
(a) Rotating-analyzer ellipsometry (PSA<sub>R</sub>)



(b) Rotating-analyzer ellipsometry with compensator (PSCA<sub>R</sub>)



(c) Rotating-compensator ellipsometry (PSC<sub>R</sub>A)



- rotační analyzátor (polarizátor)

- rotační analyzátor (polarizátor) s fixním kompenzátorem

- rotační kompenzátor

zdroj: Fugiwara

## Princip elipsometrie s rotačním analyzátorem (PSA)

Jak experimentálně určit  $\Psi$  a  $\Delta$ ?

Pro určitou pozici prvního polarizátoru (zkráceně polarizátoru) měříme závislost intenzity na pozici A druhého polarizátoru (analyzátoru). Závislost je harmonická funkce s periodou 180 stupňů:

$$I^{\text{exp}} = I_0^{\text{exp}}(1 + \alpha \cos(2A) + \beta \sin(2A))$$

Lze ukázat, že propagace elektrického pole konfigurací PSA dává na detektoru

$$E_A = E_0 r_s (\cos P \cos A \tan \Psi e^{i\Delta} + \sin P \sin A)$$

Kde P je úhel polarizátoru. Jelikož pouze inzenzita záření je měřena, dostáváme

$$\begin{aligned} I &= |E_A|^2 = I_0 [1 - \cos(2P) \cos(2\Psi) + \\ &+ (\cos(2P) - \cos(2\Psi)) \cos(2A) + \sin(2P) \sin(2\Psi) \cos \Delta \sin(2A)] \end{aligned}$$

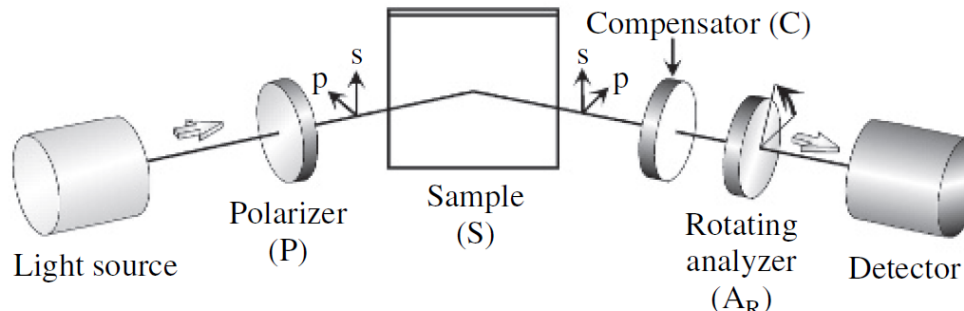
Vyřešením rovnosti  $I^{\text{exp}}=I$ , dostáváme

$$\tan \Psi = \sqrt{\frac{1+\alpha}{1-\alpha}} |\tan P| \quad \cos \Delta = \frac{\beta}{\sqrt{1-\alpha^2}} \operatorname{sgn} P$$

Z elipsometrie s rotačním analyzátorem (polaryzátorem) určíme  $\tan \Psi$ , tedy  $\Psi$  v celém intervalu, ale „pouze“  $\cos \Delta$ , tedy  $\Delta$  pouze v intervalu 0-180° s tím, že v polohách blízko 0 a 180° je citlivost na  $\Delta$  limitně malá.

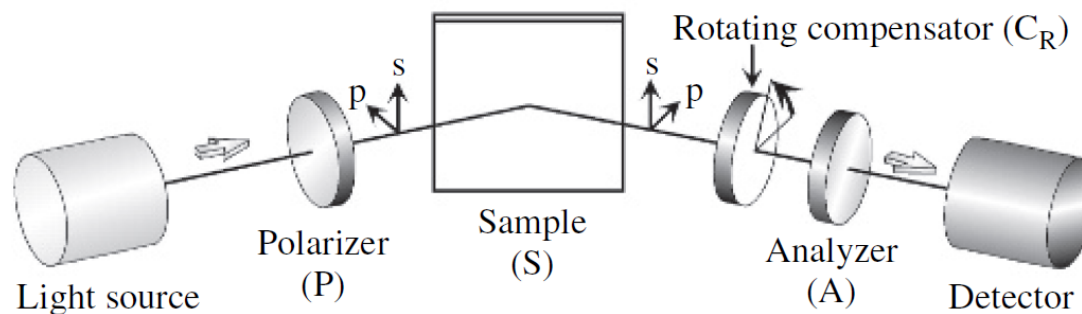
# Elipsometr s kompenzátorem (čtvrt-vlnovou destičkou)

(b) Rotating-analyzer ellipsometry with compensator (PSC<sub>A</sub>R)



- Fixní kompenzátor umožňuje posunout hodnotu  $\Delta$  ze slabých míst - 0 nebo  $180^\circ$ . Toto je užitečné při měření izolátorů nebo naopak kovů, kde  $\Delta$  je blízko 0 nebo  $180^\circ$ .  $\Delta$  kompenzátoru se jednoduše od naměřených dat odečte. Slabá místa se ovšem pouze přesunou do jiných hodnot  $\Delta$ .

(c) Rotating-compensator ellipsometry (PSC<sub>R</sub>A)

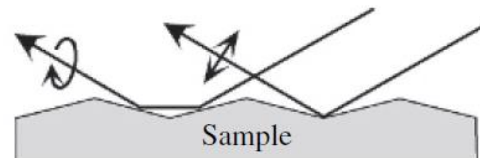


- Ideální metoda měření je ovšem v situaci, kdy můžeme naměřit několik spekter s různou hodnotou retardace, která eliminuje slabá místa úplně. Jedná se o tzv. elipsometrii s rotačním (proměnným) kompenzátorem. Touto metodou lze získat hodnotu  $\Delta$  v celém rozsahu 0- $360^\circ$  s vysokou přesností. Navíc je možno určit stupeň depolarizace světla odraženého od vzorku.

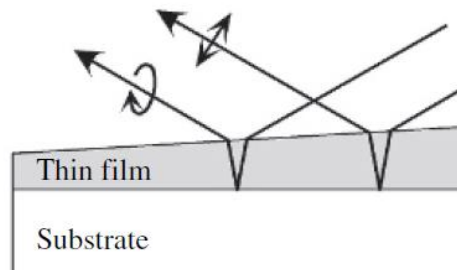
# Depolarizace

- Pouze s polarizátorem stupeň depolarizace nelze určit. Např. úplně depolarizované světlo nelze odlišit od kruhově polarizovaného. Čtvrtvlnová destička převede kruhově polarizované světlo na lineárně polarizované. Tuto změnu již detekuje rotujícím polarizátorem. Depolarizované světlo po průchodu kompenzátorem bude opět depolarizované.
- Depolarizace vzniká nekoherentním interferencí vln. Např. nehomogenní vrstva generuje depolarizaci, případně odrazy na příliš tlusté vrstvě (substrátu). Depolarizaci lze v principu zahrnout do modelu pomocí Stokesových vektorů a Mullerových matic a tyto jevy kvantifikovat.

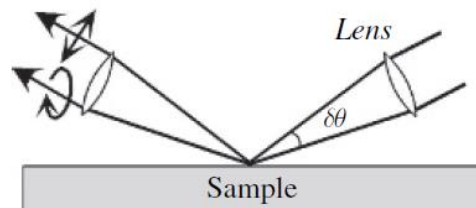
(a) Surface scattering



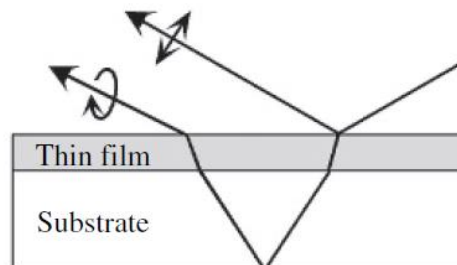
(d) Thickness inhomogeneity



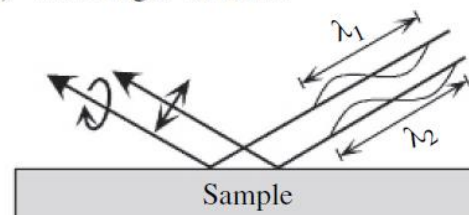
(b) Incidence angle variation



(e) Backside reflection



(c) Wavelength variation



# Equilibrium ellipsometry at CEITEC Nano

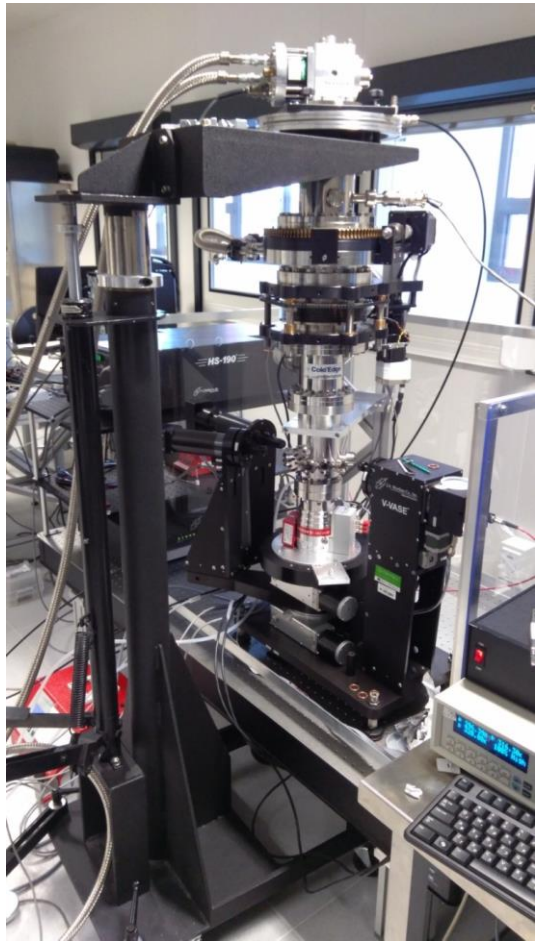


+ MUNI  
SCI

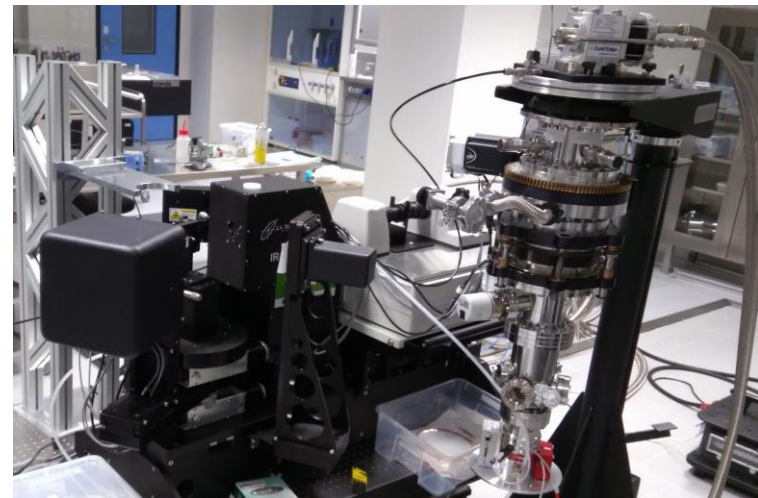


in CZECH  
NANO  
LAB.

Woollam VASE, NIR-UV range  
He closed-cycle cryostat 7-400 K



Woollam IR-VASE, mid infrared range



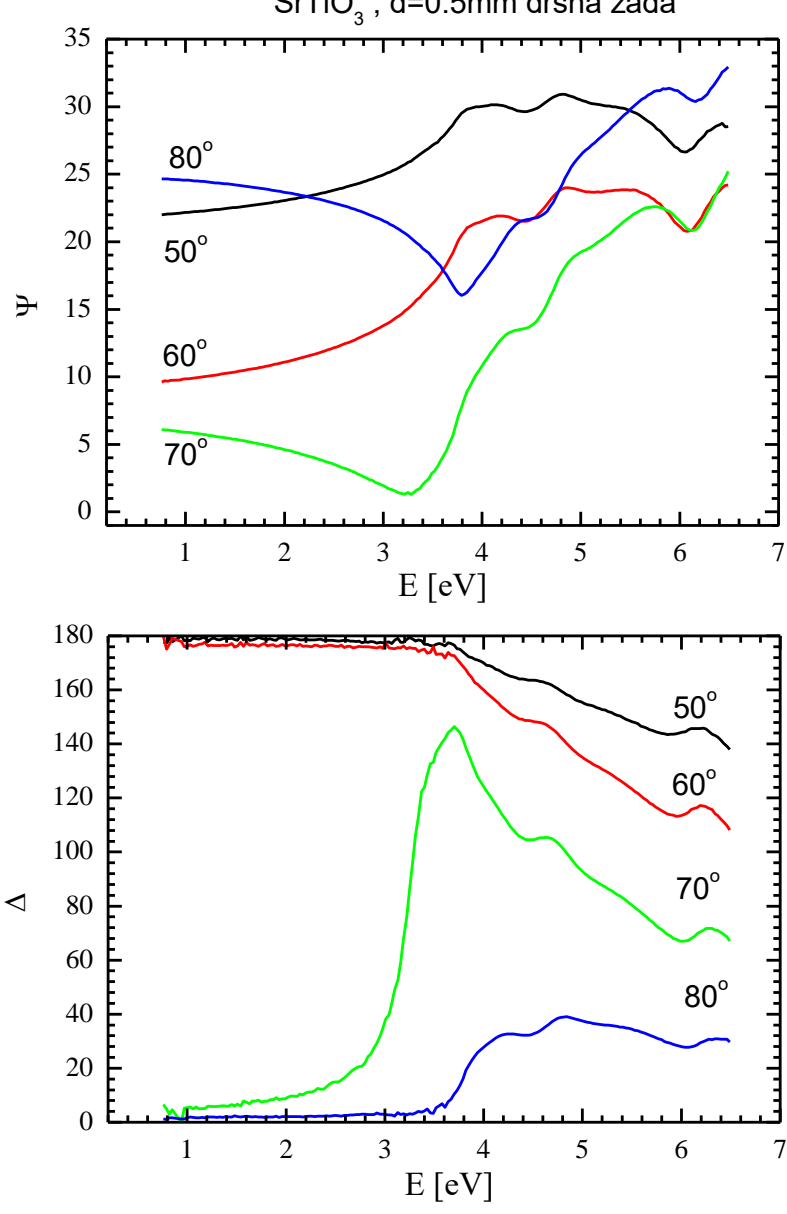
far-infrared (50-700 cm<sup>-1</sup>) ellipsometer



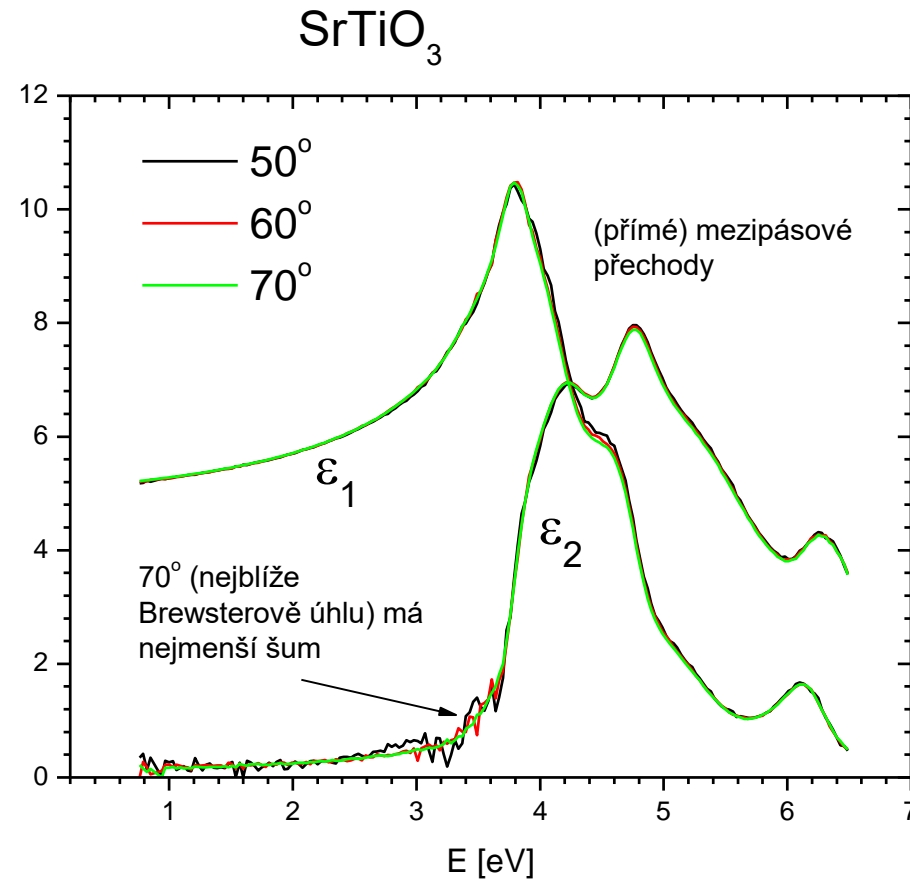
# Mezipásové přechody na $\text{SrTiO}_3$ (kubický krystal, opticky izotropní)

data z elipsometru s rotačním analyzátorem

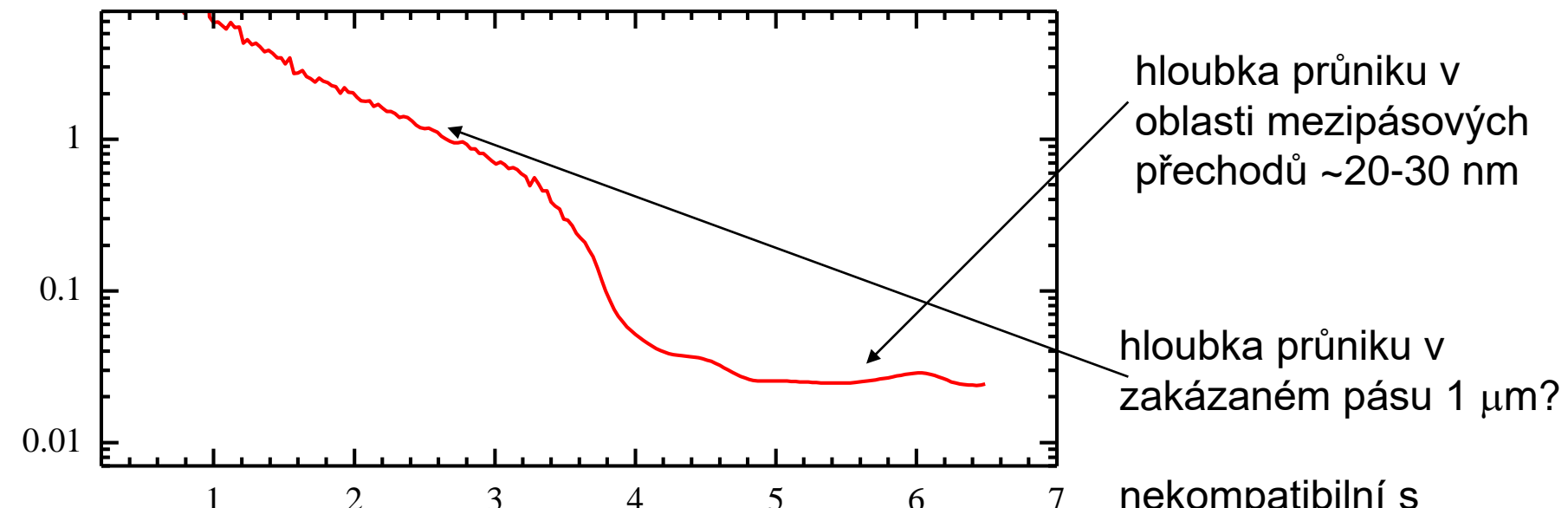
$\text{SrTiO}_3$ ,  $d=0.5\text{mm}$  drsná záda



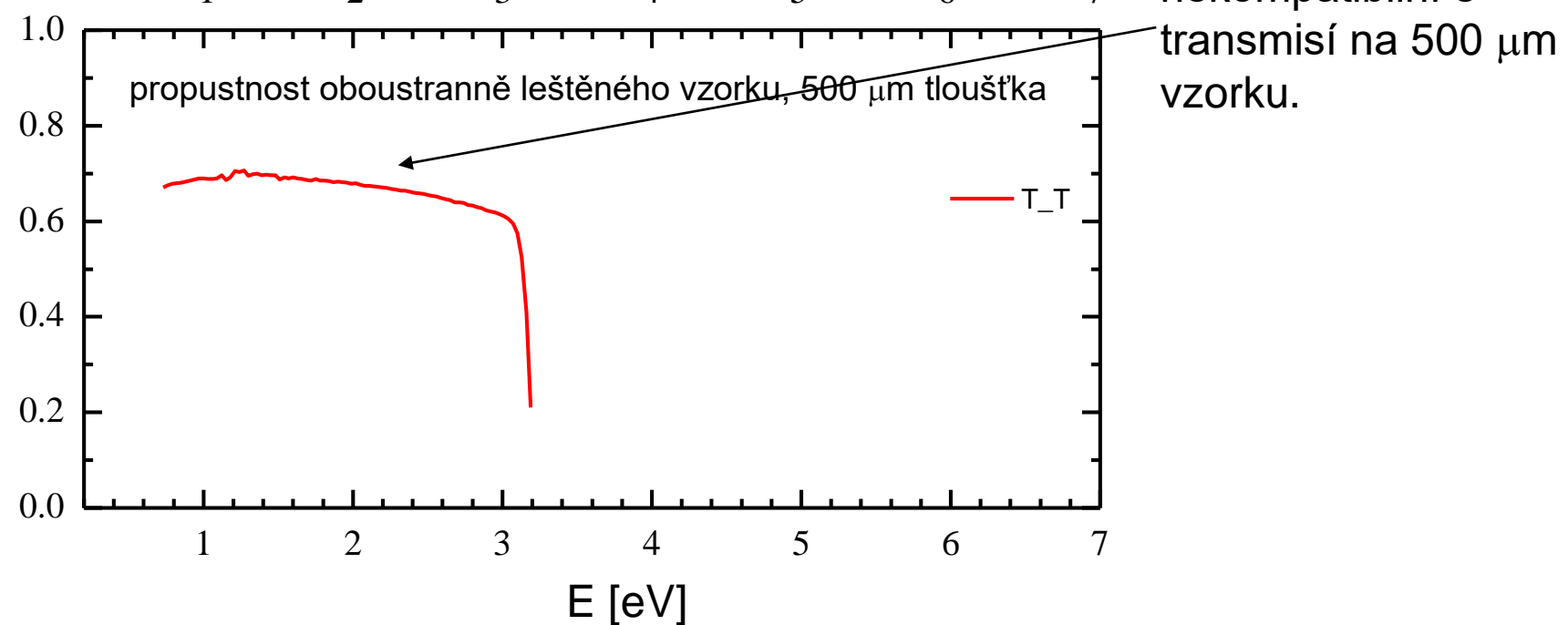
- optické konstanty obdržené inverzí  $\Psi$  a  $\Delta$  s předpokladem polonekonečného vzorku (pseudo optické konstanty)
- nezávislost na úhlu demonstруje, že různé úhly neobsahují novou informaci



hloubka průniku [ $\mu\text{m}$ ]

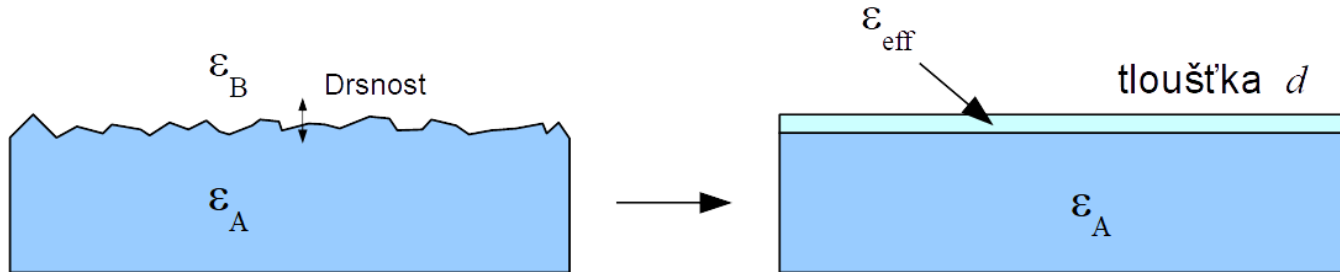


propustnost



# modelování drsnosti povrchu

- drsnost (mnohem menší než vlnová délka) je potřeba vzít v úvahu modelováním. Nejjednodušší způsob je pomocí teorie efektivního prostředí.



- teorie efektivního prostředí se pokouší vypočítat (efektivní) dielektrickou funkci prostředí složeného ze dvou komponent s dielektrickou funkcí  $\epsilon_A$  a  $\epsilon_B$ . Jelikož se jedná o approximativní výpočty, existuje několik přístupů. Nejznámější jsou Bruggemanův model a Maxwell-Garnetova formule.
- Pro modelování drsnosti se nejvíce hodí Bruggemanova formule

$$\sum_{j=1}^N f_j \frac{\epsilon_j - \epsilon_{\text{eff}}}{\epsilon_j + 2\epsilon_{\text{eff}}} = 0$$

- $N$ .. počet komponent, nejjednodušší případ  $N=2$
- $f_j$ ... objemový podíl komponenty

- Bruggemanova formule je symetrická, hodí se pro libovolný poměr  $f_A$ ,  $f_B$ , kdy nemusí být jasné co je hostitelské prostředí a co je inkluze.

# Řešení Bruggemanovy rovnice pro dva členy

$$ax^2 + bx + c = 0$$

$$a = -2$$

$$b = \varepsilon_b(2fb - fa) + \varepsilon_a(2fa -$$

$$c = \varepsilon_a \varepsilon_b$$

$$x = \frac{-b \pm \sqrt{b^2 - 4ac}}{2a}$$

Pro hodnoty:

$$\varepsilon_a = 1, \varepsilon_b = 2$$

$$f_a = 0.5, f_b = 0.5$$

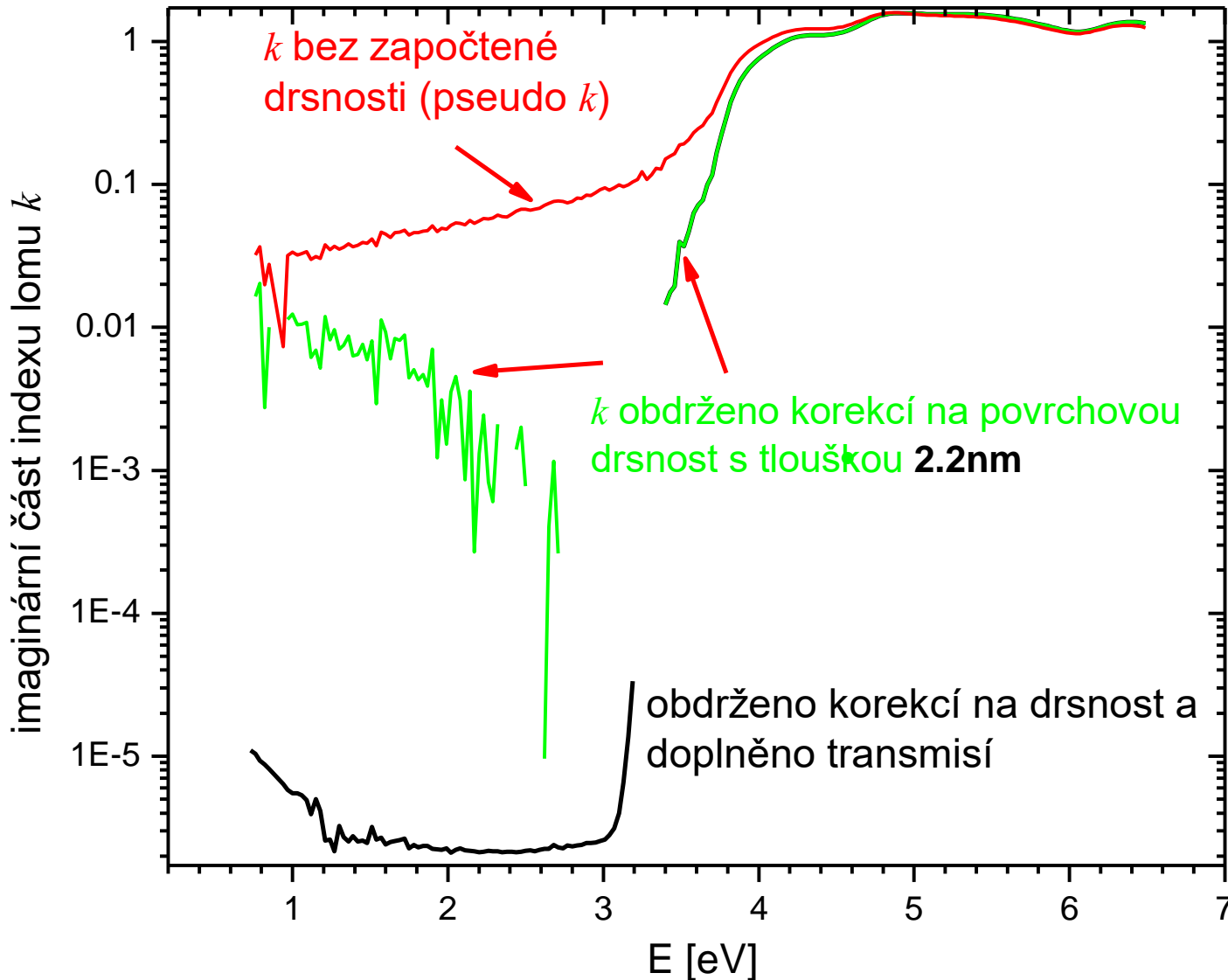
$$x_1(+) = -1,44\dots$$

$$x_2(-) = 1,44\dots \text{ fyzikální řešení}$$

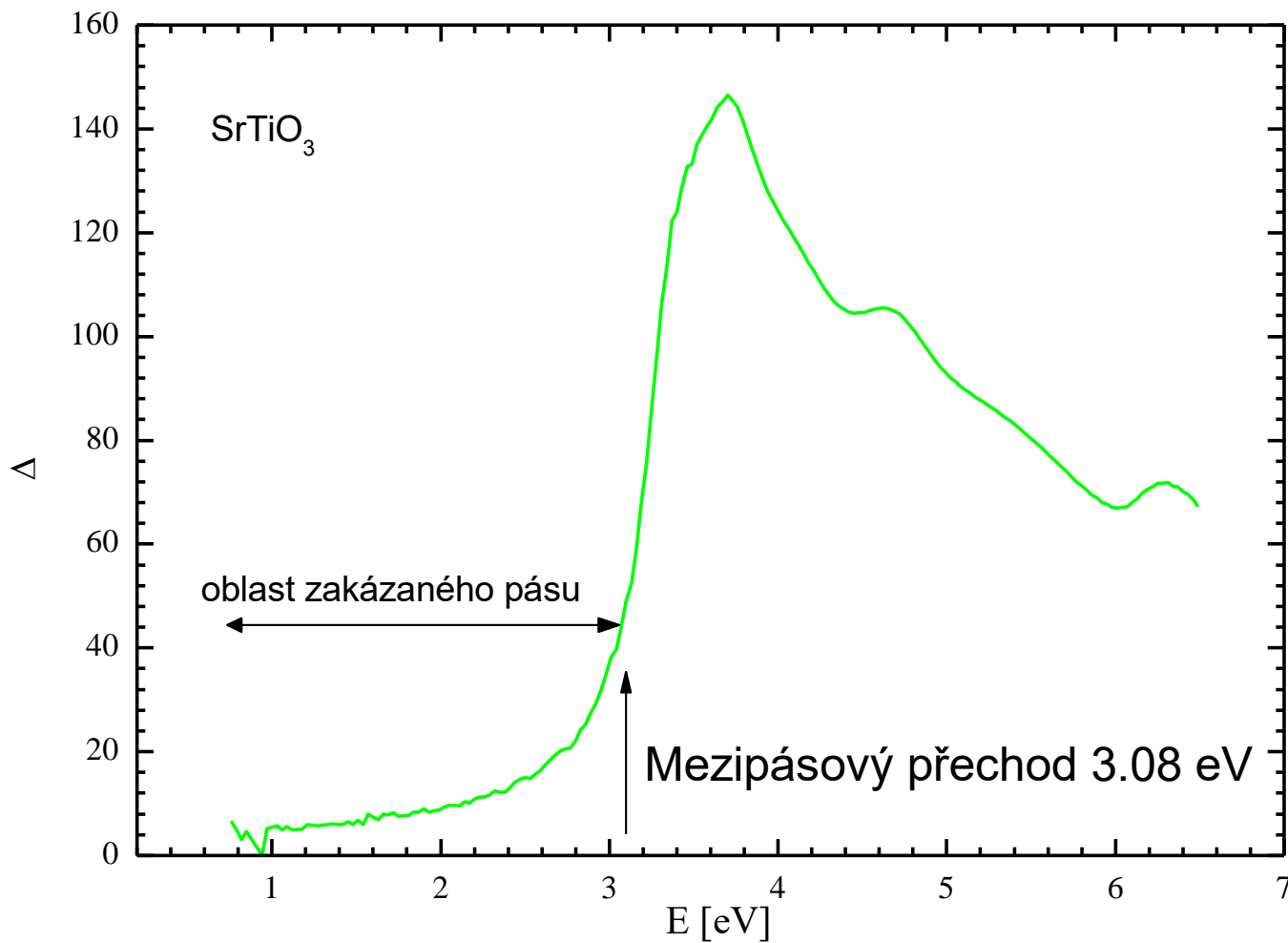
# modelování drsnosti povrchu

- V případě izolátoru:

1. Předpokládám izolující model (Cauchy, Sellmaier)
2. Předpokládám povrchovou vrstvu s Bruggemanovou formulí s nějakým poměrem (typicky 50 na 50) a s nějakou tloušťkou
3. Fituji tento model na data v izolující oblasti (typicky pod zakázaným pásem)
4. Tímto získám tloušťku povrchové drsnosti a hodnoty dielektrického modelu



- pomocí korekce na drsnost povrchu lze obdržet již reálné hodnoty  $k$  v oblasti zakázaného pásu
- tyto hodnoty lze velmi zpřesnit, pokud se navíc započte i propustnost materiálu (citlivost na malé hodnoty  $k$  oproti reflexním metodám)

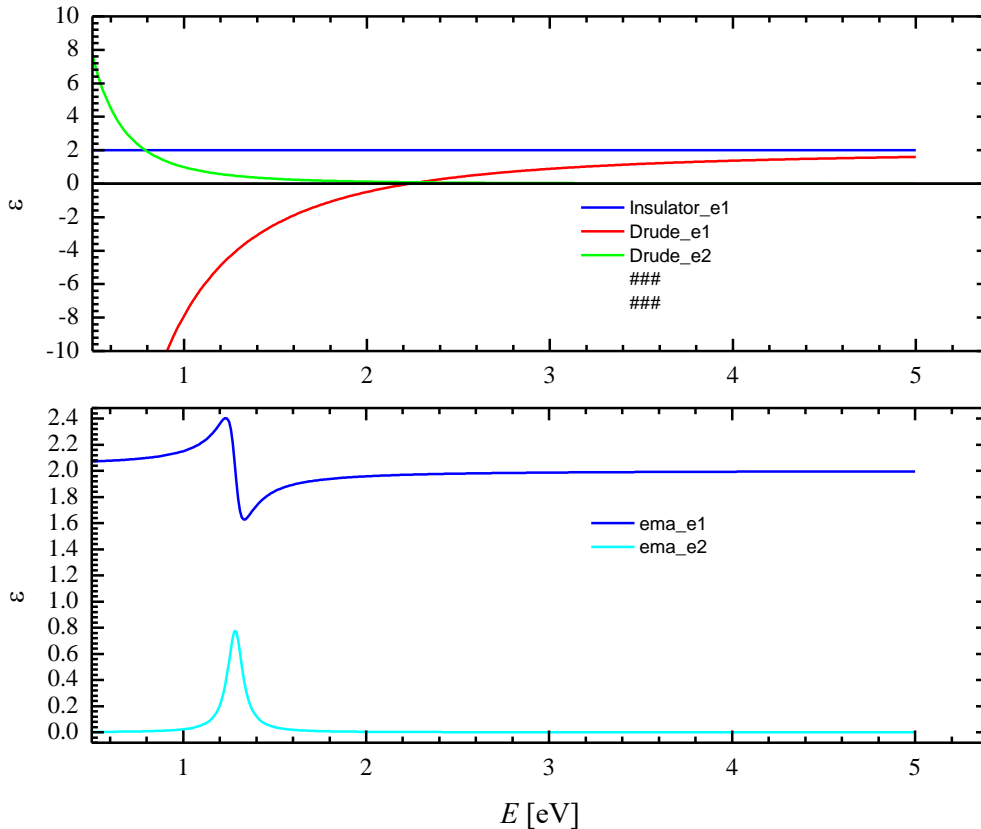


- v oblasti zakázaného pásu (pod 3 eV) by měla  $\Delta$  být nula nebo 180 st., jelikož jsou Fresnelovy koeficienty reálné
- $\Delta$  má hodnoty v této oblasti až 20 stupňů, což je způsobeno právě povrchovou drsností cca 2 nm.
- Toto dává představu o citlivosti elipsometrie. Jelikož  $\Delta$  se standardně měří s přesností na 1 stupeň až 0.1 stupně, elipsometrie je v principu citlivá na vrstvy tlusté v řádu desetin nanometru.

# Maxwell-Garnet effective medium theory

Asymetrická teorie pro efektivní medium, kdy máme hostitelské prostředí s dielektrickou funkcí  $\epsilon_d$  a dielektrickou funkcí inklusí  $\epsilon_m$ , s koncentrací  $c_m$ .

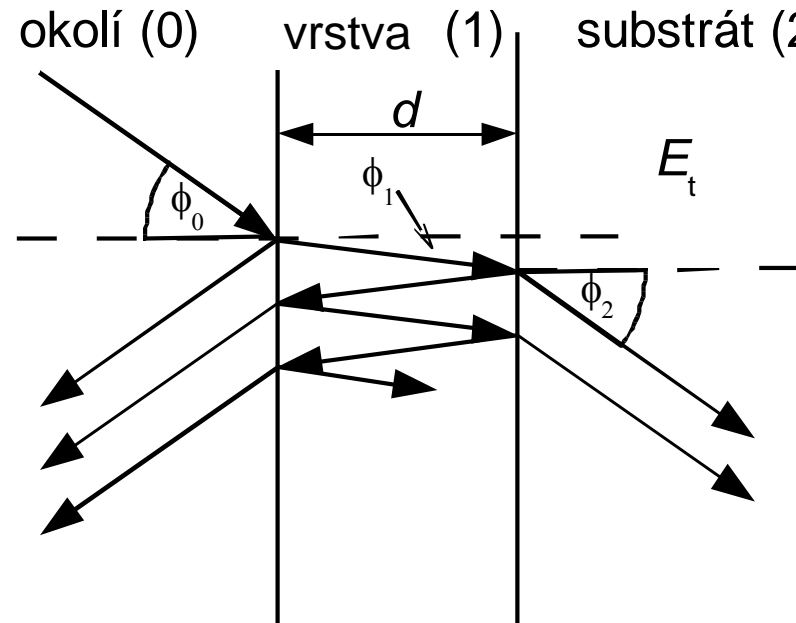
$$\epsilon_{eff} = \epsilon_d \left[ 1 + 3c_m \frac{\epsilon_m - \epsilon_d}{\epsilon_m + 2\epsilon_d - c_m(\epsilon_m - \epsilon_d)} \right],$$



Modelová situace:  
hostitel izolátor a inkluze kovu  
 $\epsilon_d=2$ ,  $\epsilon_m=2+Drude$ ,

Dává rezonanci na konečné frekvenci na energii, kde jmenovatel je malý

# reflexe a transmise na vrstvě na substrátu



- je třeba sečítat všechny reflexe uvnitř vzorku
- v případě tenké vrstvy (koherentní superpozice) sčítáme el. pole, v opačném případě intenzity záření

pro koherentní interference dostáváme:

$$r_p^{\text{tot}} = \frac{r_{01p} + r_{12p} e^{i2\beta}}{1 + r_{01p}r_{12p} e^{i2\beta}}, \quad r_s^{\text{tot}} = \frac{r_{01s} + r_{12s} e^{i2\beta}}{1 + r_{01s}r_{12s} e^{i2\beta}}$$

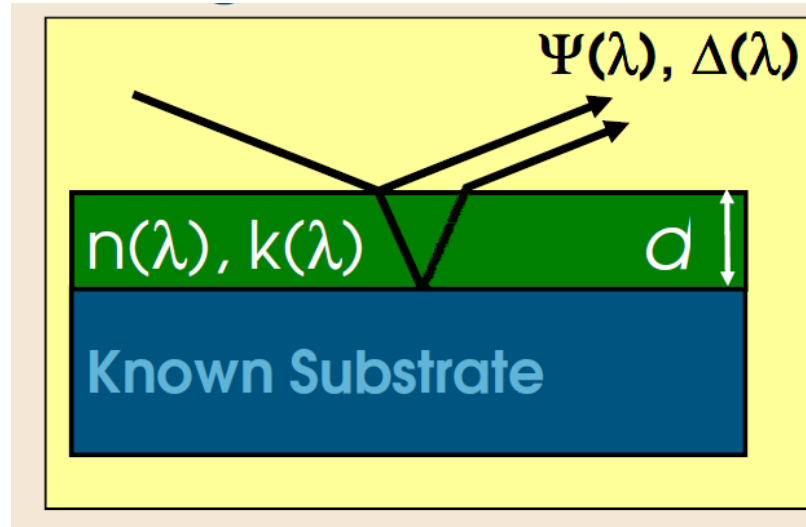
$$t_p^{\text{tot}} = \frac{t_{01p}t_{12p} e^{i2\beta}}{1 + r_{01p}r_{12p} e^{i2\beta}}, \quad t_s^{\text{tot}} = \frac{t_{01s}t_{12s} e^{i2\beta}}{1 + r_{01s}r_{12s} e^{i2\beta}}$$

$$\beta = 2\pi \frac{d_1}{\lambda} N_1 \cos \theta_1 = 2\pi \frac{d_1}{\lambda} (N_1^2 - N_0^2 \sin^2 \theta_0)^{1/2}$$

(viz např. Azzam Bashara, Ellipsometry and polarized light)

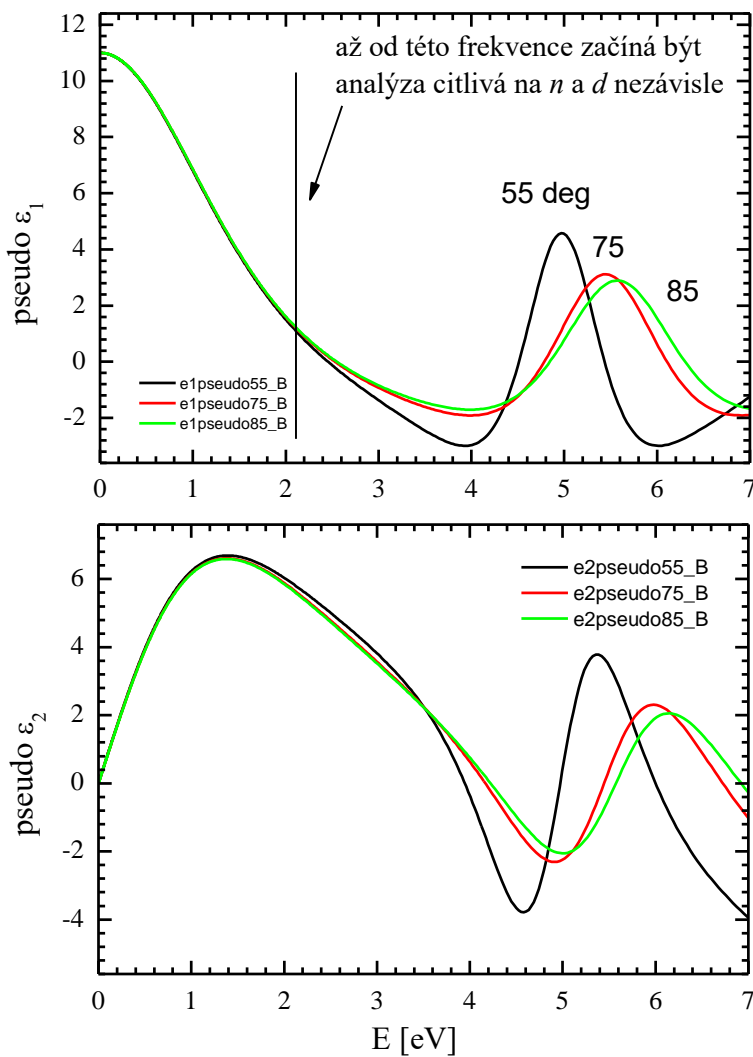
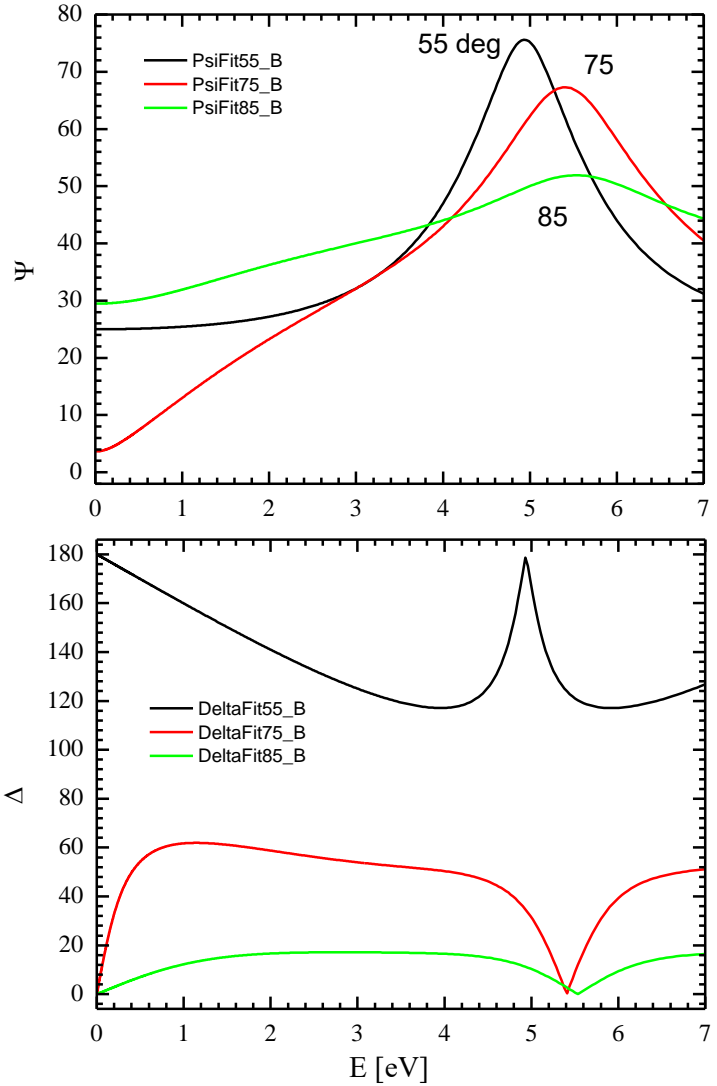
# určení $n$ , $k$ , i $d$ u tenké vrstvy

- Klasická úloha v optice tenkých (transparentních) vrstev: urči optické konstanty (reálnou a imag. část indexu lomu-  $n, k$ ) u vrstvy, jejíž tloušťku  $d$  neznáme. K určení optických konstant potřebujeme určit tloušťku. Toto je ovšem třetí parametr, který ze dvou  $\Psi$  a  $\Delta$  již neurčíme.



- Řešení: zjisti další nezávislou informaci nebo zmenši neznámé parametry
- Zmenšení neznámých parametrů: v případě transparentní oblasti je  $k \sim 0$ , potom určíme  $d$ , které použijeme na analýzu netransparentní oblasti. Materiál však nemusí mít transparentní oblast: co pak?

# simulace odezvy vrstvy 50nm n=1.5 na substrátu n=3.42



- Převedení na pseudo dielektrickou funkci ukazuje „množství“ nezávislé informace v různých úhlech dopadu. Pseudodielektrická funkce je dielektrická funkce vypočtená za předpokladu izotropního polonekonečného vzorku
- Úhlová závislost pseudodielektrické funkce může být způsobena také anizotropií

# **metody zvýšení přesnosti určení tloušťky vrstvy (a tedy i její dielektrické funkce)**

- určení tloušťky typicky nad 50 nm
- modelování dielektrické funkce vrstvy Kramers-Kronigovsky konzistentní funkcí: tloušťku již neurčujeme z každé frekvence nezávisle ale globálně pomocí modelové funkce
  - Toto řádově zvyšuje přesnost určení tloušťky jak v transparentní tak semi-transparentní oblasti
- naměření další nezávislé informace:
  - Víceúhlová elipsometrie
  - odrazivost, propustnost
- V obecnosti je z elipsometrie tloušťka dobře určitelná nad 50 nm. Pod touto hodnotou chyba tloušťky rychle roste. V obecnosti se vždy musíme koukat na chybu tloušťky určenou z fitu.
- Nejčastější postup při určování tloušťky a dielektrické funkce:
  1. Prvně modeluji dielektrickou funkci KK konzistentním modelem
  2. Zafixuji tloušťky vrstev a povrchové drsnosti
  3. Je možno se pokusit udělat fit bod po bodu, který vystihne jemné detailly dat

# Inverzní (regresní) problém:

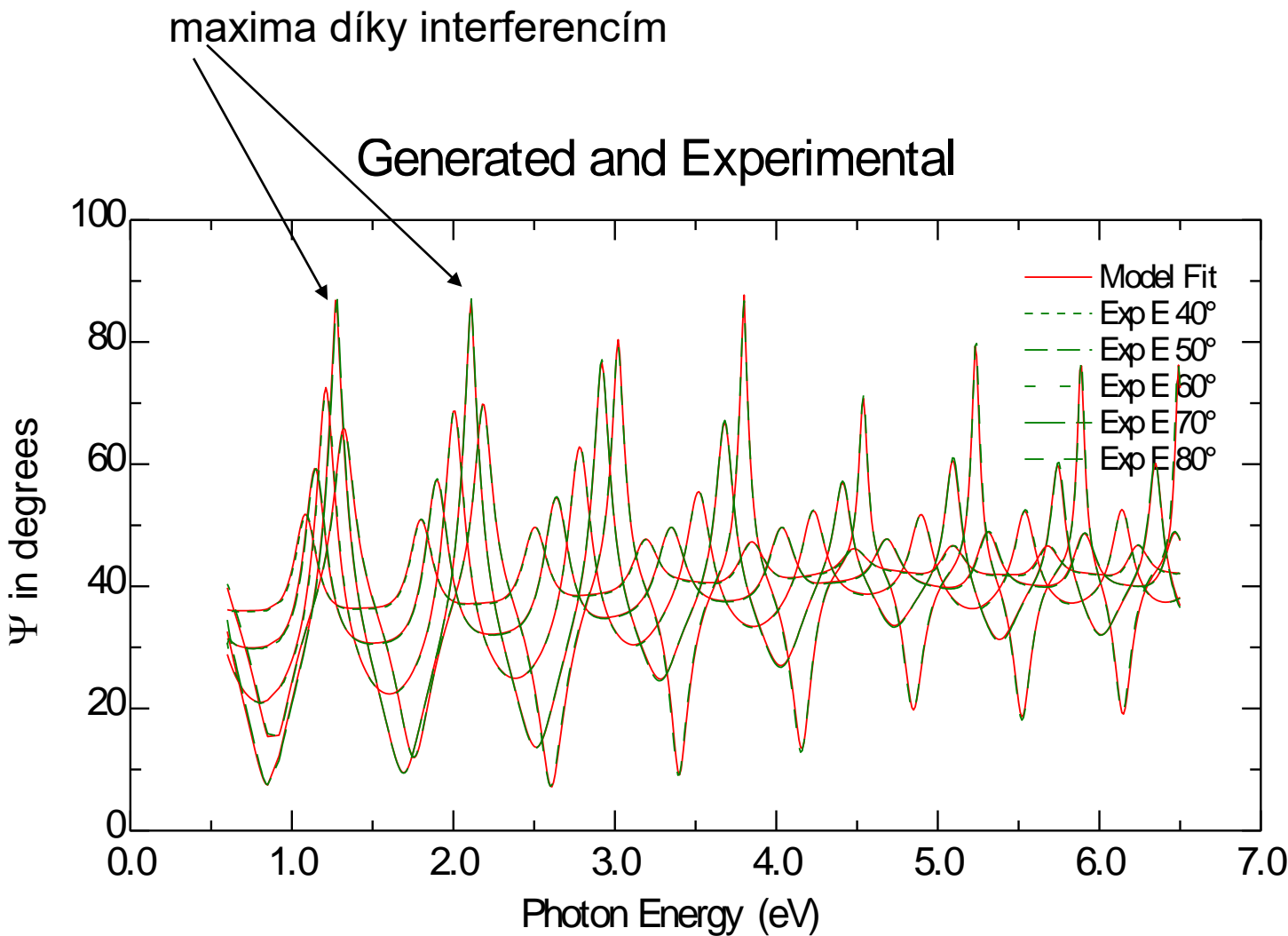
- měříme výsledek (odezvu), ne přímo vlastnosti materiálu
- vlastnosti materiálu (optické konstanty, anizotropie, tloušťky, nehomogenity...) jsou často spjaty s odezvou nelineárními a transcendentními rovnicemi, které nelze analyticky invertovat
- řešení je nutno hledat numericky, minimalizací rozdílu předpovědi modelu a měřených dat, typicky se jedná o sumu kvadrátů odchylek:

$$M = \sum_{\lambda, \theta} \left[ \frac{(\Psi_{\text{exp}}(\lambda) - \Psi_{\text{teor}}(\lambda))^2}{\delta \Psi_{\text{exp}}(\lambda)^2} + \frac{(\Delta_{\text{exp}}(\lambda) - \Delta_{\text{teor}}(\lambda))^2}{\delta \Delta_{\text{exp}}(\lambda)^2} \right. \\ \left. \dots + t_{\text{corr}}(T_{\text{exp}}(\lambda) - T_{\text{teor}}(\lambda))^2 + r_{\text{corr}}(R_{\text{exp}}(\lambda) - R_{\text{teor}}(\lambda))^2 \right]$$

vážení pomocí chyb, které elipsometrické měření přímo naměří!

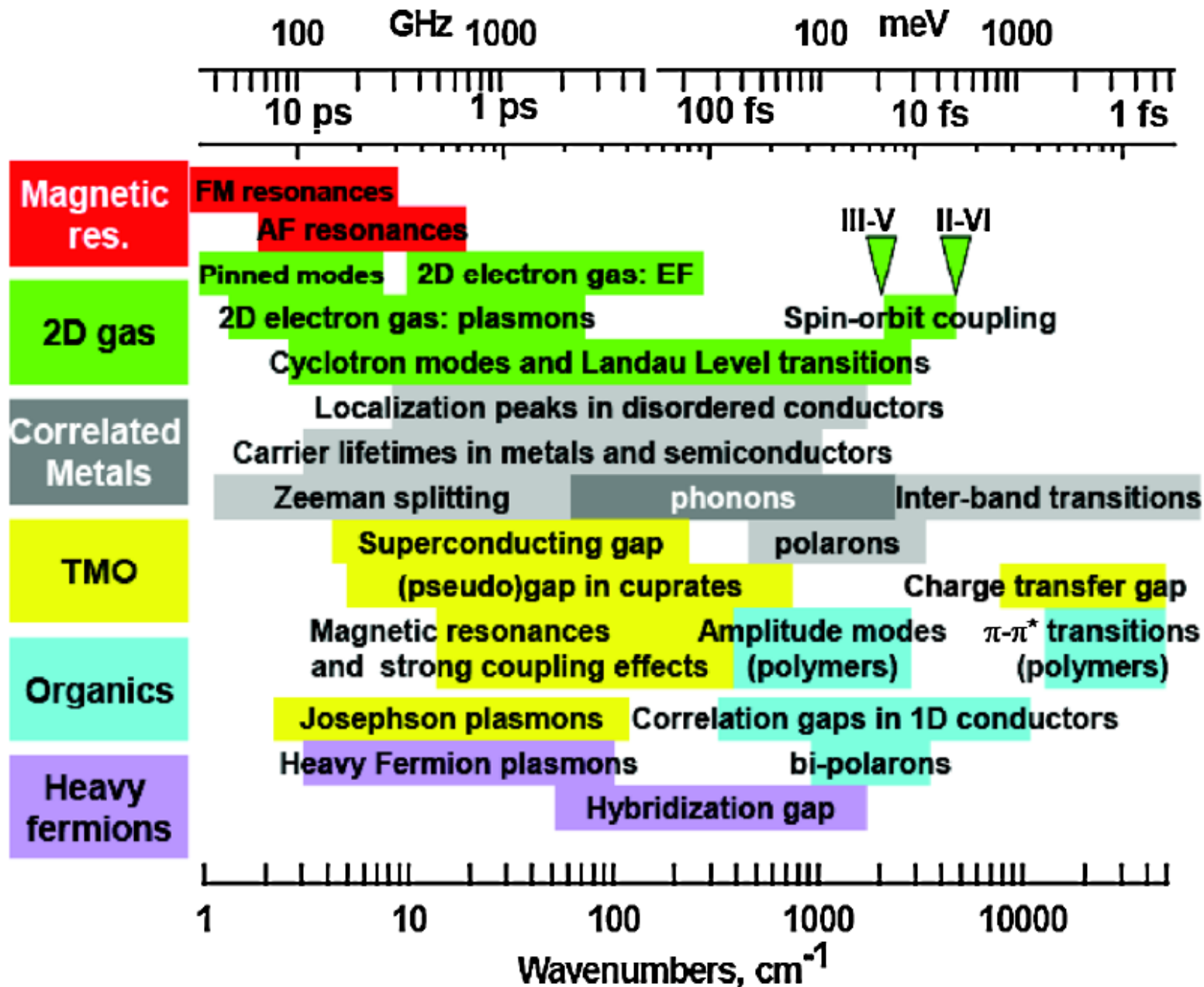
do fitování se dá přidat propustnost, odrazivost...

# NIR-UV příklad 1: $\text{SiO}_2$ vrstva na Si



- fitováno modelem izolující vrstvy (Cauchy model) na Si substrátu  $d=659 \pm 0.8\text{nm}$
- relativně tlustá vrstva, spektrum obsahuje několik interferenčních maxim, velmi dobře definovaný fit, malá chyba tloušťky

# Excitate mezi THz a UV oborem



# Optická vodivost

určení optické vodivosti       $\sigma(\omega) = -i\omega\epsilon_0(\epsilon(\omega) - 1)$

reálná část vodivosti - absorpcie  
elmag. vlny na jednotku frekvence:       $\sigma_1(\omega) \quad (= \omega\epsilon_0\epsilon_2(\omega))$

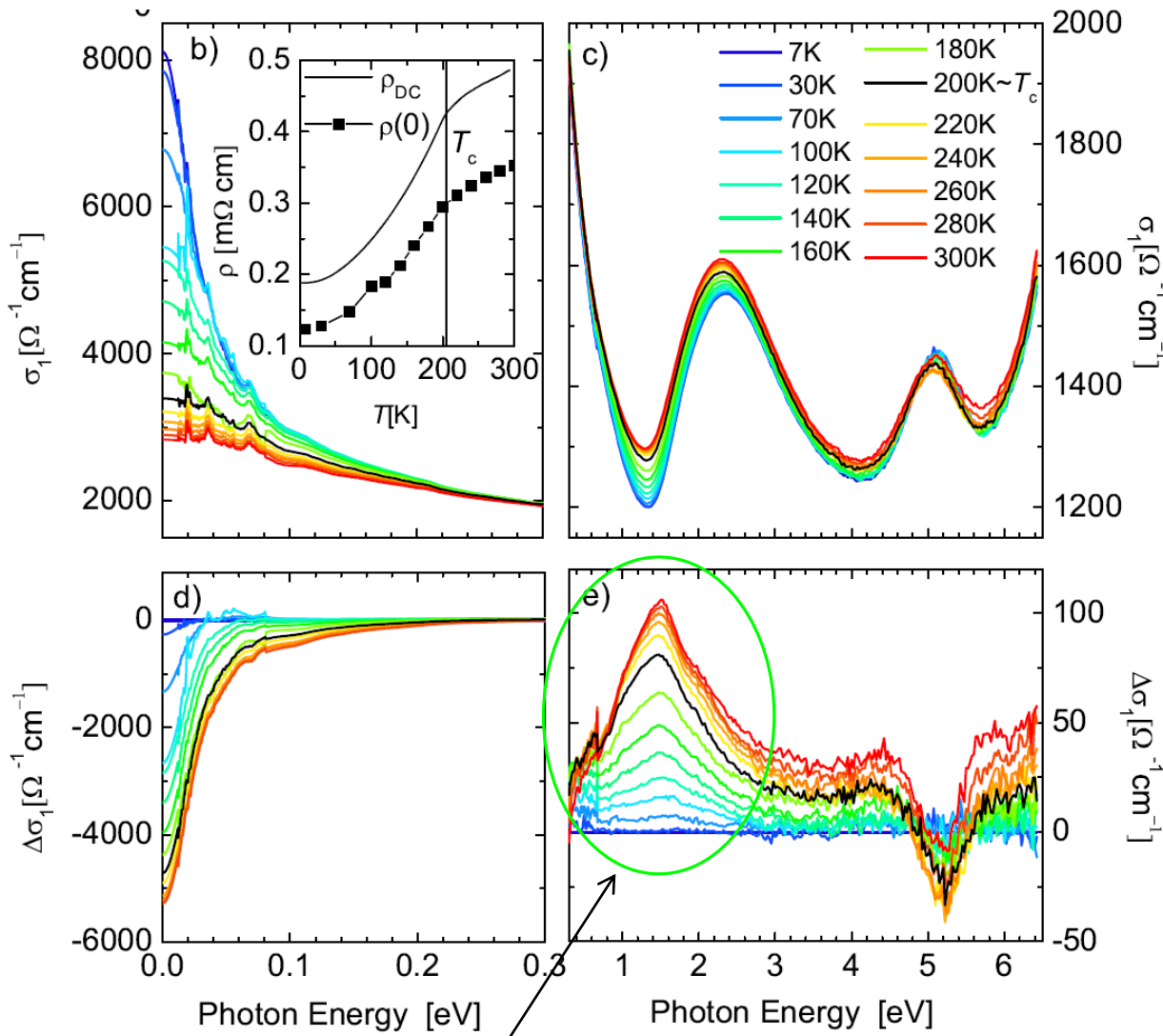
sumační pravidlo:       $\int_0^\infty \sigma_1(\omega) d\omega = \frac{\pi}{2} \frac{nq^2}{\epsilon_0 m} = \text{const.}$

Optická vodivost je velmi vhodná kvantita jak obecně, tak zvláště pro vodiče, kde v limitě pro nulové frekvence odpovídá DC měrné vodivosti.

# Optical signatures of ferromagnetic state

$\text{La}_{0.7}\text{Sr}_{0.3}\text{CoO}_3$ ,  
 $T_c \sim 205 \text{ K}$

Absolute optical conductivity



Optical conductivity  
relative to 7 K

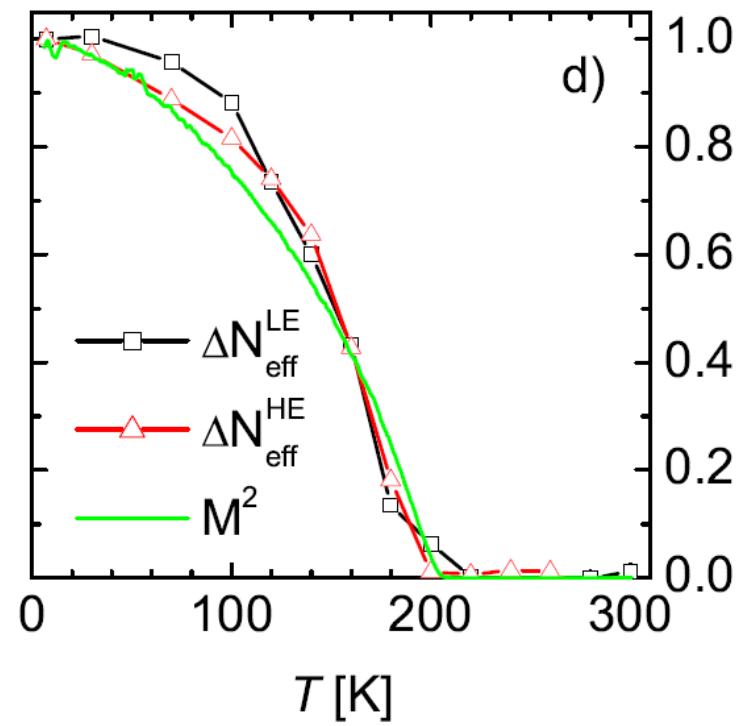
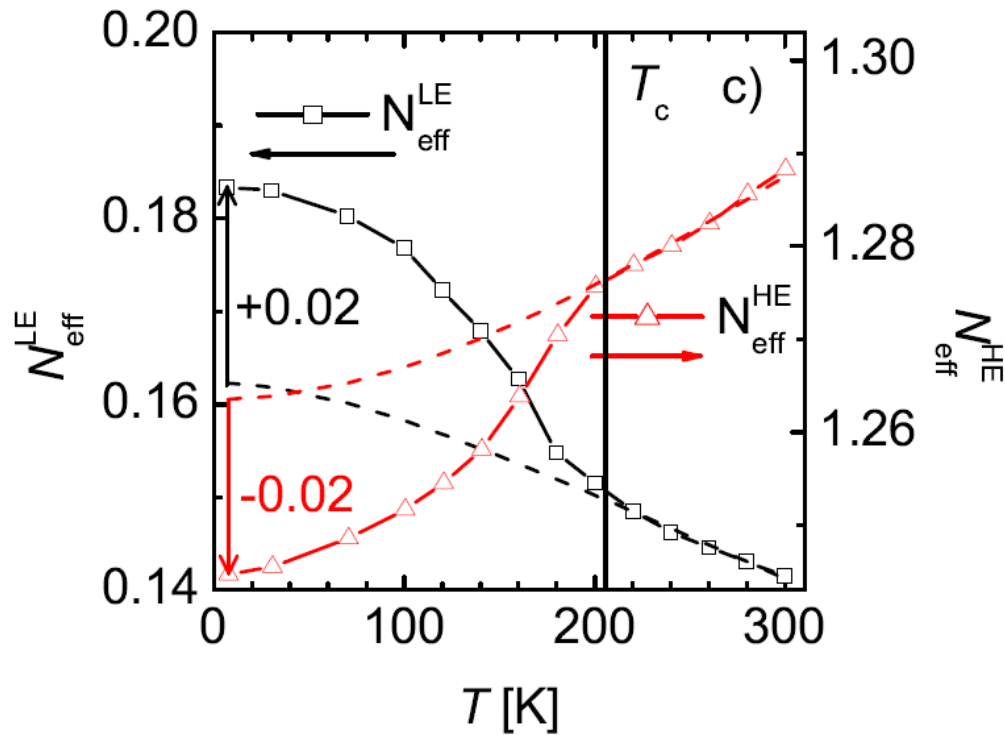
A candidate for „wrong-spin-transition“ at  $\sim 1.5 \text{ eV}$

P. Fris et al., Phys. Rev. B 97, 045137 (2018)

# Optical signatures of ferromagnetic state

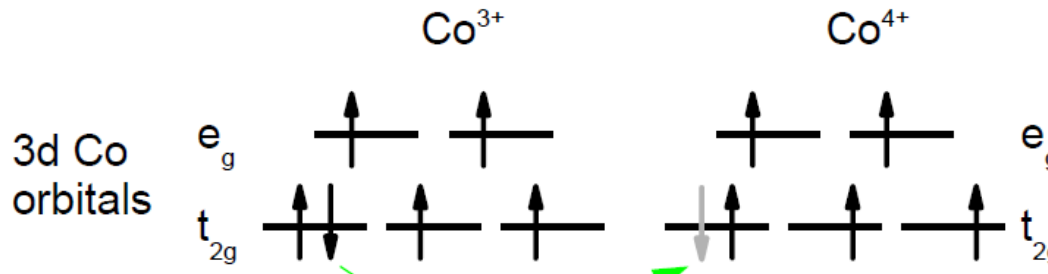
$\text{La}_{0.7}\text{Sr}_{0.3}\text{CoO}_3$ ,  $T_c \sim 205$  K

- The spectral weights (integral of  $\sigma_1$ ) of the Drude and the band track the magnetization of the sample
- They are intimately linked to the ferromagnetic mechanism – double exchange



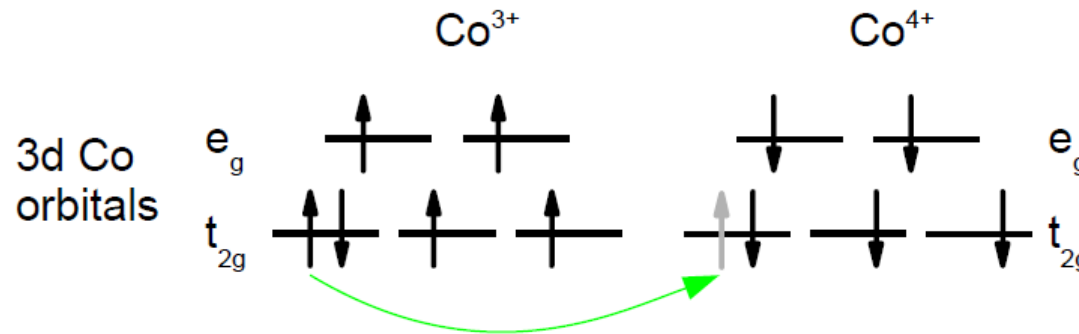
# Optical signatures of ferromagnetic transition

**ferromagnetic state**



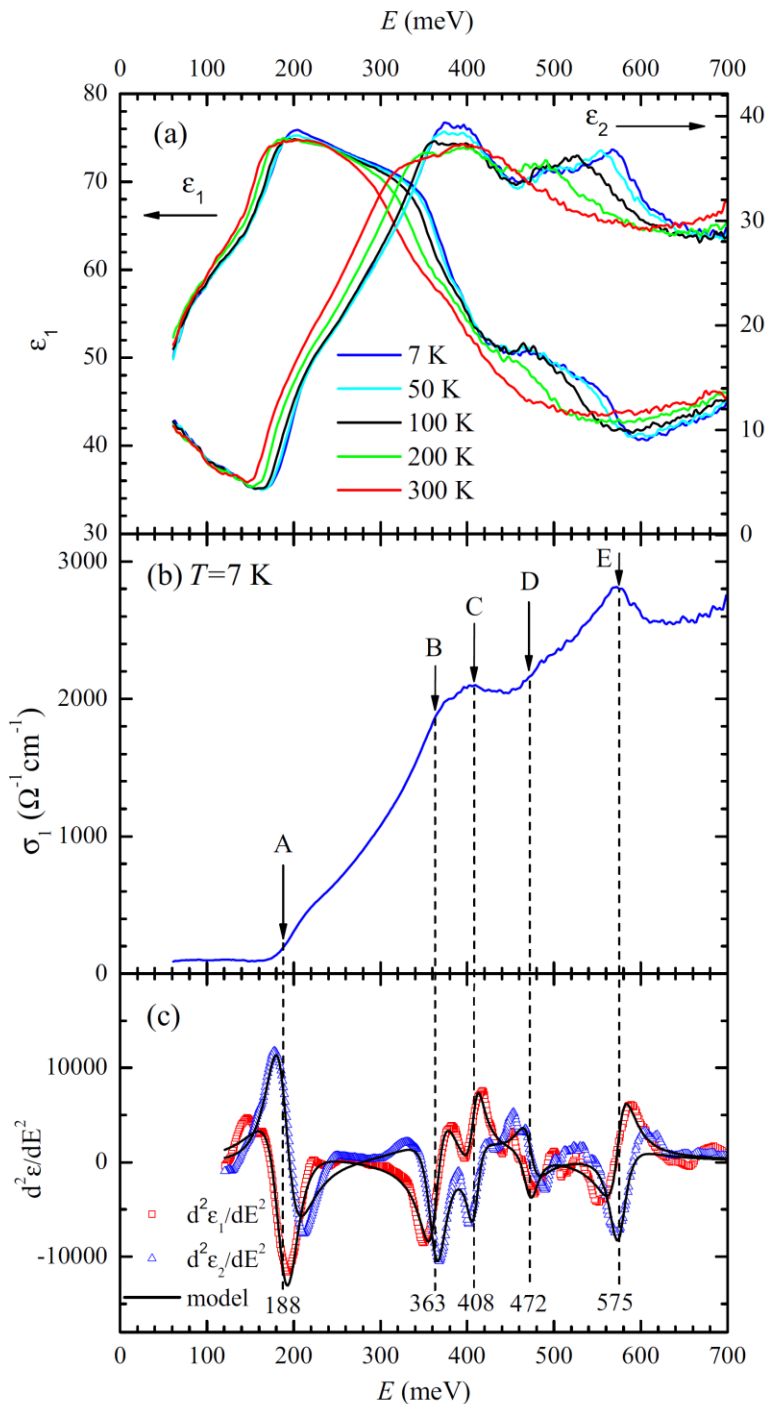
- Double exchange mechanism of ferromagnetism
- Delocalization of electron is the driving force for the ferromagnetic spin alignment
- Leads to a conducting response

**paramagnetic state**



- Transition between Co ions with anti-parallel spins („wrong-spin-transition“)
- This transition has final state at higher energy than the initial (number of misaligned spins increased, violating Hund's rules)

# Mezipásové přechody v $\text{Bi}_2\text{Te}_3$

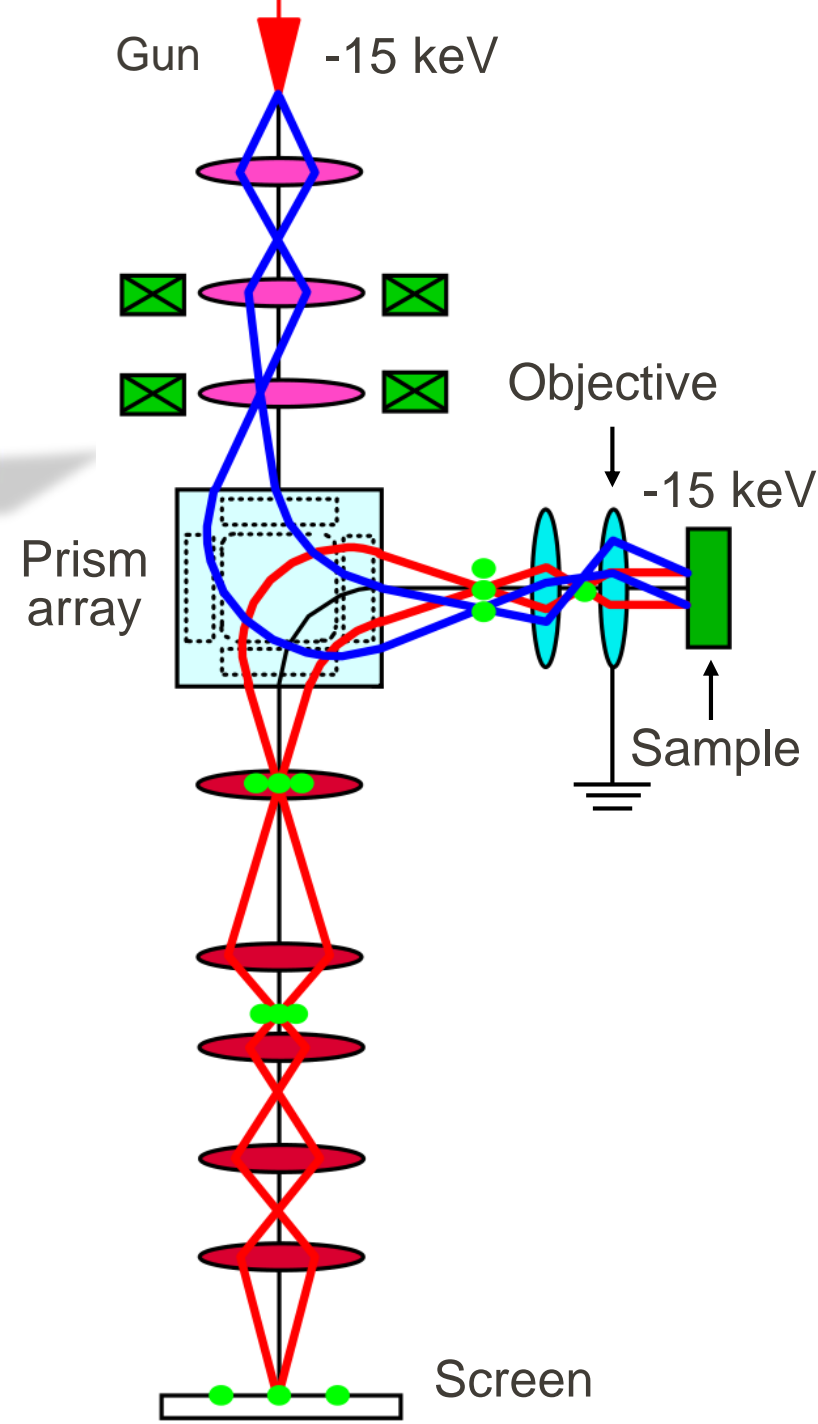
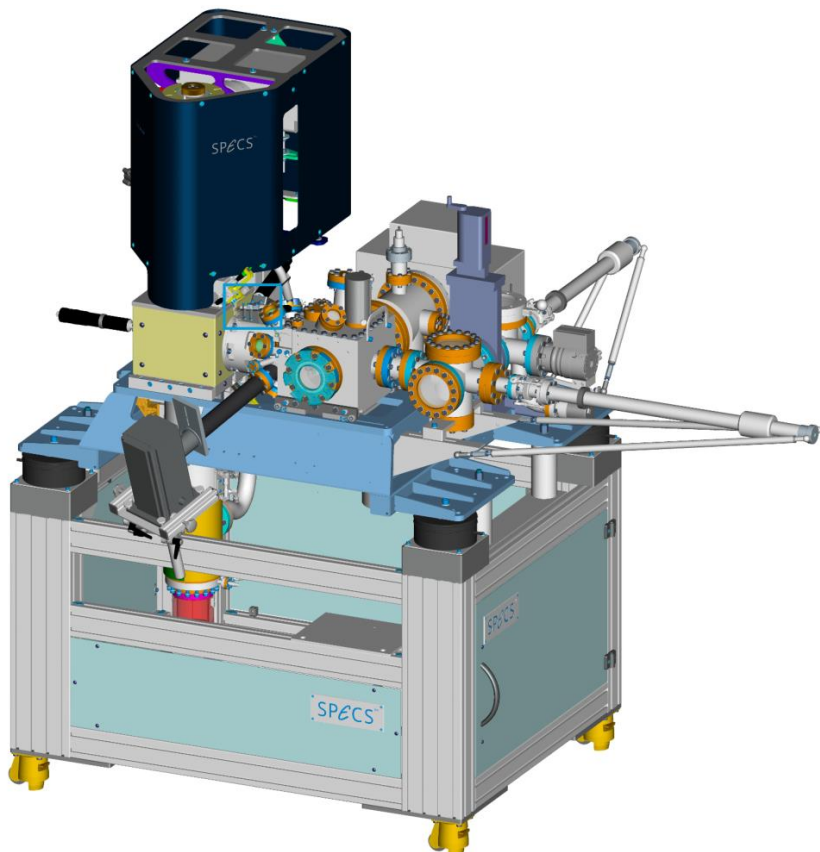


- Dielektrická funkce topologického izolátoru  $\text{Bi}_2\text{Te}_3$
- na nízkých teplotách jsou mezipásové přechody odlišitelnější díky menšímu rozptylu
- Přepočet na optickou vodivost
- Identifikace kritických bodů a fit druhé derivace dielektrické funkce modelem kritických bodů

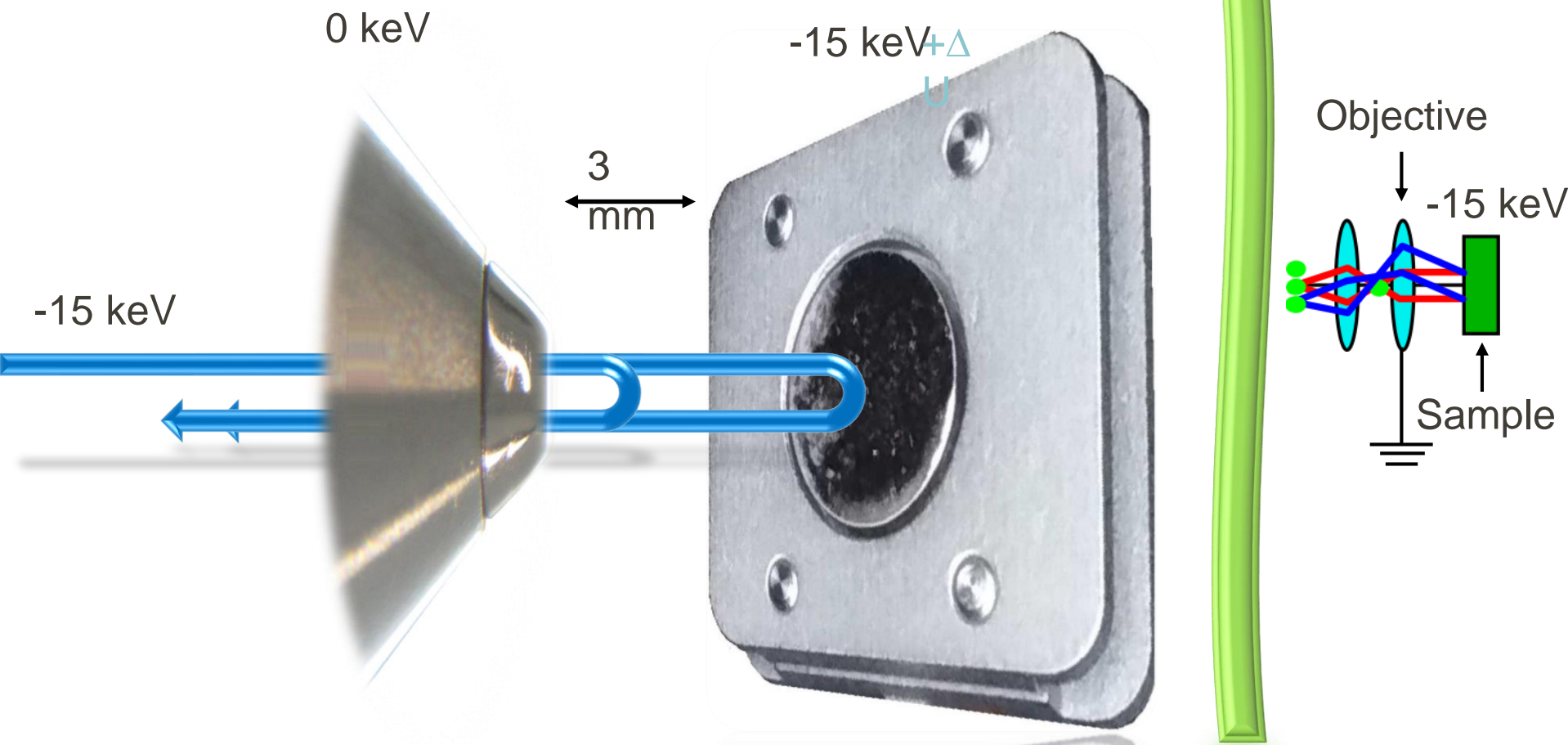
$$\frac{d^2\epsilon}{dE^2} = Ae^{i\phi}(E - E_{\text{CP}} + i\zeta)^{n-2}$$

# **dodatky**

# Low Energy Electron Microscope FE-LEEM P90



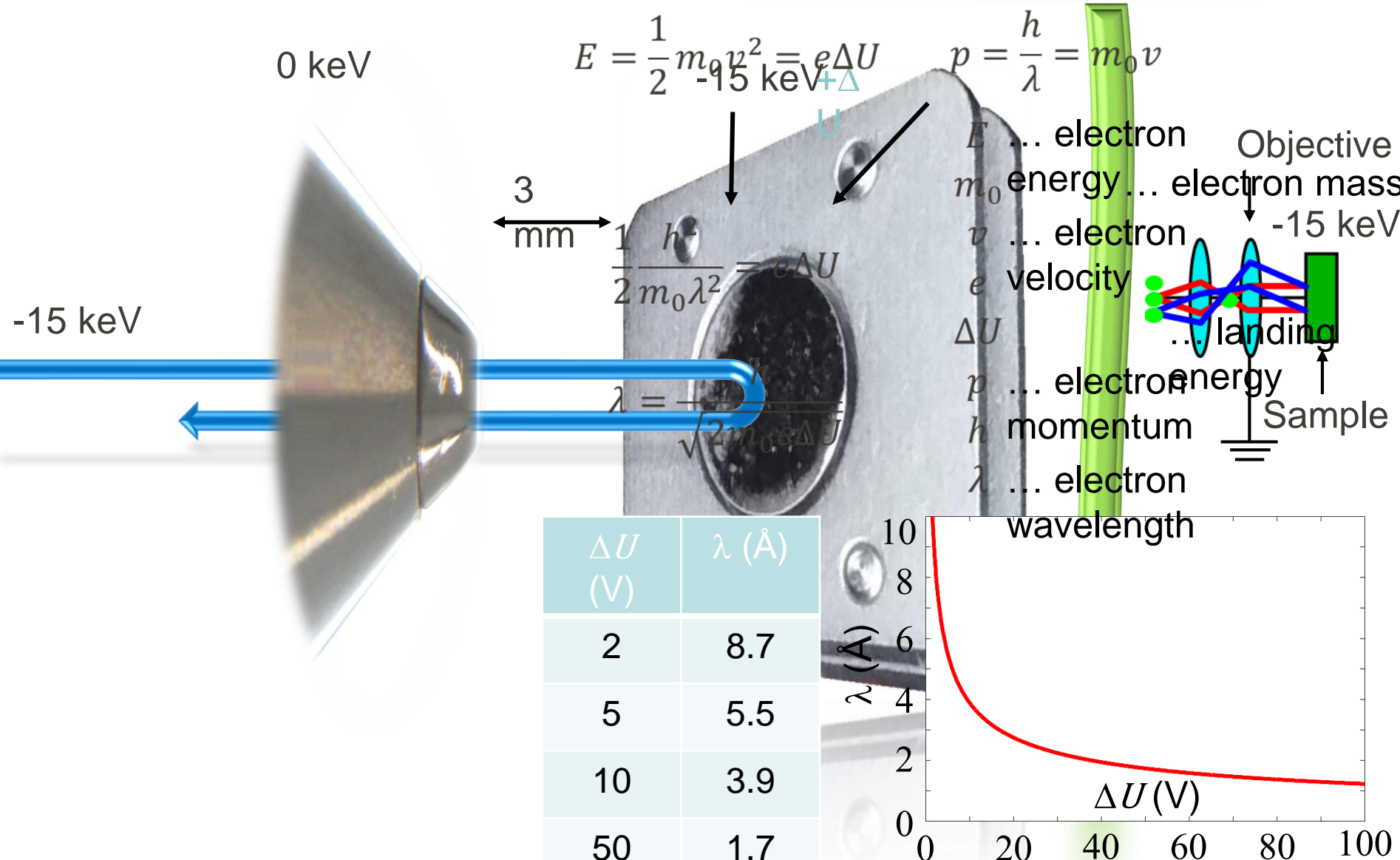
# LEEM measurement



Mirror Electron Microscopy (MEM)

mode  
Low Energy Electron Microscopy (LEEM)  
Landing energy

# LEEM measurement



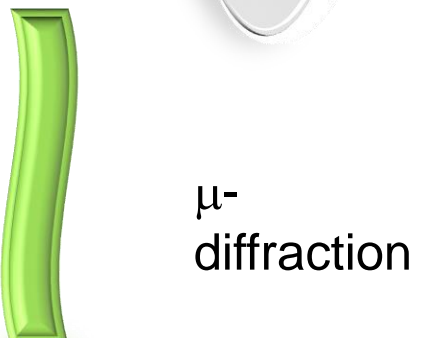
# LEEM measurement

Landing energy ( $\Delta V$ ) in range 0-100 eV

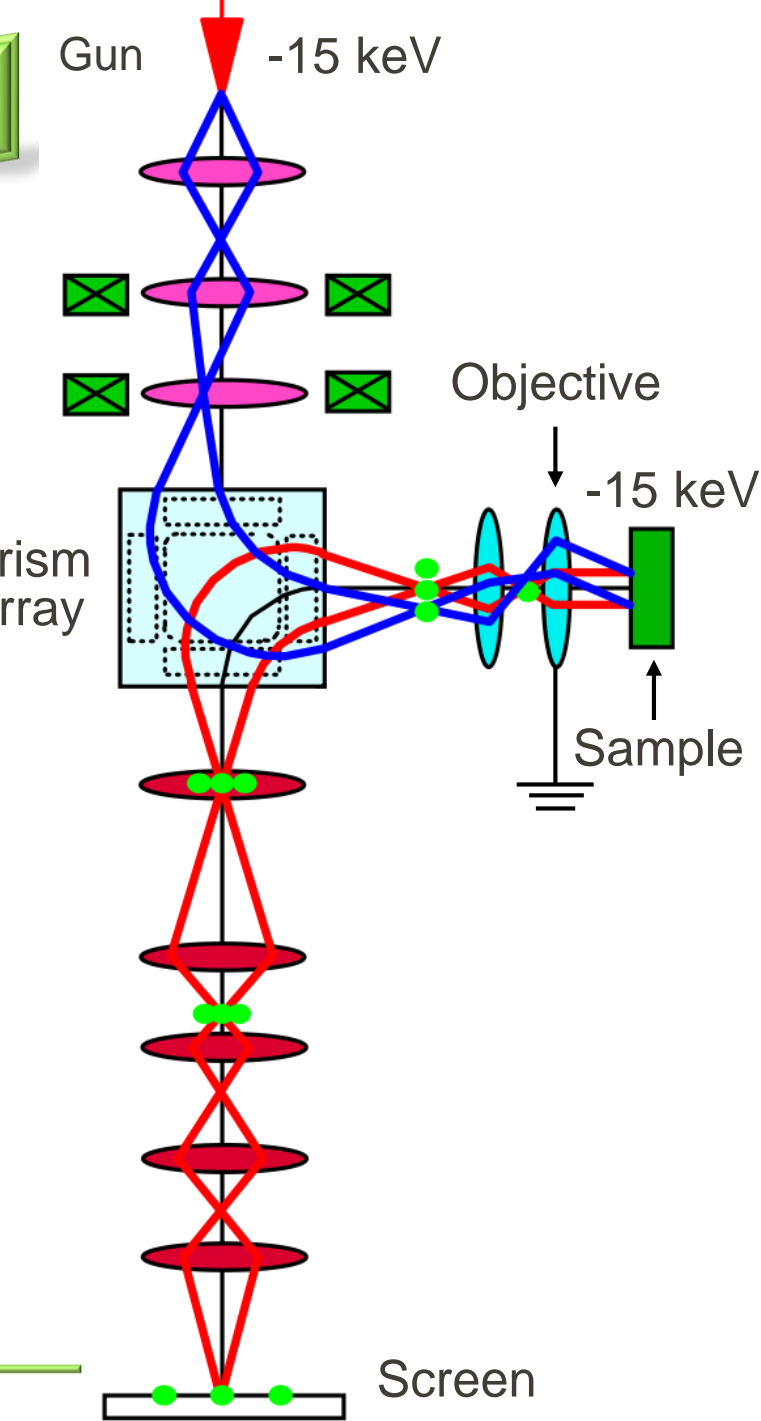
Real space Surface projection



E-beam spot:  $10 \times 15 \mu\text{m}$



Dark field imaging



Landing energy ( $\Delta V$ )